



CORRIDOIO PLURIMODALE TIRRENI-CORDOLO TIRRENO-NORD EUROPA ITINERARIO AGRIGENTO – CALTANISSETTA-A19

S.S. N° 640 "DI PORTO EMPEDOCLE"

AMMODERNAMENTO E ADEGUAMENTO ALLA CAT. B DEL D.M. 5.11.2001
Dal km 44+000 allo svincolo con l'A19

PROGETTO DEFINITIVO

GRUPPO DI PROGETTAZIONE

ATI:

TECHNITAL s.p.a. (mandataria)

S.I.S. Studio di Ingegneria Stradale s.r.l.

DELTA Ingegneria s.r.l.

INFRATEC s.r.l Consulting Engineering

PROGIN s.p.a.

I RESPONSABILI DI PROGETTO

Dott. Ing. M. Raccosta

Ordine Ing. Verona n° A1665

Prof. Ing. A. Bevilacqua

Ordine Ing. Palermo n° 4058

Dott. Ing. M. Carlino

Ordine Ing. Agrigento n° A628

Dott. Ing. N. Troccoli

Ordine Ing. Potenza n° 836

Dott. Ing. S. Esposito

Ordine Ing. Roma n° 20837

IL GEOLOGO

INTEGRAZIONE PRESTAZIONI SPECIALISTICHE

Dott. Ing. M. Raccosta

VISTO: IL RESPONSABILE
DEL PROCEDIMENTO

Dott. Ing. Massimiliano Fidenzi

VISTO: IL RESPONSABILE DEL
SERVIZIO PROGETTAZIONE

Dott. Ing. Antonio Valente

DATA

PROTOCOLLO

OPERE D'ARTE MAGGIORI – VIADOTTI OPERE SULL'ASSE PRINCIPALE VIADOTTO SANTUZZA II RELAZIONE PRELIMINARE DI CALCOLO

CODICE PROGETTO		NOME FILE P01V110STRRE01B.dwg	REVISIONE	FOGLIO	SCALA:
L0407B	D 0501	CODICE ELAB. P01V110STRRE01	B	01 DI 01	
D					
C					
B	REVISIONE A SEGUITO ISTRUTTORIA ANAS DEL 19/03/2007	Aprile 2007			
A	EMISSIONE	Ottobre 2006	P. Polani	F. Arciuli	C. Marro
REV.	DESCRIZIONE	DATA	VERIFICATO RESP. TECNICO	CONTROLLATO RESP. D'ITINERARIO	APPROVATO RESP. DI SETTORE

INDICE

RELAZIONE TECNICA	3
1 Generalità	3
2 Criteri di calcolo	4
2.1 Impalcato	4
2.1.1 Statica longitudinale	4
2.1.2 Statica trasversale	5
3 Riferimenti normativi	6
RELAZIONE SUI MATERIALI	7
1 Conglomerati cementizi.....	7
2 Acciaio ad aderenza migliorata	9
3 Acciaio da carpenteria	9
4 Controventi	9
5 Bulloni ad alta resistenza.....	10
6 Pioli con testa tipo “Nelson”	10
7 Saldature	10
CALCOLI STATICI: PARTE I – IMPALCATO -	11
1 Generalità	11
2 Analisi dei carichi.....	11
3 Analisi strutturale	17
3.1 Criteri generali.....	17
3.2 Sollecitazioni di progetto.....	18
4 Verifiche dell’impalcato	23
4.1 Verifica di resistenza travi principali	23
4.2 Verifica di stabilità dei pannelli d’anima delle travi principali.....	30
4.3 Soletta	35
4.3.1 Verifica di resistenza della soletta	35
4.3.2 Verifica a fessurazione della soletta	40
PARTE II: - APPOGGI, GIUNTI E RITEGNI SISMICI -	46
1 Dimensionamento degli appoggi	46
2 Ritegni sismici	48
3 Giunti di dilatazione	48

APPENDICE A: Sollecitazioni di calcolo dell'impalcato

APPENDICE B: Modelli di calcolo dell'impalcato

RELAZIONE TECNICA

1 Generalità

Nel presente elaborato sono riportati i calcoli statici del Viadotto SANTUZZA II, che sarà realizzato nell'ambito dei lavori per l'ammodernamento e l'adeguamento alla categoria B del D.M. 5.11.2001 della S.S. 640 "di Porto Empedocle" nel tratto dal km 44+000 allo svincolo con l'autostrada A19.

Il viadotto presenta due carreggiate separate. La sezione di ogni impalcato è costituita da due travi a doppio T, collegate da traversi ad anima piena posti circa a metà altezza delle travi.

Le caratteristiche geometriche della sezione corrente sono riportate in Figura 1.1 .

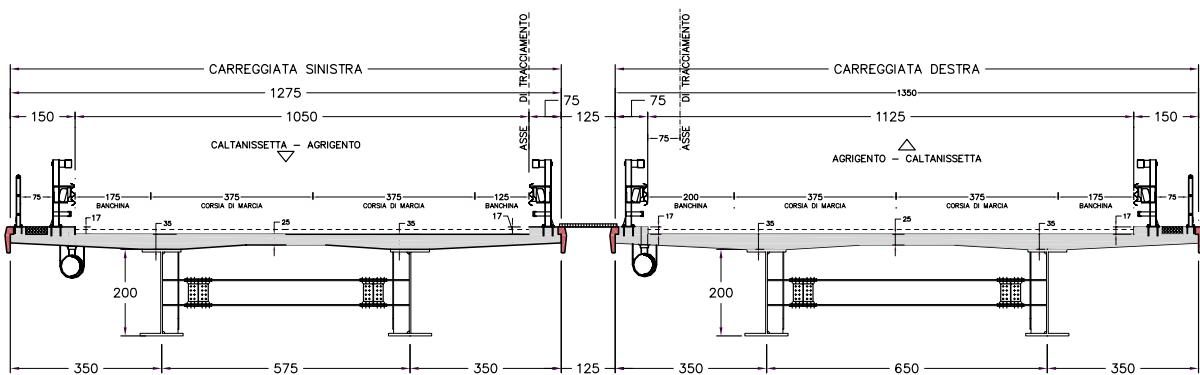


Figura 1.1 - Sezione trasversale impalcati

Gli impalcati destro e sinistro hanno larghezza complessiva rispettivamente di 13,50 e 12,75 m così suddivisa:

IMPALCATO DESTRO:

- due corsie di marcia da 3,75 m e due banchine da 1,75 m e 2,00 m che costituiscono la sede stradale;
- un cordolo da 1,5 m per l'alloggiamento della barriera di sicurezza, del parapetto e del marciapiede di servizio di 0,75 m;
- un cordolo da 0,75 m per l'alloggiamento della barriera di sicurezza.

IMPALCATO SINISTRO:

- due corsie di marcia da 3,75 m e due banchine da 1,25 m e 1,75 m che costituiscono la sede stradale;
- un cordolo da 1,5 m per l'alloggiamento della barriera di sicurezza, del parapetto e del marciapiede di servizio di 0,75 m;
- un cordolo da 0,75 m per l'alloggiamento della barriera di sicurezza.

Le travi metalliche poste ad interasse di 6,50 m nelle carreggiata destra e a 5,75 m nella carreggiata sinistra, sono collegate da traversi ad anima piena collocati con interasse di circa 6,00 m. Gli sbalzi laterali hanno lunghezza di 3,50 m.

La soletta, con spessore variabile da 25 cm in mezzeria all'impalcato a 35 cm in corrispondenza delle piattabande delle travi a 20 cm all'estremità degli sbalzi, è connessa alle travi mediante pioli Nelson.

Di seguito si elencano le altre caratteristiche salienti del viadotto:

- altezza delle travi principali costante pari a 2,00 m;
- sviluppo complessivo della carreggiata destra di 430 m (9 campate con luci di 40+7×50+40 m) e della carreggiata sinistra pari a 375,57 (8 campate con luci di 39,30 + + 49,34 + 49,46 + 3 × 49,40 + 49,50 + 39,77) m;
- altezza massima da terra delle piattaforme stradali circa 20 m;
- ritegni sismici costituiti da 2 dispositivi elastici a doppio effetto da 300 t ubicati sulla spalla SA, per ogni impalcato.

2 Criteri di calcolo

2.1 Impalcato

2.1.1 Statica longitudinale

Lo schema statico adottato è quello di un ponte bitrave continuo a più campate ad asse rettilineo con luci pari agli interassi delle pile misurate in asse impalcato.

L'analisi strutturale è condotta su una singola trave composta, sottoposta al peso proprio, ai sovraccarichi permanenti, alle distorsioni e all'aliquota dei carichi mobili che discende dalla ripartizione trasversale dei carichi.

La trave continua composta è discretizzata in conci di sezione costante, tenendo conto quindi delle variazioni geometriche, della fessurazione della soletta e delle azioni concentrate.

Nell'analisi strutturale si tiene conto delle fasi transitorie e di esercizio e si opera con i seguenti modelli:

Modello 1: ottenuto considerando le proprietà inerziali delle sole travi metalliche ed utilizzato per la valutazione degli effetti indotti dal peso proprio dell'acciaio e della soletta.

Modello 2: ottenuto considerando le proprietà inerziali ideali della sezione composta con soletta collaborante omogeneizzata all'acciaio mediante coefficiente 6. Il modello è utilizzato per la valutazione degli effetti indotti dalle azioni di breve durata.

Modello 3: ottenuto considerando le proprietà inerziali ideali della sezione mista con soletta collaborante omogeneizzata all'acciaio mediante coefficiente 20. Il modello è utilizzato per la valutazione degli effetti indotti dalle azioni di lunga durata e dal ritiro.

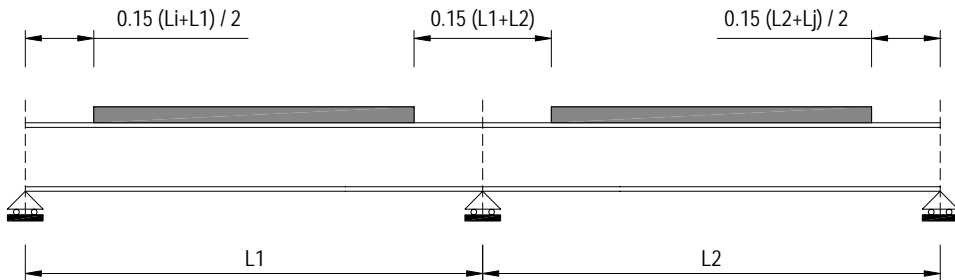


Figura 2.1 - Modellazione degli effetti dovuti alla fessurazione

Nei modelli 2 e 3 si tiene conto della riduzione di rigidezza della sezione composta in prossimità degli appoggi interni per la fessurazione della soletta, trascurando il contributo inerziale del calcestruzzo su un tratto di lunghezza pari al 15 % delle luci delle due campate adiacenti e mettendo comunque in conto il contributo inerziale delle armature presenti entro la larghezza collaborante (Figura 2.1).

Per le verifiche di sicurezza, si considerano le seguenti quattro sezioni tipo:

Sezione Tipo 1: proprietà inerziali della sola membratura metallica soggetta alle sollecitazioni dovute al peso proprio dell'acciaio e della soletta di calcestruzzo.

Sezione Tipo 2: proprietà inerziali ideali della sezione mista con calcestruzzo omogeneizzato all'acciaio con coefficiente di omogeneizzazione $n = 6$. La sezione è utilizzata per le sollecitazioni prodotte dalle azioni di breve durata nelle regioni a momento flettente positivo.

Sezione Tipo 3: proprietà inerziali ideali della sezione mista con calcestruzzo omogeneizzato all'acciaio con coefficiente di omogeneizzazione $n = 20$. La sezione è utilizzata per le sollecitazioni prodotte dai sovraccarichi permanenti e dal ritiro nelle regioni a momento flettente positivo.

Sezione Tipo 4: proprietà inerziali della sezione costituita dalla membratura metallica e dalle barre di armatura con esclusione del calcestruzzo. La sezione è utilizzata nelle regioni a momento flettente negativo.

2.1.2 Statica trasversale

Il calcolo della soletta è stato effettuato su un tratto di sezione di lunghezza unitaria. Le sollecitazioni dei carichi permanenti sono riferite al metro. Per i carichi da traffico è stata

considerata una diffusione a 45° del carico fino all'appoggio. Il coefficiente di amplificazione dinamica per i carichi da traffico è pari ad 1,4.

Il dimensionamento dei traversi di campata è stato effettuato su schemi semplificati che consentono la valutazione della rigidezza necessaria a garantire la stabilità delle piattabande compresse delle travi principali, sia nelle fasi transitorie che in quelle di esercizio.

3 Riferimenti normativi

Le analisi delle azioni e le verifiche di sicurezza sono state condotte facendo riferimento alle seguenti normative:

- D.M. 16/01/96 “Criteri generali per la verifica di sicurezza delle costruzioni e dei carichi e sovraccarichi”;
- D.M. 16/01/96 “Norme tecniche per l'esecuzione delle opere in cemento armato normale e precompresso e per le strutture metalliche”;
- D.M. 16/01/96 “Norme tecniche per le costruzioni in zone sismiche”;
- D.M. 04/05/90 “Criteri generali e prescrizioni tecniche per la progettazione, esecuzione e collaudo dei ponti stradali”;
- CNR 10011/97 “Costruzioni di Acciaio – Istruzioni per il calcolo, l'esecuzione, il collaudo e la manutenzione”;
- CNR 10016/85 “Strutture composte di acciaio e calcestruzzo istruzioni per l'impiego nelle costruzioni”;
- CNR 10018/85 “Apparecchi di appoggio in gomma e PTFE nelle costruzioni. Istruzioni per il calcolo e l'impiego”.

RELAZIONE SUI MATERIALI

1 Conglomerati cementizi

I conglomerati cementizi da porre in opera saranno composti da:

- aggregato (UNI 8520 - parti 2,11,12,14,15,20,22);
- acqua (UNI 8981/7);
- cemento (UNI/ENV 197/1);
- additivi superfluidificanti (UNI 8145 - ASTM C494/G) e ritardanti, se occorrenti per garantire le prestazioni del calcestruzzo in base al tempo di trasporto;

ed avranno le seguenti caratteristiche:

- calcestruzzo per soletta e marciapiedi: $R_{ck} \geq 40 \text{ MPa}$

Nella tabella seguente sono riportate, per ogni singola classe di esposizione ambientale (UNI EN 206-1 2001), le prescrizioni per il calcestruzzo che ne garantiscano la durabilità.

Elemento strutturale	Classe di esposizione (UNI EN 206-1)	Descrizione condizioni ambientali	Situazioni possibili per l'applicazione della classe
Calcestruzzo per opere non armate (magri)	-		-
Calcestruzzo per pali	XC2	Ambiente bagnato, raramente asciutto	Elementi strutturali le cui superfici siano a contatto con acqua per lungo tempo
Calcestruzzo per zattere di pile e spalle	XC2 - XF3	Ambiente bagnato, raramente asciutto - Elevata saturazione d'acqua, senza agente antigelo	Elementi strutturali le cui superfici siano a contatto con acqua per lungo tempo - Superficie di calcestruzzo esposte alla pioggia ed al gelo
Calcestruzzo per elevazione spalle	XC2 - XF3	Ambiente bagnato, raramente asciutto - Elevata saturazione d'acqua, senza agente antigelo	Elementi strutturali le cui superfici siano a contatto con acqua per lungo tempo - Superficie di calcestruzzo esposte alla pioggia ed al gelo
Calcestruzzo per elevazione pile	XC4 - XF1	Ambiente ciclicamente bagnato ed asciutto - Moderata saturazione d'acqua, senza uso di agente antigelo	Elementi strutturali le cui superfici siano a contatto con acqua - Superficie di calcestruzzo esposte alla pioggia ed al gelo
Calcestruzzo per soletta, cordoli e marciapiedi	XC4 - XD3 - XF4	Ambiente ciclicamente bagnato ed asciutto - Elevata saturazione d'acqua, con limitato uso di agente antigelo	Elementi strutturali le cui superfici siano a contatto con acqua - Parti di ponti esposte agli agenti antigelo e soggette a spruzzi contenenti cloruri
Calcestruzzo per baggioli	XC4 - XF1	Ambiente ciclicamente bagnato ed asciutto - Moderata saturazione d'acqua, senza uso di agente antigelo	Elementi strutturali le cui superfici siano a contatto con acqua per lungo tempo - Superficie di calcestruzzo esposte alla pioggia ed al gelo

Prescrizioni per il calcestruzzo in relazione alla durabilità ed alla resistenza necessaria per le verifiche strutturali					
Elemento strutturale	Rapport o massimo A/C	Dosaggio minimo di cemento	Classe di resistenz a Rck (N/mmq)	Copriferr o min	Informazioni aggiuntive
		(kg/m ³)		(mm)	
Calcestruzzo per opere non armate (magri)	-	-	15	-	
Calcestruzzo per pali	0,60	280	30	60	E' da prevedersi l'uso di additivi fluidificanti e/o superfluidificanti
Calcestruzzo per zattere di pile e spalle	0,50	320	30	40	E' da prevedersi l'uso di additivi superfluidificanti e/o aeranti - E' necessario un controllo della percentuale minima di aria in funzione del diametro massimo dell'aggregato - Utilizzo di aggregati resistenti al gelo
Calcestruzzo per elevazione spalle	0,50	320	35	35	E' da prevedersi l'uso di additivi superfluidificanti e/o aeranti - E' necessario un controllo della percentuale minima di aria in funzione del diametro massimo dell'aggregato - Utilizzo di aggregati resistenti al gelo
Calcestruzzo per elevazione pile	0,50	300	35	35	E' da prevedersi l'uso di additivi superfluidificanti e/o aeranti - E' necessario un controllo della percentuale minima di aria in funzione del diametro massimo dell'aggregato - Utilizzo di aggregati resistenti al gelo
Calcestruzzo per soletta, cordoli e marciapiedi	0,45	340	40	30	E' da prevedersi l'uso di additivi superfluidificanti e/o aeranti - E' necessario un controllo della percentuale minima di aria in funzione del diametro massimo dell'aggregato - Utilizzo di aggregati resistenti al gelo
Calcestruzzo per baggioli	0,50	300	45	30	E' da prevedersi l'uso di additivi superfluidificanti e/o aeranti - E' necessario un controllo della percentuale minima di aria in funzione del diametro massimo dell'aggregato - Utilizzo di aggregati resistenti al gelo

2 Acciaio ad aderenza migliorata

Le armature da porre in opera non dovranno presentare tracce di ossidazione, corrosione e di qualsiasi altra sostanza che possa ridurne l'aderenza al conglomerato; dovranno inoltre presentare sezione integra e priva di qualsiasi difetto.

Si utilizzeranno barre ad aderenza migliorata tipo FeB44 k controllato in stabilimento, aventi le seguenti caratteristiche:

- tensione caratteristica di snervamento $f_{yk} \geq 430 \text{ MPa}$
- tensione caratteristica di rottura $f_{tk} \geq 540 \text{ MPa}$
- modulo elastico $E_s = 206.000 \text{ MPa}$

3 Acciaio da carpenteria

La carpenteria metallica sarà realizzata in acciaio tipo Fe 510 (grado C), conforme alle prescrizioni del D.M. 9.1.1996 e delle Istruzioni CNR 10011, avente le seguenti caratteristiche:

- tensione di rottura a trazione $f_t \geq 510 \text{ MPa}$
- tensione di snervamento $f_y \geq 355 \text{ MPa}$
- resilienza $KV \geq 27 \text{ J a } -20^\circ\text{C}$
- allungamento (lamiere) $\varepsilon_t \geq 21\%$

Nei tratti a direttrice curva la carpenteria metallica dovrà presentare curvatura continua. E' esclusa la realizzazione per tratti rettilinei consecutivi (spezzata) approssimanti la curva.

Tutte le giunzioni per l'assemblaggio dei conci delle travi portanti, sia quelle da eseguire in officina che quelle in cantiere, saranno di tipo saldato a completa penetrazione.

I traversi intermedi, di pila e di spalla saranno collegati alle travi principali attraverso giunzioni bullonate.

La carpenteria metallica sarà protetta con tre mani di vernice, due applicate in officina e la terza in opera, a conferire il colore finale.

4 Controventi

Le aste del controvento orizzontale ed i relativi elementi di collegamento, saranno realizzati in acciaio tipo Fe 510, conforme alle prescrizioni del D.M. 09.01.1996 e alle Istruzioni CNR 10011, avente le seguenti caratteristiche:

- tensione di rottura a trazione $f_t \geq 510 \text{ MPa}$

- tensione di snervamento $f_y \geq 355 \text{ MPa}$
- resilienza $KV \geq 27 \text{ J a } -20^\circ\text{C}$
- allungamento (lamiere) $\varepsilon_t \geq 21\%$

5 Bulloni ad alta resistenza

Le giunzioni bullonate saranno realizzate con bulloni ad alta resistenza aventi le seguenti caratteristiche (UNI 3740):

- vite classe 10.9 (UNI5712)
- tensione di rottura a trazione $f_t \geq 1000 \text{ MPa}$
- tensione di snervamento $f_y \geq 900 \text{ MPa}$
- tensione caratteristica $f_{k,N} \geq 700 \text{ MPa}$
- dado classe 10 (UNI 5713)
- rosette C50 (UNI 5714)
- forza di serraggio $N_s = 0,8 f_{k,N} A_{res}$
- coppia di serraggio $T_s = 0,2 N_s d$

6 Pioli con testa tipo “Nelson”

- materiale base ST37-3K – DIN 17100
- tensione di snervamento $f_{yk} \geq 355 \text{ Mpa}$
- tensione di rottura a trazione $f_u \geq 510 \text{ Mpa}$

7 Saldature

Le saldature dovranno essere realizzate secondo le indicazioni delle Norme CNR 10011/97.

Tutte le giunzioni per l'unione dei conci delle travi principali e dei traversi saranno eseguite con saldature testa a testa a completa penetrazione di 1^a classe.

CALCOLI STATICI: PARTE I – IMPALCATO -

1 Generalità

I calcoli sono condotti con riferimento alla geometria della carreggiata destra utilizzando uno schema statico a trave continua su 9 campate con luci **40 +7 × 50 + 40** m. Il calcolo è significativo anche per la carreggiata sinistra in quanto l'impalcato consta di 8 campate con luci poco differenti alla carreggiata destra; pertanto le sollecitazioni a cui sono sottoposte le travi principali possono ritenersi equivalenti (nella trave continua a molte campate le sollecitazioni cambiano pochissimo all'introduzione od eliminazione di una campata).

2 Analisi dei carichi

-----+ RELAZIONE TECNICA: Analisi dei Carichi +-----+		
Peso proprio della struttura (g1)		

- Carpenteria Metallica (g1,1)		
Travi principali.....		
.....= 22,52 kN/m		
Carpenteria secondaria.....		
.....= 4,67 kN/m		
- Soletta (g1,2)..... 25 kN/mc x 3,858 mq = 96,44 kN/m		
Carichi permanenti (g2)		

Marciapiedi..... 25 kN/mc x (1,50 x 0,17 + 0,75 x 0,17 mq) = 9,56 kN/m		
Pavimentazione stradale..... 20 kN/mc x 11,25 m x 0,11 m = 24,75 kN/m		
Velette..... 2 x 1,80 kN/m = 3,60 kN/m		
Canalette smaltimento acque..... 1 x 0,50 kN/m = 0,50 kN/m		
Parapetti..... 1 x 0,50 kN/m = 0,50 kN/m		
Sicurvia..... 2 x 1,00 kN/m = 2,00 kN/m		

Carichi permanenti totali..... = 40,92 kN/m		
Ritiro del calcestruzzo (e2)		

Il ritiro del calcestruzzo è stato schematizzato attraverso le seguenti azioni statiche equivalenti:		
Forza assiale d'estremità..... Ncr = Ea x ec x Acollrit / nr = -8348 kN		
Momento flettente d'estremità..... Mcr = Nc x z = 5451 kNm		

avendo assunto:

contrazione finale da ritiro.....ec = 2,10E-04
 coefficiente di omogeneizzazione a tinf.....nr = 20
 modulo elastico dell'acciaio.....Ea = 206010 MPa
 area della soletta collaborante.....Acollit = 3,859E+06 mmq
 distanza fra il baricentro della soletta in cls
 e il baricentro della sezione composta a tinf z = 0,653 m

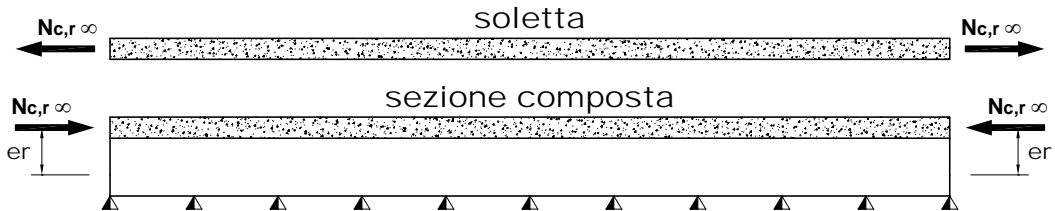


Figura 2.1- Azioni statiche equivalenti al ritiro

Variazioni termiche (e3)

Gli effetti prodotti dalle variazioni termiche differenziali fra la soletta in calcestruzzo e le travi metalliche sono stati valutati con azioni statiche equivalenti concentrate alle estremità dell'impalcato.

Sono state prese in esame le seguenti variazioni termiche:

Variazione termica differenziale positiva 10 °C

Forza assiale d'estremità.....NcdT+ = Ea x a x 10 x AcolldT / n0 = 13251 kN
 Momento flettente d'estremità.....McdT+ = NcdT+ x z = -4346 kNm

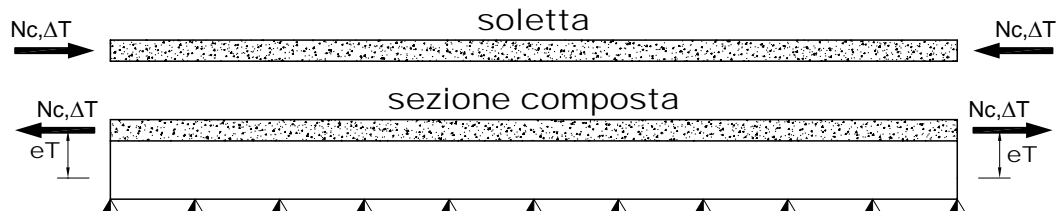


Figura 2.2 - Azioni statiche equivalenti alla variazione termica positiva

Variazione termica differenziale negativa -5 °C

Forza assiale d'estremità.....NcdT- = Ea x a x -5 x AcolldT / n0 = -6625 kN
 Momento flettente d'estremità.....McdT- = NcdT- x z = 2173 kNm

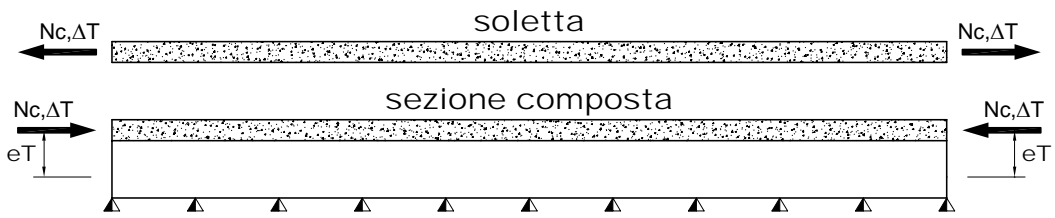


Figura 2.3 - Azioni statiche equivalenti alla variazione termica negativa

avendo assunto:

coefficiente di dilatazione termica..... $a = 1,00E-05$

coefficiente di omogeneizzazione a t_0 $n_0 = 6$

modulo elastico dell'acciaio..... $E_a = 206010 \text{ MPa}$

area della soletta collaborante..... $A_{coll\Delta T} = 3,859E+06 \text{ mmq}$

distanza fra il baricentro della soletta in cls

e il baricentro della sezione composta a t_0 $z = 0,328 \text{ m}$

Carichi mobili (q_1)

Si considerano i seguenti carichi mobili:

- $q_{1,a}$: mezzo convenzionale da 600 kN a 3 assi avente ingombro longitudinale di 15 m

- $q_{1,b}$: carico di 30 kN/m uniformemente distribuito al di fuori dell'ingombro del $q_{1,a}$

In senso trasversale i carichi $q_{1,a}$ e $q_{1,b}$ sono stati distribuiti su corsie convenzionali di larghezza pari a 3,50 m in modo tale da ottenere la distribuzione trasversale più gravosa per la singola trave (Figura 2.4).

Il carico sulla trave maggiormente sollecitata risulta (Figura 2.5):

carico d'asse: = 298 kN

carico uniforme: = 45 kN/m

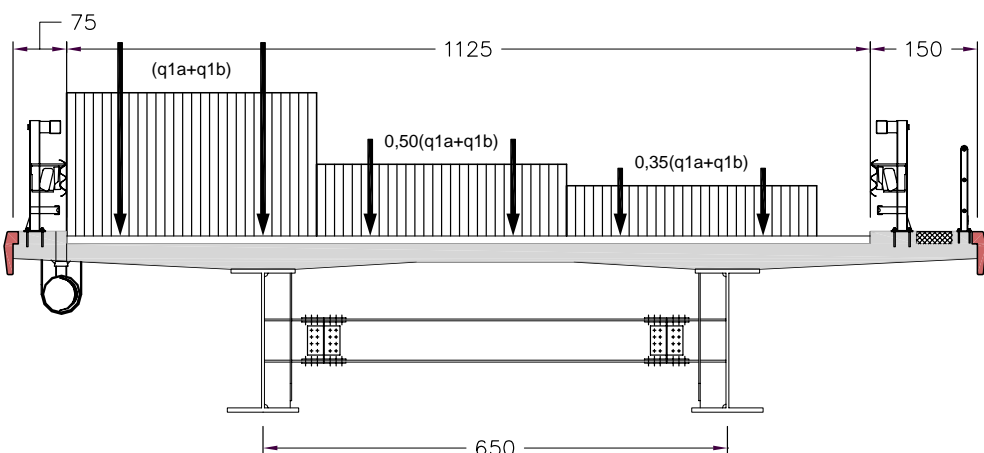


Figura 2.4 - Distribuzione trasversale dei carichi da traffico

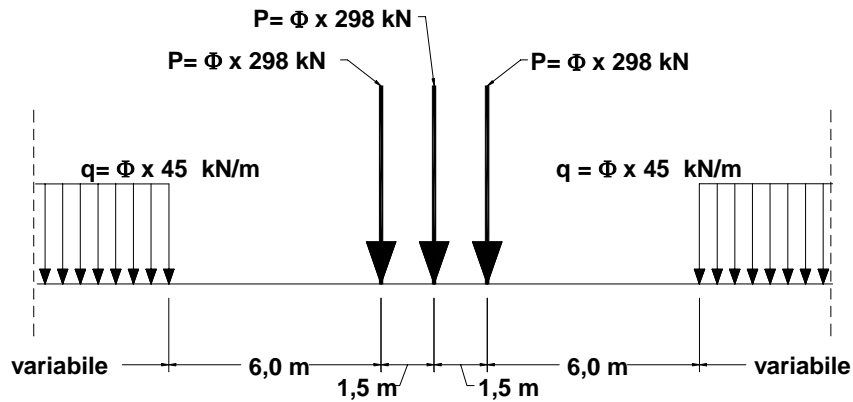


Figura 2.5 - Carico mobile agente sulla trave più sollecitata

Effetto dinamico dei carichi mobili (q_2)

$$\varnothing = 1,4 - (L - 10) / 150 = 1,20 \quad \text{per } L = 40,00 \text{ m}$$

$$\varnothing = 1,4 - (L - 10) / 150 = 1,13 \quad \text{per } L = 50,00 \text{ m}$$

Azione del vento (q_5)

L’azione del vento è riconducibile ad un carico orizzontale uniforme di $2,50 \text{ kN/m}^2$, diretto ortogonalmente all’asse longitudinale del ponte, agente sulla proiezione, nel piano verticale, delle superfici direttamente investite dal vento. La superficie dei carichi transitanti sul ponte esposta al vento è assimilata ad una parete rettangolare continua di altezza costante pari a **3,00 m** dalla pavimentazione stradale.

Tale azione dà luogo ad una sollecitazione torcente che provoca una flessione differenziale dalle due travi portanti.

Con riferimento allo schema riportato in Figura 2.6, risulta:

$$q_5 = \frac{Rb_v}{i} = \frac{2,50 \cdot 5,46 \cdot (5,46/2)}{6,50} = 5,7 \text{ kN/m}$$

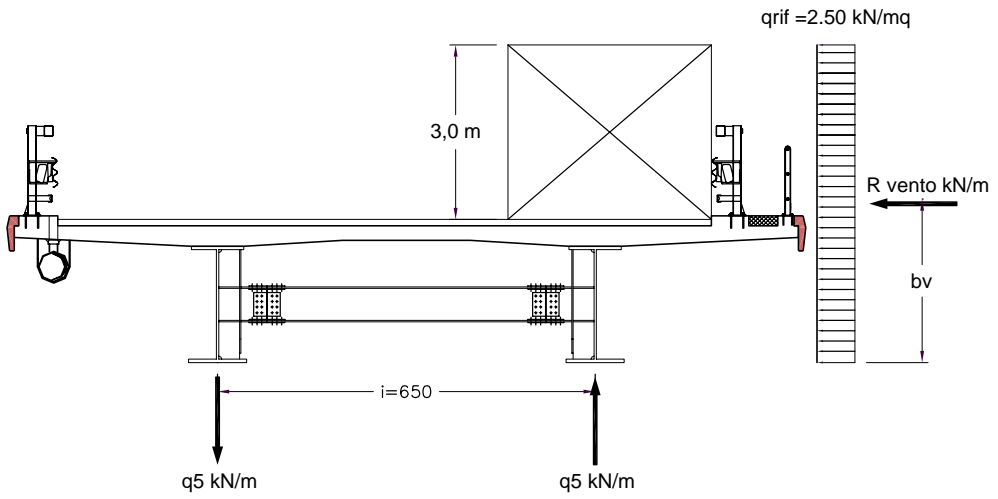


Figura 2.6 - Schematizzazione delle azioni dovute al vento

Azione del sisma (q_6)

L'azione sismica orizzontale (longitudinale e trasversale) è valutata mediante la seguente espressione:

$$F_h = C \cdot R \cdot I \cdot \varepsilon \cdot \beta \cdot W$$

essendo:

$$C = (S-2)/100 = 0,04 \quad \text{coefficiente di intensità sismica}$$

$$R = 1 \quad \text{coefficiente di risposta}$$

$$I = 1 \quad \text{coefficiente di protezione sismica}$$

$$\varepsilon = 1,2 \quad \text{coefficiente di fondazione}$$

$$\beta = 2,5 \quad \text{coefficiente di struttura (appoggi e ritegni sismici)}$$

$$W \quad \text{peso proprio e carichi permanenti}$$

RIEPILOGO DEI CARICHI AGENTI SULLA TRAVE SINISTRA

CARPENTERIA METALLICA [$g_{1,1}$]

Peso trave continua = da geometria conci
Peso elementi secondari = 2,50 kNm⁻¹

PESO DELLA SOLETTA IN C.A. [$g_{1,2}$] = 48,22 kNm⁻¹

CARICHI PERMANENTI [g_2] = 19,26 kNm⁻¹

RITIRO DEL CALCESTRUZZO [ε_2]

Forza assiale N = -4173,93 kN
Momento flettente M = 2725,58 kNm

VARIAZIONE TERMICA NEGATIVA [ε_3]

Forza assiale N = -3312,64 kN
Momento flettente M = 1086,55 kNm

VARIAZIONE TERMICA POSITIVA [ε_3]

Forza assiale N = 6625,28 kN
Momento flettente M = -2173,09 kNm

AZIONE DEL VENTO [q_5] = 5,73 kNm⁻¹

CARICHI MOBILI CON EFFETTO DINAMICO [$q_1 \times q_2$]

Carico dovuto al sistema Tridem [P] = 894 × ϕ kN
Carico uniforme [q] = 45 × ϕ kNm⁻¹

n.b.

Forza assiale positiva = trazione

Momento f. positivo tende le fibre inferiori

ϕ = coefficiente dinamico

Figura 2.7 – Riepilogo dei carichi sulla trave più sollecitata

3 Analisi strutturale

3.1 Criteri generali

L'analisi strutturale è stata condotta per la trave maggiormente sollecitata (trave di sinistra) su un modello agli elementi finiti di tipo "trave" ottenuto discretizzando la struttura in conci di caratteristiche geometriche ed inerziali costanti. Le analisi sono state eseguite per le seguenti condizioni di carico:

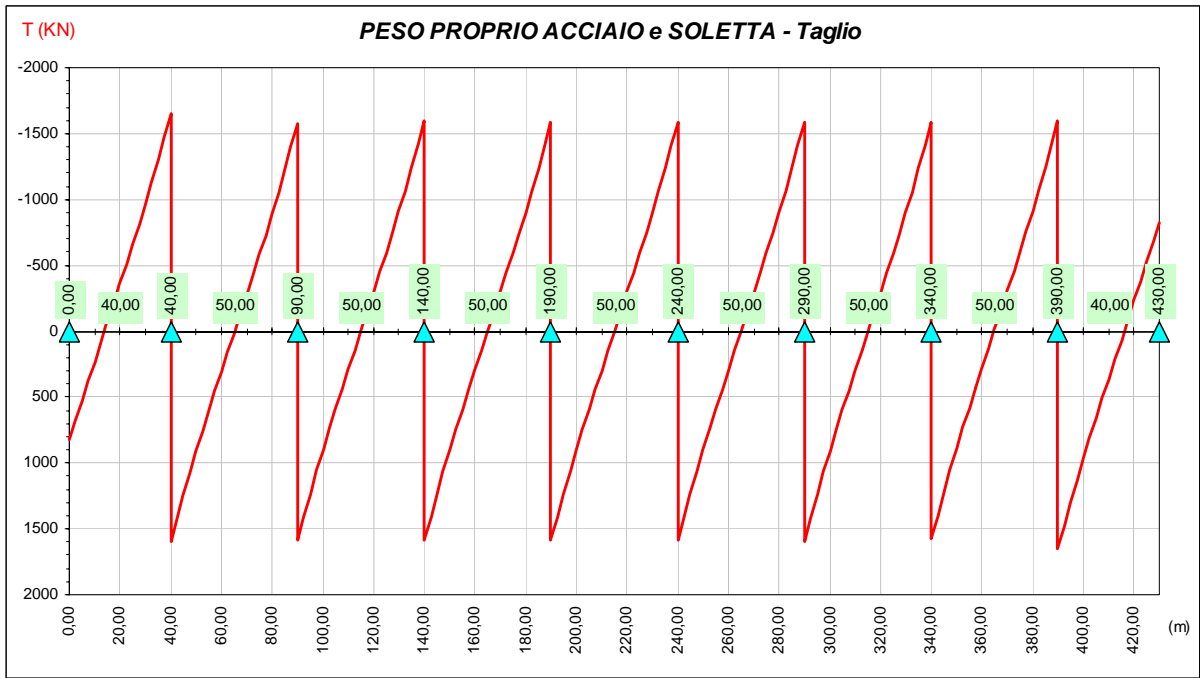
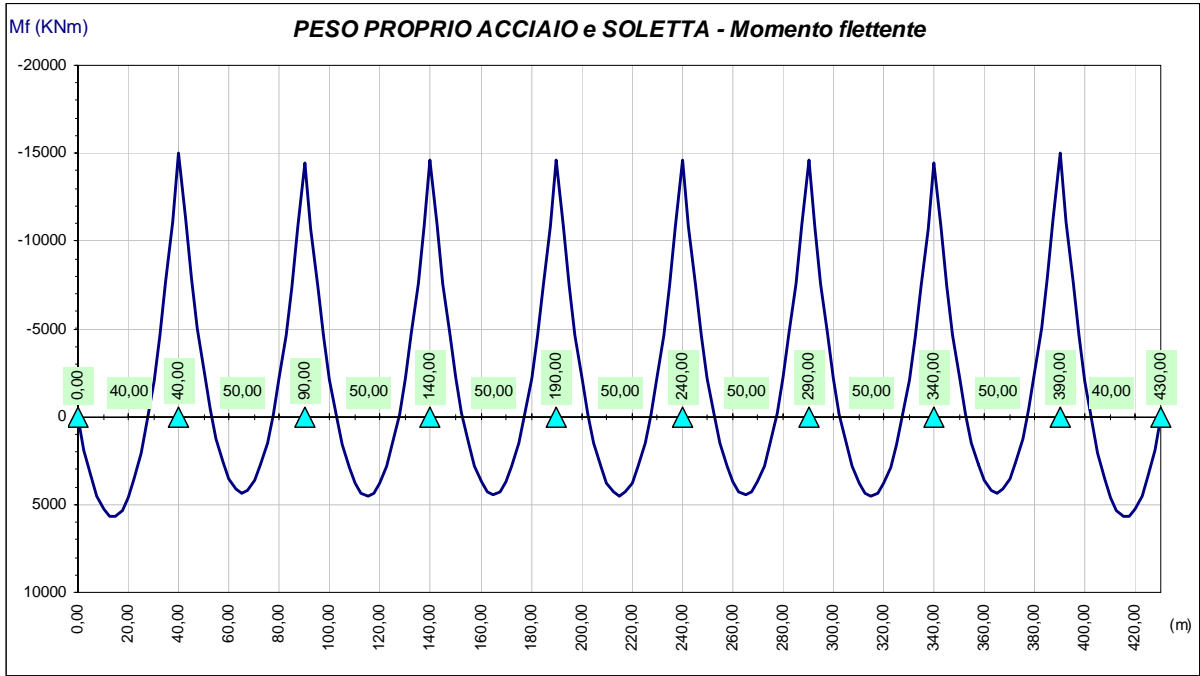
- a) peso proprio della carpenteria metallica e della soletta (modello solo acciaio)
- b) carichi permanenti (modello per carichi di lunga durata);
- c) ritiro (modello per carichi di lunga durata);
- d) variazione termica differenziale (modello per carichi di breve durata);
- e) carichi mobili (modello per carichi di breve durata);
- f) vento (modello per carichi di breve durata).

La larghezza collaborante della soletta, per la definizione delle caratteristiche inerziali della sezione è stata valutata secondo le indicazioni della norma CNR 10016.

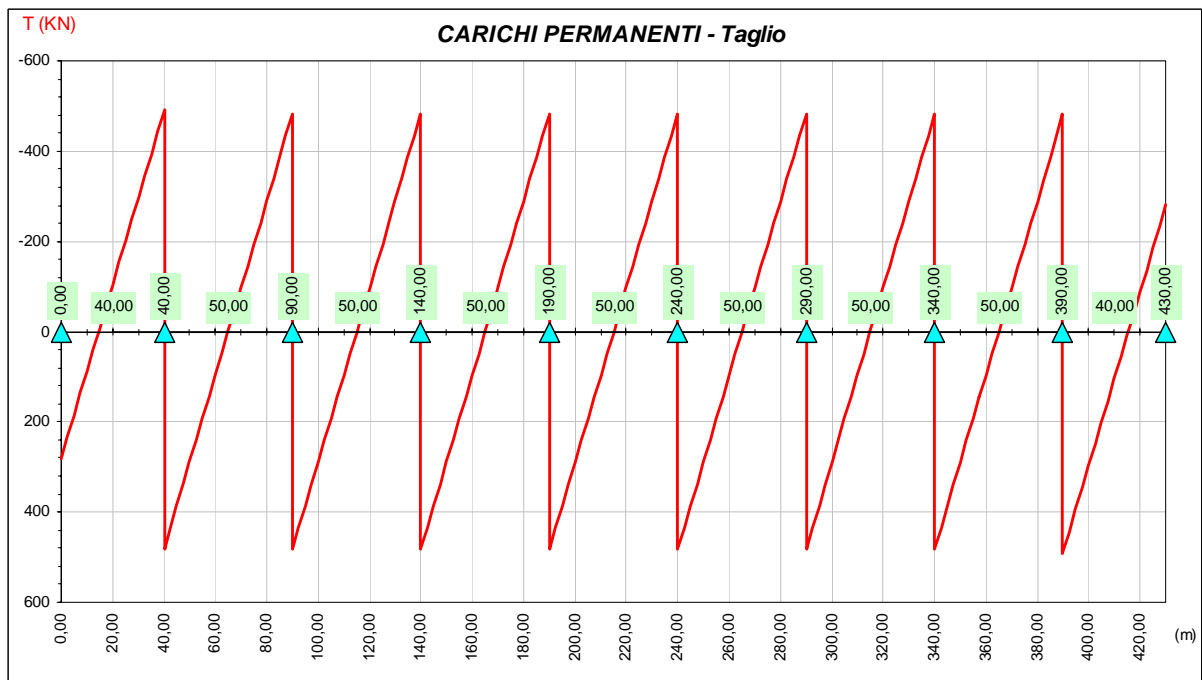
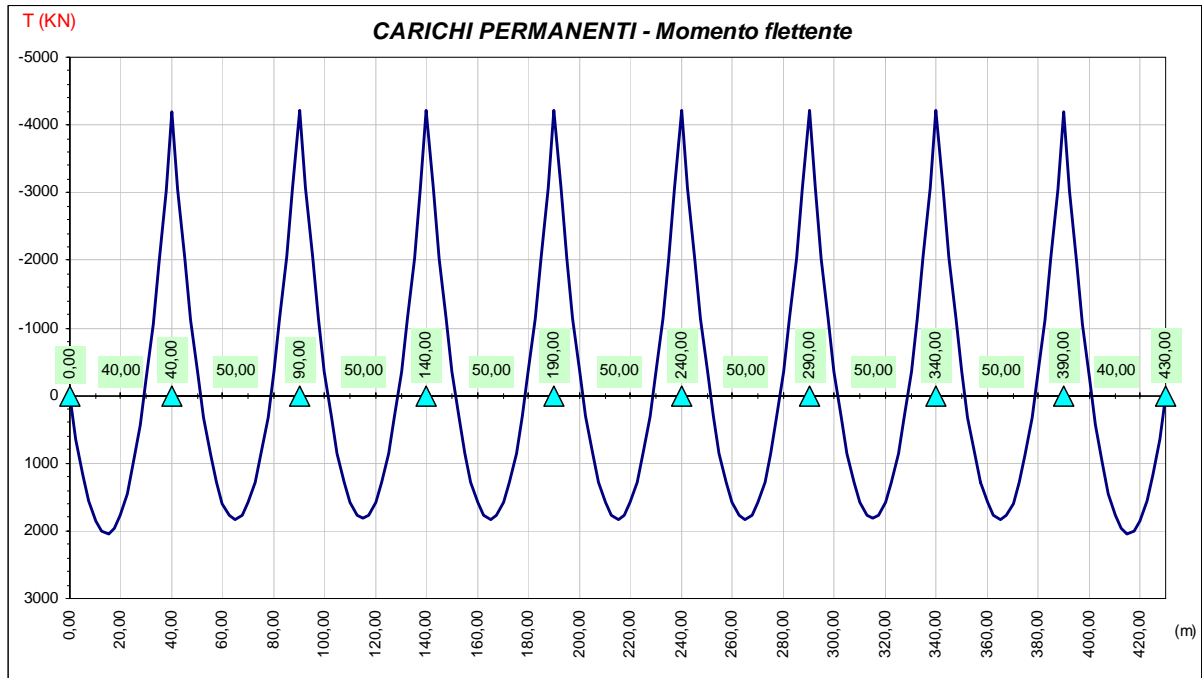
Ai fini delle verifiche di resistenza, per quanto riguarda la condizione di carico a), la soletta è stata considerata realizzata in un unico getto. Con tale ipotesi si sovrastimano le tensioni sulle travi metalliche e quindi si perviene ad una verifica conservativa della sicurezza.

3.2 Sollecitazioni di progetto

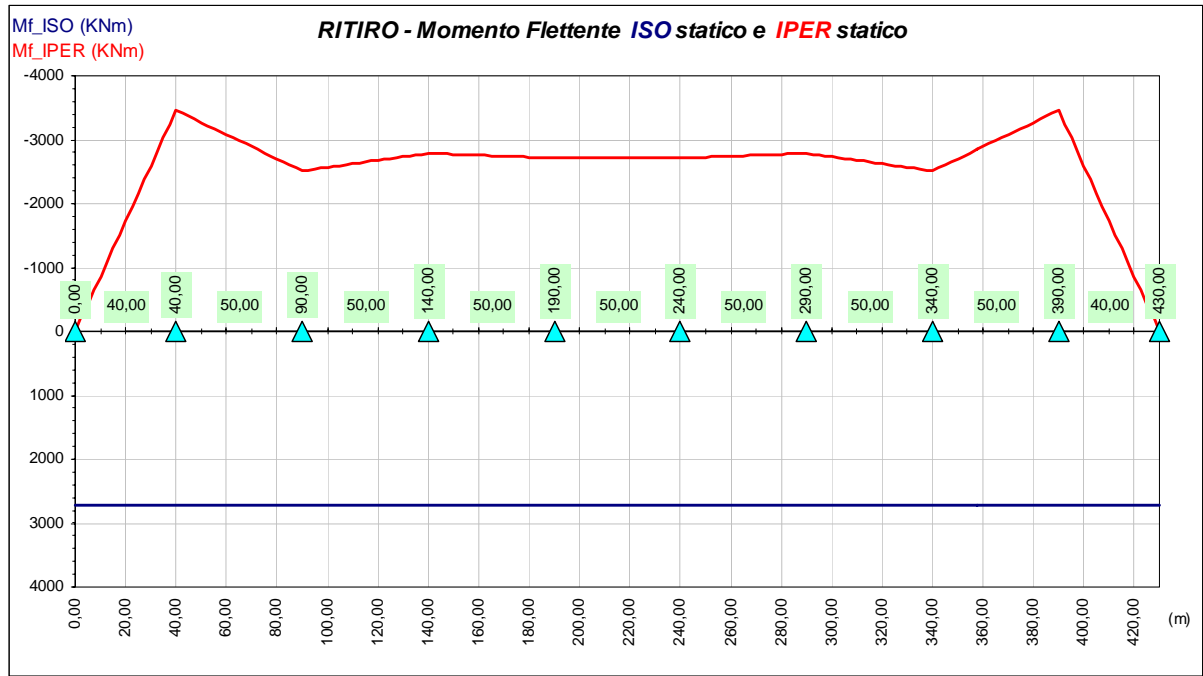
- a) peso proprio della carpenteria metallica e della soletta (modello solo acciaio);



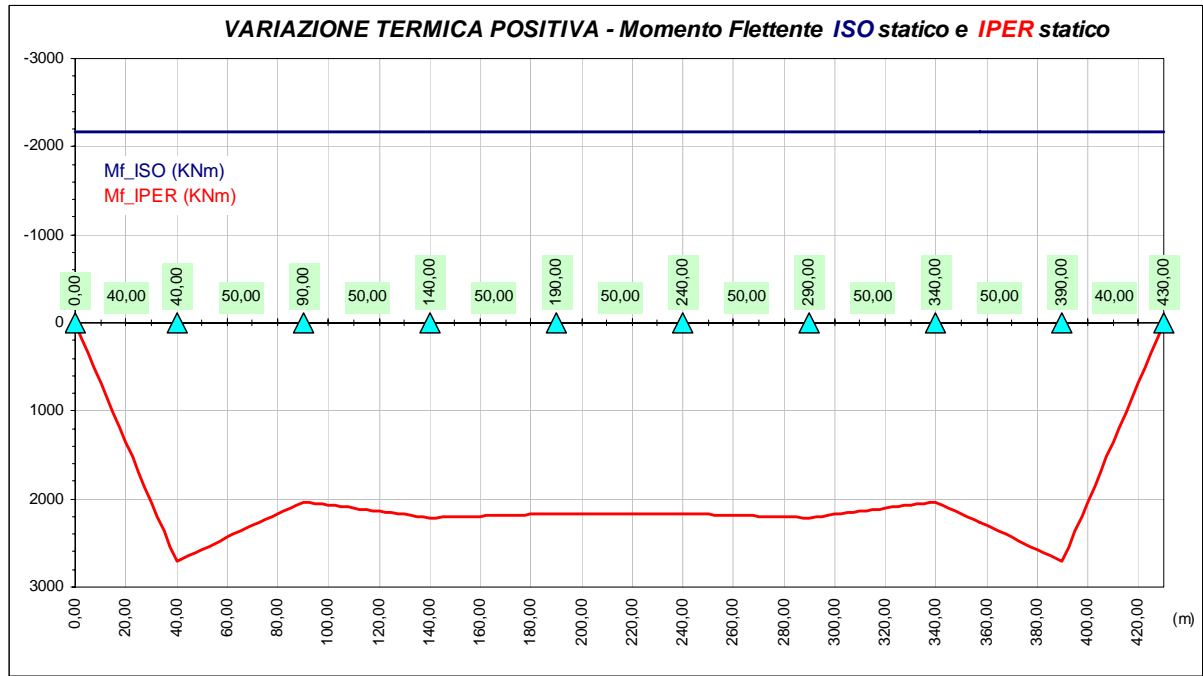
- b) carichi permanenti (modello per carichi di lunga durata);

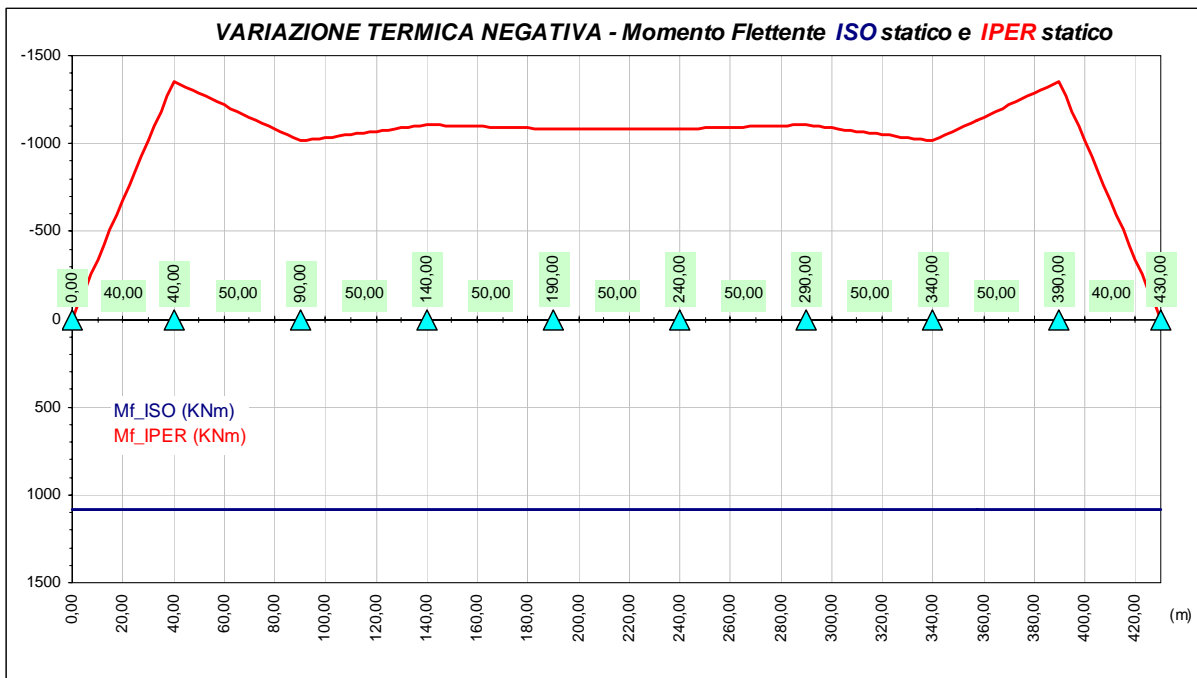


- c) ritiro (modello per carichi di lunga durata);

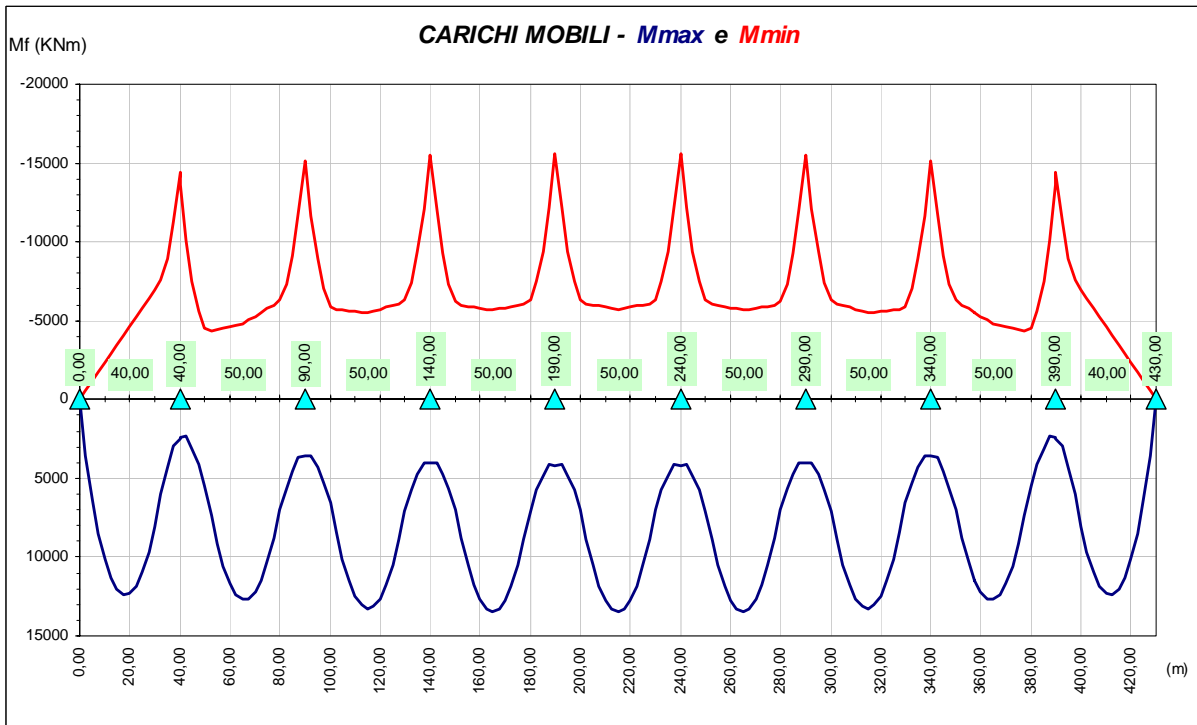


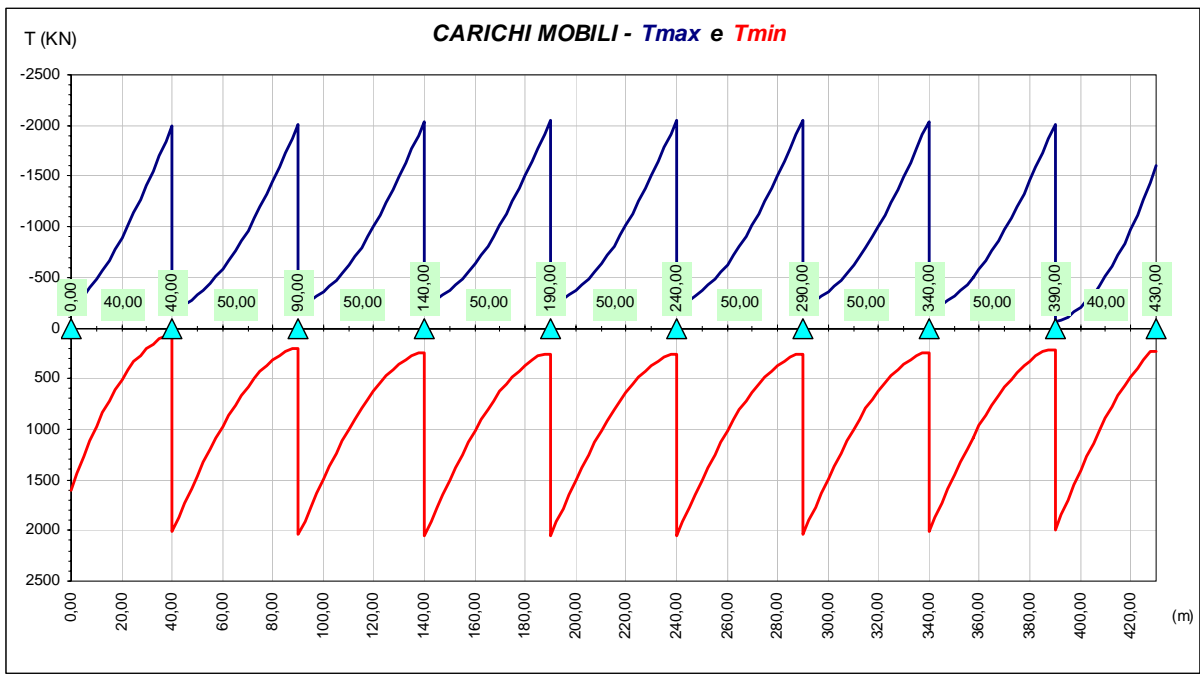
- d) variazione termica differenziale (modello per carichi di breve durata);



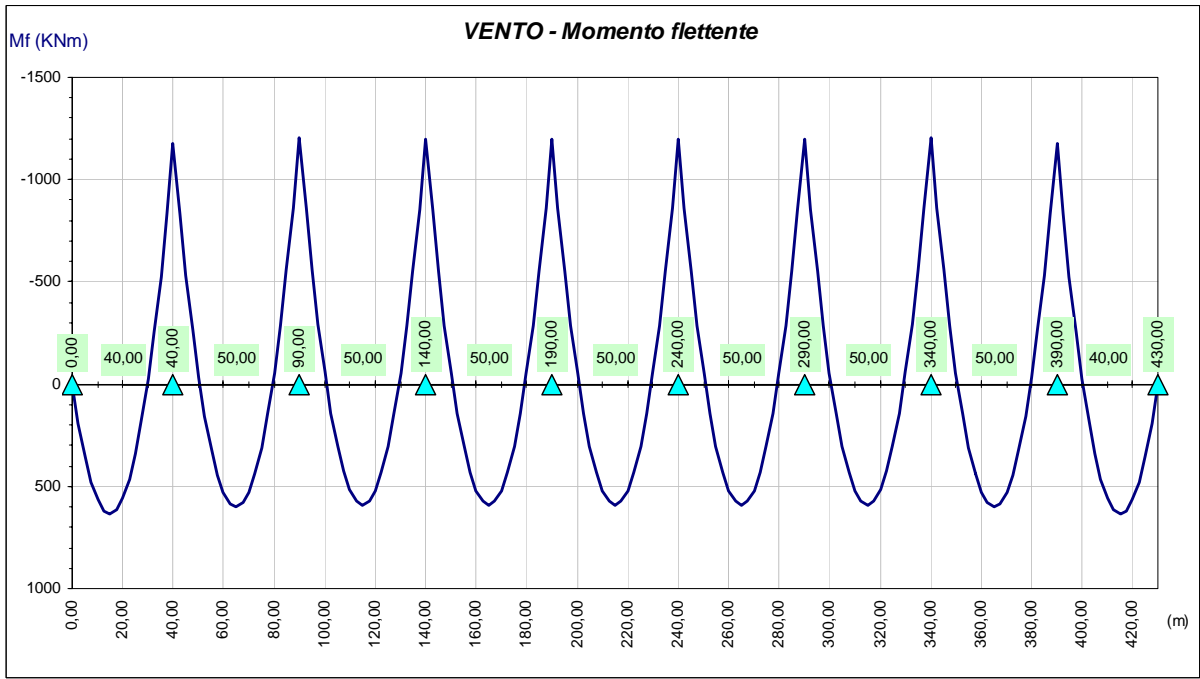


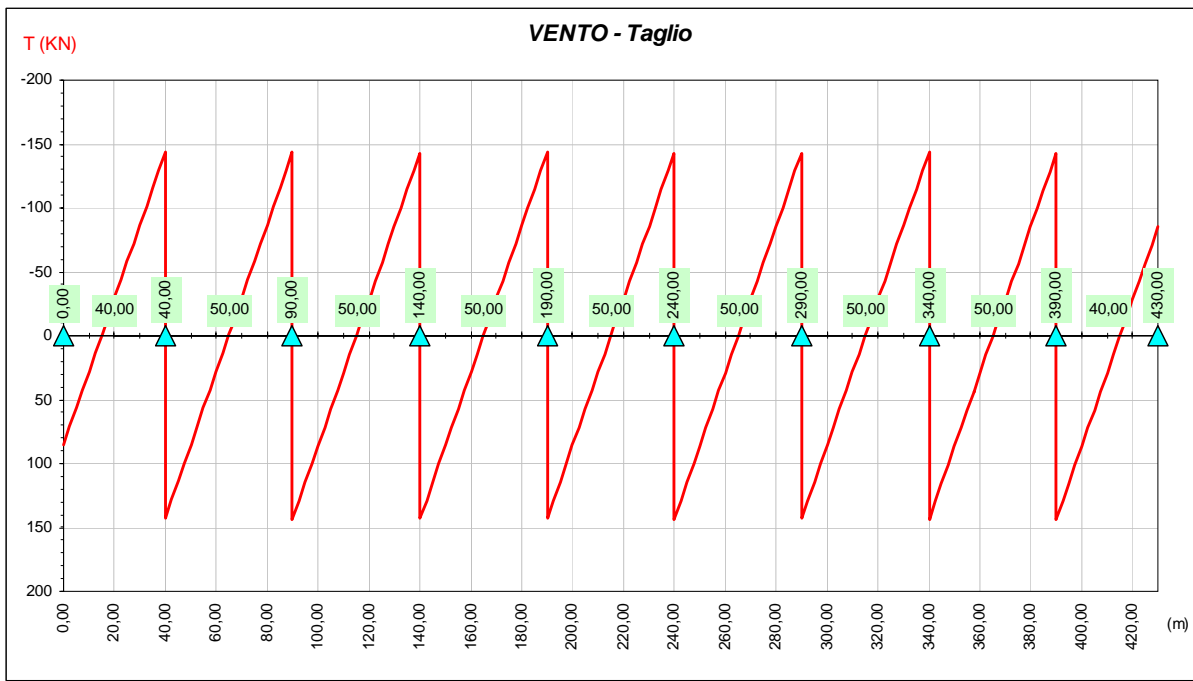
- e) carichi mobili (modello per carichi di breve durata);





- f) vento (modello per carichi di breve durata).





4 Verifiche dell'impalcato

4.1 Verifica di resistenza travi principali

Le verifiche sono condotte per le seguenti combinazioni di carico:

$$\text{I)} \quad F_d = G_k + Q_k + 0,6 Q_5 + \varepsilon_2 + \varepsilon_3$$

essendo:

- G_k pesi propri e carichi permanenti ($g_1 + g_2$);
- Q_k carichi mobili ($q_1 + q_2$);
- Q_5 azione del vento (q_5);
- ε_2 ritiro del calcestruzzo;
- $\varepsilon_3 = (-5 \text{ } ^\circ\text{C})$ variazione termica differenziale negativa ;

$$\text{II)} \quad F_d = G_k + Q_k + 0,6 Q_5 + \varepsilon_3$$

dove:

- $\varepsilon_3 = (+10 \text{ } ^\circ\text{C})$ variazione termica differenziale positiva

Per quanto riguarda i carichi mobili, sezione per sezione, sono considerati i massimi e minimi del momento flettente con i valori del taglio concomitante e i tagli massimi e minimi con i concomitanti momenti flettenti, al fine di determinare la più gravosa condizione di verifica.

Nelle verifiche di resistenza è omessa (per il solo sisma verticale) la combinazione AV definita al punto 3.9 del DM 04 maggio 1990 riguardante i ponti stradali, in quanto non dimensionante e non significativa in rapporto alle combinazioni analizzate, con carichi accidentali come condizione dominante. Secondo il punto 3.9, le azioni sismiche verticali devono essere calcolate in assenza di carico accidentale, considerando le sole masse corrispondenti ai pesi propri ed ai sovraccarichi permanenti, ed in accordo con le vigenti “Norme tecniche per le costruzioni in zona sismica” (DM 16 gennaio 1996). Le azioni verticali da applicare alle strutture mediante analisi statica sono equivalenti ad un sistema di forze uniformemente distribuite, proporzionali alle masse presenti, con valore pari a:

$$F_v = m \cdot C \cdot I \cdot W$$

essendo:

- C il coefficiente di intensità sismica (0,04 per zone di III categoria);
- m = 2;
- I = 1 il coefficiente di protezione sismica
- W peso complessivo masse.

Il viadotto (carreggiata destra) ha un impalcato di larghezza pari a 13,50 m ed un peso complessivo a metro lineare di circa 165 kN/m. Nella combinazione di sisma verticale andrebbe considerato un carico uniformemente distribuito che nel caso più sfavorevole (zone di II categoria) può essere pari al 8 % delle masse verticali ovvero pari circa a 13,2 kN/m.

Gli impalcati sono stati calcolati considerando nell'ingombro della carreggiata tre corsie convenzionali di carico, per un carico totale di 1,85 volte la singola colonna di carico nominale ($q_{1a} + q_{1b}$), da maggiorare successivamente in base al coefficiente di amplificazione dinamica. Di conseguenza, il carico accidentale medio uniformemente distribuito è sicuramente uguale o superiore a $q_{1b} \times 1,85 = 30 \text{ kN/m} \times 1,85 = 55,5 \text{ kN/m}$ ovvero almeno pari al 34 % del peso della struttura. Inoltre, i carichi accidentali sono posizionati in base alle linee di influenza, in modo da ottenere le massime sollecitazioni, mentre il carico sismico uniformemente distribuito agisce sull'intera struttura. Appare quindi lecita la scelta di trascurare la combinazione AV per il sisma verticale, in rapporto alle combinazioni di verifica I) e II) sopra descritte.

Le resistenze di progetto dei materiali costituenti la sezione sono:

Acciaio da carpenteria Fe 510:

$$\text{per elementi di spessore } t \leq 40 \text{ mm} \Rightarrow \sigma_{a,amm} = 240 \text{ MPa}$$

$$\text{per elementi di spessore } t > 40 \text{ mm} \Rightarrow \sigma_{a,amm} = 210 \text{ MPa}$$

Calcestruzzo R_{ck} 40:

$$\Rightarrow \sigma_{c,amm} = 12,25 \text{ MPa}$$

Acciaio per armature FeB44K:

$$\Rightarrow \sigma_{s,amm} = 255 \text{ MPa}$$

Nelle zone a momento negativo si trascura il contributo del calcestruzzo tesò e si considera agente il solo effetto iperstatico del ritiro e/o della variazione termica.

Le verifiche sono condotte con l'ausilio di un codice di calcolo automatico sulle sezioni più significative dell'impalcato. Le grandezze geometriche ed inerziali delle sezioni tengono conto delle fasi costruttive e di esercizio a breve e a lungo termine.

Il calcolo delle tensioni è stato effettuato sezione per sezione, con le proprietà inerziali della sezione tipo associata all'azione presa in considerazione.

In presenza di stati di sollecitazione pluriassiali la tensione ideale di confronto è determinata mediante l'espressione indicata nella CNR - UNI 10011.

Le tensioni ideali calcolate in riferimento a ciascuna sezione tipo sono state sommate fra loro e quindi confrontate con le tensioni di progetto.

Si riportano nel seguito le rappresentazioni grafiche delle verifiche per le combinazioni di carico precedentemente individuate (confronto tra tensioni ideali di calcolo e tensioni di progetto).

Le curve di colore blu (grigio scuro) rappresentano l'inviluppo delle tensioni ideali di calcolo per le combinazioni di carico precedentemente individuate, mentre quelle rosse (grigio chiaro) le tensioni resistenti di progetto.

La verifica è stata effettuata nelle 5 fibre di riferimento della sezione composta specificate nella Figura 4.1 e sull'armatura superiore della soletta.

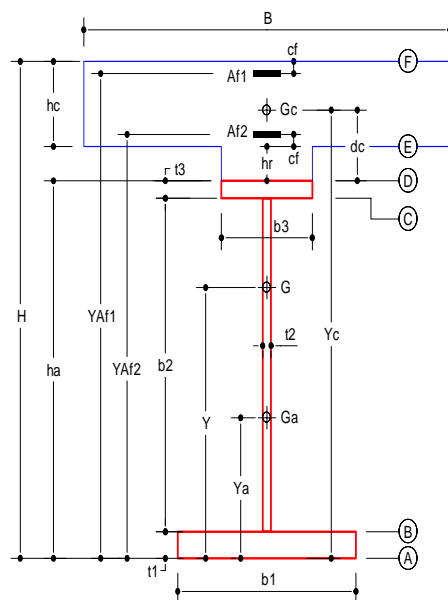
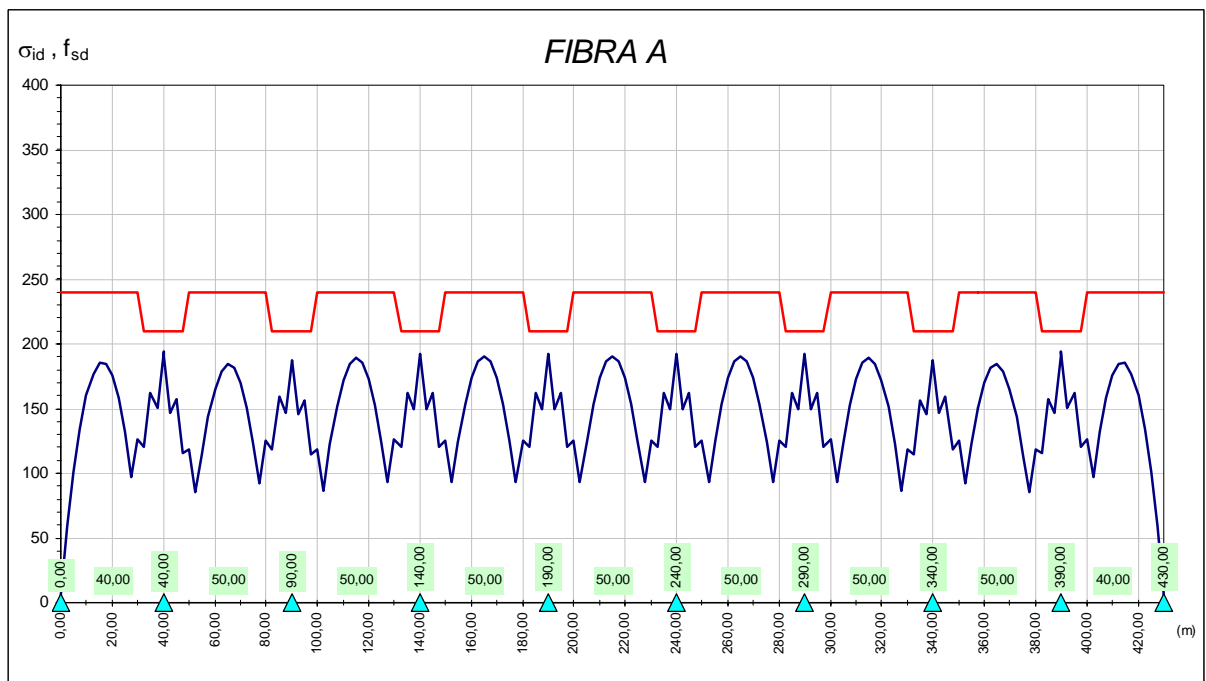
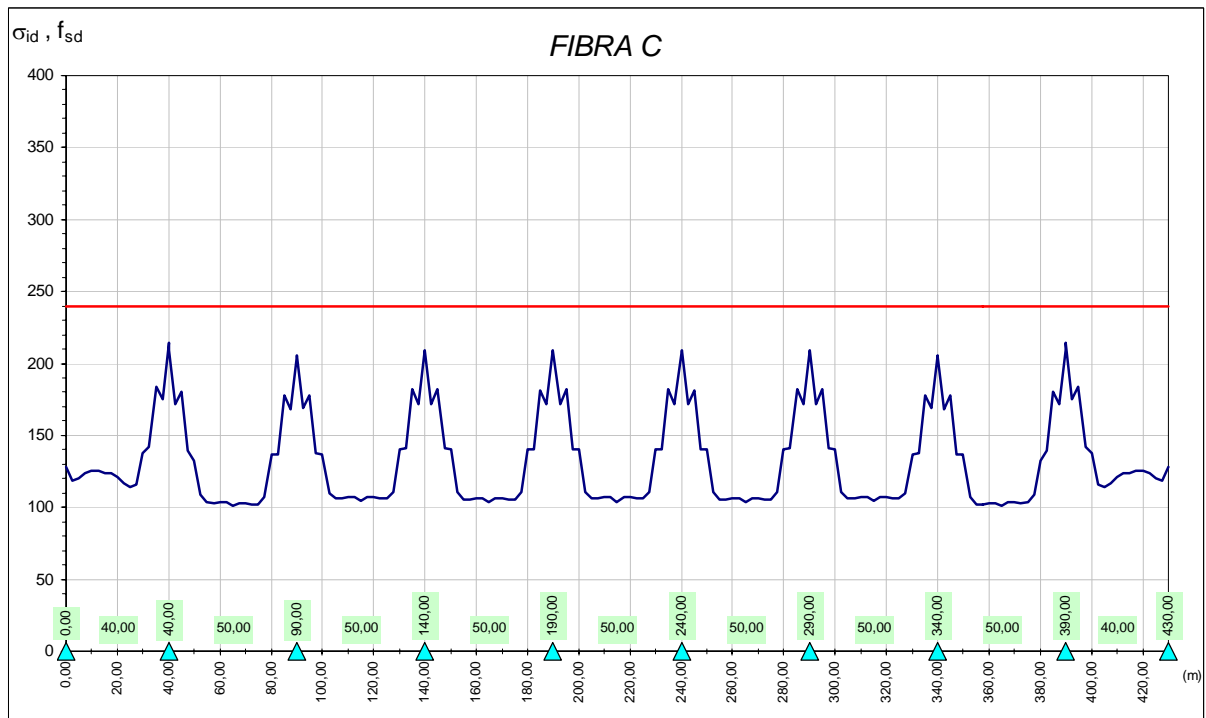
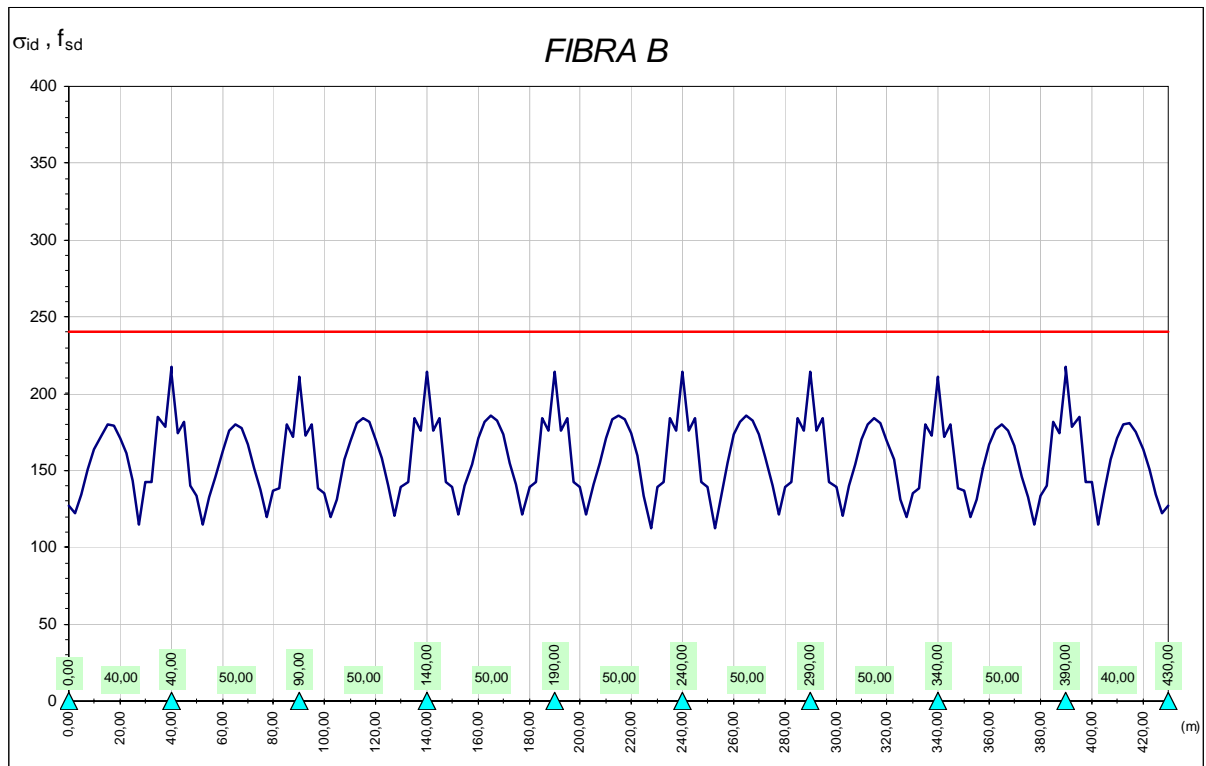
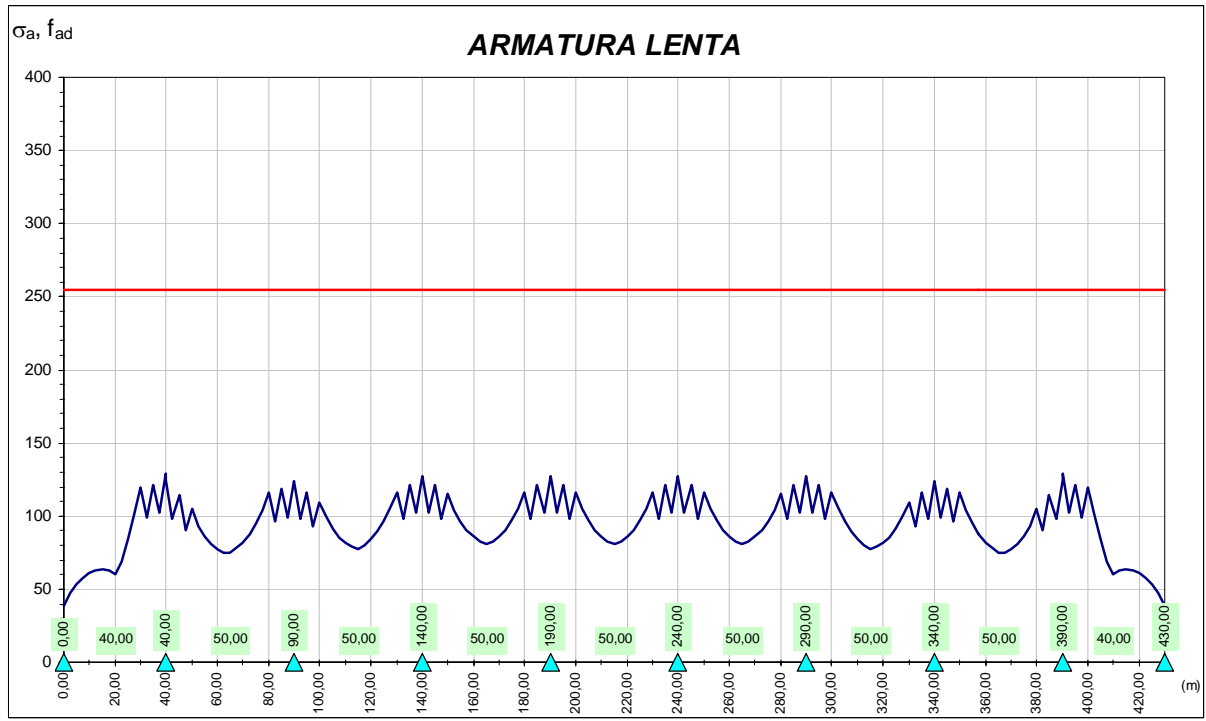
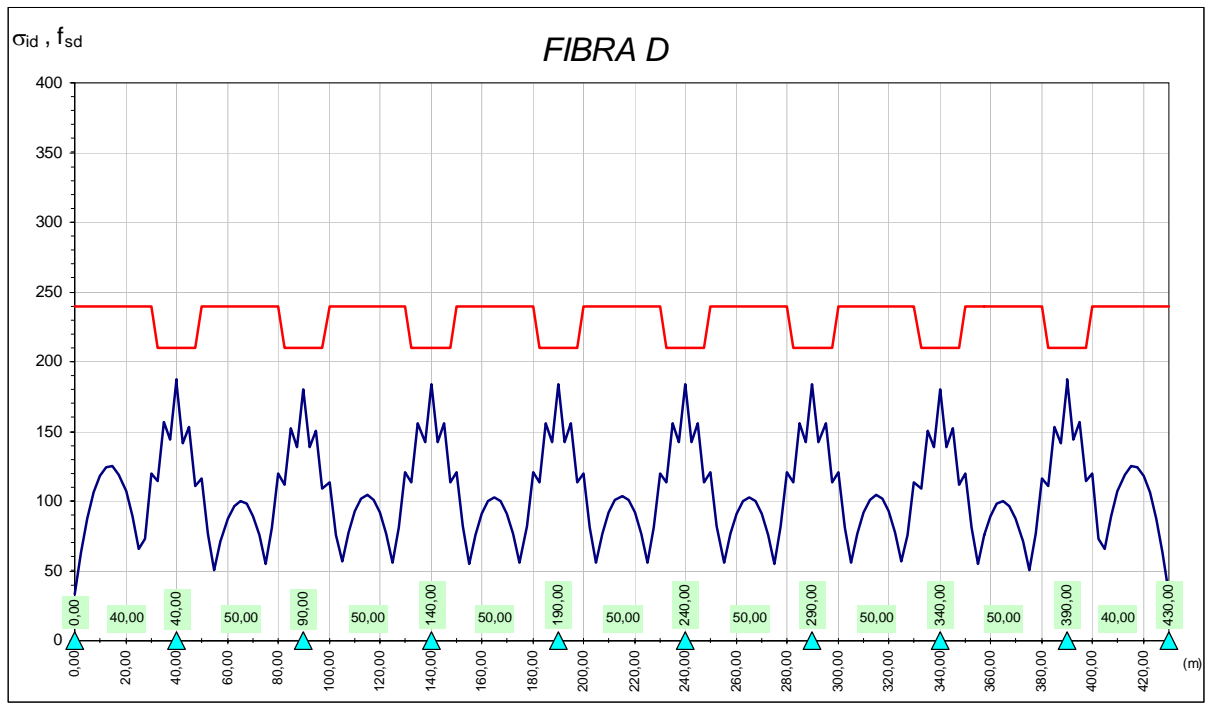
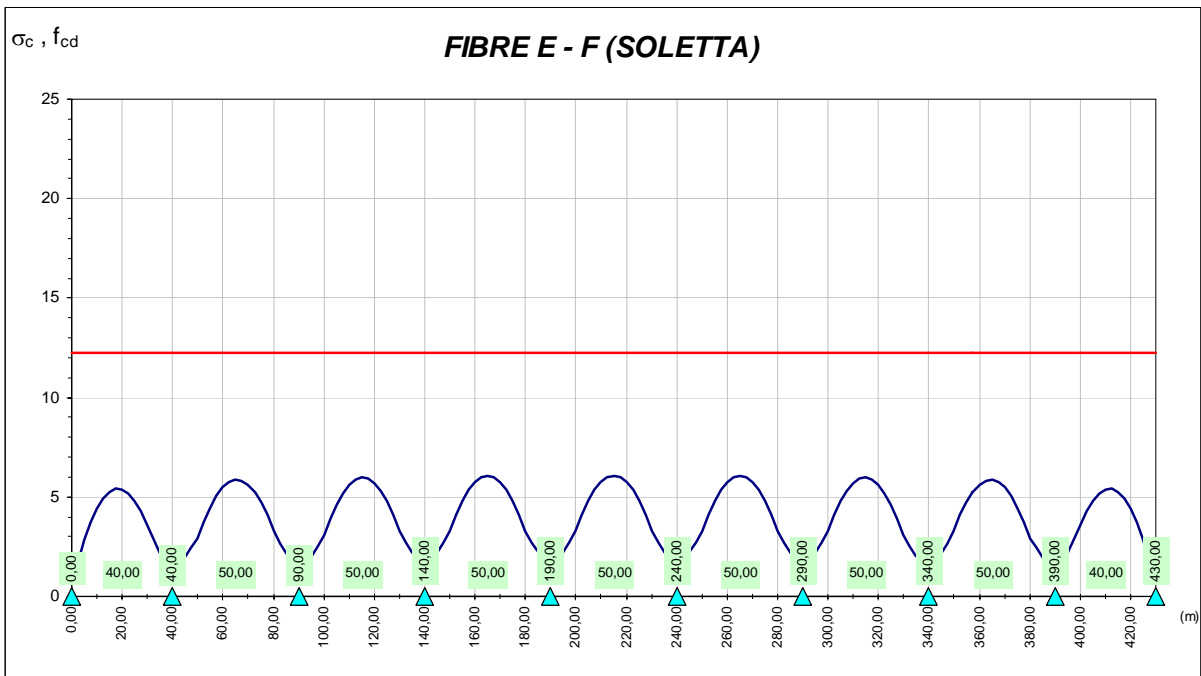


Figura 4.1 – Fibre di riferimento per le verifiche di resistenza









4.2 Verifica di stabilità dei pannelli d'anima delle travi principali

Le verifiche sono state effettuate per le combinazioni di carico precedentemente esposte facendo riferimento ai criteri suggeriti dalle CNR 10011.

L'anima delle travi metalliche è stata considerata suddivisa in pannelli rettangolari, compresi fra due montanti verticali di irrigidimento successivi, soggetti alle tensioni normali e tangenziali di calcolo. I pannelli sono stati considerati incastrati a livello della piattabanda superiore ed incernierati a livello di quella inferiore..

La verifica consiste nel controllare che sia:

$$\beta \nu \sqrt{\sigma^2 + 3\tau^2} \leq \sigma_{cr,id}$$

oppure nel caso risulti $\sigma_{cr,id} > 0,8 f_d = 0,8 f_y$

$$\beta \nu \sqrt{\sigma^2 + 3\tau^2} \leq \sigma_{cr,red}$$

dove:

$$\sigma_{cr,id} = \frac{\sqrt{\sigma^2 + 3\tau^2}}{\frac{1+\psi}{4} + \frac{\sigma}{\sigma_{cr}} + \sqrt{\left(\frac{3-\psi}{4} \frac{\sigma}{\sigma_{cr}}\right)^2 + \left(\frac{\tau}{\tau_{cr}}\right)^2}}$$

e

$$\sigma_{cr,red} = f_d \frac{20 + \sqrt{25 - 15(f_y / \sigma_{cr,id})^2}}{25 + (f_y / \sigma_{cr,id})^2}$$

con il seguente significato dei simboli:

- tensione di riferimento..... $\sigma_{cr,0} = 186200 (t/h^2) (\text{MPa})$
- altezza netta del pannello..... h
- spessore del pannello t
- tensioni ideali di imbozzamento ($\tau = 0$) $\sigma_{cr} = K\sigma \sigma_{cr,0} (\text{MPa})$
- tensioni ideali di imbozzamento ($\sigma = 0$)..... $\tau_{cr} = K\tau \sigma_{cr,0} (\text{MPa})$
- coefficienti di imbozzamento $K\tau - K\sigma$
- coefficiente di distribuzione lineare delle tensioni normali ψ
- tensione normale massima di compressione..... σ

Caso	Condizioni di carico del pannello	Tensioni ideali di imbozzamento	$\alpha = a/h$	Coefficiente di imbozzamento
1	Compressione variabile linearmente $1 \leq \psi \leq 0$		$\sigma_{cr} = k_\sigma \sigma_E$	$k_\sigma = \frac{8.4}{1.1 + \psi}$
				$k_\sigma = \left(\alpha + \frac{1}{\alpha} \right)^2 \frac{2.1}{1.1 + \psi}$
2	Compressione e trazione variabili linearmente con preponderante tensione di compressione $-1 < \psi < 0$		$\sigma_{cr} = k_\sigma \sigma_E$	$k_\sigma = (1 + \psi)k_1 - \psi k_3 + 10\psi(1 + \psi)$ k ₁ dal caso 1 per $\psi = 0$ k ₃ dal caso 3 per $\psi = -1$
3	Compressione e trazione var. linearmente, con uguali valori massimi di compressione e trazione $\psi = -1$ o preponderante tensione di trazione $\psi < -1$		$\sigma_{cr} = k_\sigma \sigma_E$	$\alpha \geq \frac{2}{3}$ $k_\sigma = 23.9$
				$\alpha < \frac{2}{3}$ $k_\sigma = 15.87 + \frac{1.87}{\alpha^2} + 8.6\alpha^2$
4	Tensione tangenziale uniformemente distribuita		$\tau_{cr} = k_\tau \sigma_E$	$\alpha \geq 1$ $k_\tau = 5.34 + \frac{4}{\alpha^2}$
				$\alpha < 1$ $k_\tau = 4 + \frac{5.34}{\alpha^2}$

Tabella 4.1- Coefficienti d'imbozzamento

- lunghezza del pannello a
- rapporto fra i lati del pannello $\alpha = a / h$
- coefficiente di sicurezza per verifiche T.A..... $v = 1,5$
- $\beta = \frac{\sigma_N + 0,80\sigma_M}{\sigma_N + \sigma_M}$ per $\alpha \leq 1,5$; $\beta = 1$ per $\alpha > 1,5$ essendo σ_N e σ_M i valori delle tensioni

dovute allo sforzo normale N ed al momento flettente M agenti sul pannello d'anima.

Nelle pagine successive si riportano il dettaglio della verifica del pannello maggiormente sollecitato e la verifica sintetica di tutti i pannelli individuati.

Caratteristiche del pannello			
Pannello	N_pan	7	
Ascissa inizio	Inizio	34,26	m
Ascissa fine	Fine	40,00	m
Lunghezza del pannello	a	574,0	cm
Campata	n°	1	

Sollecitazioni di verifica			
Combinazione	n°	1	
Condizione carichi mobili		V max	
Forza assiale	N	-3369	kN
Momento flettente	M	-29155	kNm
Taglio	V	-4205	kN
Tensione punto C (bordo superiore)	σ_C	152,8	N/mm ²
Tensione punto B (bordo inferiore)	σ_B	-157,8	N/mm ²
Tensione tangenziale	τ	-78,4	N/mm ²

Verifica di stabilità			
Tensione di compressione massima (σ_1)	σ_1	-157,8	N/mm ²
Tensione all'altro estremo (σ_2)	$\psi \cdot \sigma_1$	152,8	N/mm ²
Tensione tangenziale	τ	-78,4	N/mm ²
Tensione dovuta ad N	$\sigma_N =$	-2,5	N/mm ²
Tensione dovuta ad M	$\sigma_M =$	-155,3	N/mm ²
Coefficiente ψ ($\psi = \sigma_2/\sigma_1$)	ψ	-0,97	
Coefficiente α ($\alpha = a/b_{ani}$)	α	3,14	
Modulo elastico dell'acciaio	E_acciaio	206000	N/mm ²
Tensione di snervamento (fsy)	fsy	355	N/mm ²
Resistenza di calcolo fsd (fsd = fsy/ γ_m)	fsd	355	N/mm ²
Coefficiente di imbozzamento	$K_\sigma =$	29,07	
Coefficiente di imbozzamento	$K_\tau =$	5,79	
Coefficiente correttivo di $k\sigma$ e $k\tau$		1,26	
Tensione di riferimento	$\sigma_{cr,0} =$	48,0	N/mm ²
	$\sigma_{cr} =$	-1396,4	N/mm ²
	$\tau_{cr} =$	278,2	N/mm ²
Tensione critica ideale	$\sigma_{cr,id} =$	345,3	N/mm ²
Tensione ideale	$\sigma_{id} =$	208,2	N/mm ²
Coefficiente per metodo di verifica	$v =$	1,5	
	$\beta =$	1,00	
VERIFICA	$(\sigma_{cr,id} / \sigma_{id}) \geq \beta \times v$	SODDISFATTA	
	$\sigma_{cr,id} / \sigma_{id} =$	1,659	> 1,50

Tabella 4.2 – Verifica dettagliata del pannello n°7

Pann. N°	Camp. N°	Ascissa Iniziale [m]		Ascissa Finale [m]		Sez. N°	Lungh. Pannello [m]	Ala superiore		Ala inferiore		Anima		Tipo sezione	s,cr,id s,id	coeff. limite b x v	Cond. car. mob.	Pos. sez. ver.	Sollecitazioni		
		Sez. N°	Ascissa Finale [m]	Sez. N°	Lungh. Pannello [m]			b3 [cm]	t3 [cm]	b1 [cm]	t1 [cm]	b2 [cm]	t2 [cm]						N [kN]	M [kNm]	T [kN]
1	1	0,00	1	5,71	4	5,71	90,0	3,000	110,0	4,000	193,0	2,000	eff.	1,822	1,500	2	V min	SX	1260	1209	2685
2	1	5,71	4	11,42	7	5,71	90,0	3,000	110,0	4,000	193,0	2,000	eff.	2,559	1,500	1	V min	SX	2805	8378	1655
3	1	11,42	7	17,13	10	5,71	90,0	3,000	110,0	4,000	193,0	2,000	eff.	2,705	1,500	1	V max	DX	1607	8920	-1011
4	1	17,13	10	22,84	14	5,71	90,0	3,000	110,0	4,000	193,0	2,000	eff.	2,511	1,500	1	V max	DX	734	6452	-1741
5	1	22,84	14	28,55	17	5,71	90,0	3,000	110,0	4,000	193,0	2,000	eff.	1,742	1,500	1	V max	DX	-1520	1746	-2509
6	1	28,55	17	34,26	20	5,71	90,0	5,238	110,0	5,492	189,3	2,373	med.	1,925	1,500	1	V max	DX	-1654	-12380	-3335
7	1	34,26	20	40,00	23	5,74	90,0	8,613	110,0	8,613	182,8	2,936	med.	1,659	1,500	1	V max	DX	-3369	-29155	-4205
8	2	40,00	24	45,56	27	5,56	90,0	8,698	110,0	8,698	182,6	2,950	med.	1,713	1,500	1	V min	SX	-3262	-28734	4064
9	2	45,56	27	51,12	30	5,56	90,0	5,396	110,0	5,597	189,0	2,399	med.	1,973	1,500	1	V min	SX	-1668	-12982	3240
10	2	51,12	30	56,68	33	5,56	90,0	3,000	110,0	4,000	193,0	2,000	eff.	1,650	1,500	1	V min	SX	-1608	612	2452
11	2	56,68	33	62,24	36	5,56	90,0	3,000	110,0	4,000	193,0	2,000	eff.	2,674	1,500	1	V min	SX	718	5047	1717
12	2	62,24	36	67,80	40	5,56	90,0	3,000	110,0	4,000	193,0	2,000	eff.	3,209	1,500	1	V min	SX	1815	7480	1016
13	2	67,80	40	73,36	43	5,56	90,0	3,000	110,0	4,000	193,0	2,000	eff.	2,684	1,500	1	V max	DX	124	4823	-1648
14	2	73,36	43	78,92	46	5,56	90,0	3,000	110,0	4,000	193,0	2,000	eff.	1,824	1,500	1	V max	DX	-1072	-879	-2382
15	2	78,92	46	84,48	49	5,56	90,0	5,417	110,0	5,612	189,0	2,403	med.	1,998	1,500	1	V max	DX	-1645	-13166	-3171
16	2	84,48	49	90,00	52	5,52	90,0	8,717	110,0	8,717	182,6	2,953	med.	1,740	1,500	1	V max	DX	-3449	-28224	-3989
17	3	90,00	53	95,56	56	5,56	90,0	8,698	110,0	8,698	182,6	2,950	med.	1,726	1,500	1	V min	SX	-3442	-28173	4055
18	3	95,56	56	101,12	59	5,56	90,0	5,396	110,0	5,597	189,0	2,399	med.	1,994	1,500	1	V min	SX	-1562	-12733	3230
19	3	101,12	59	106,68	62	5,56	90,0	3,000	110,0	4,000	193,0	2,000	eff.	1,776	1,500	1	V min	SX	-821	-336	2442
20	3	106,68	62	112,24	65	5,56	90,0	3,000	110,0	4,000	193,0	2,000	eff.	2,647	1,500	1	V min	SX	611	5345	1708
21	3	112,24	65	117,80	69	5,56	90,0	3,000	110,0	4,000	193,0	2,000	eff.	3,106	1,500	1	V max	DX	1493	7503	-1034
22	3	117,80	69	123,36	72	5,56	90,0	3,000	110,0	4,000	193,0	2,000	eff.	2,590	1,500	1	V max	DX	344	5072	-1733
23	3	123,36	72	128,92	75	5,56	90,0	3,000	110,0	4,000	193,0	2,000	eff.	1,767	1,500	1	V max	DX	-1026	-845	-2467
24	3	128,92	75	134,48	78	5,56	90,0	5,417	110,0	5,612	189,0	2,403	med.	1,946	1,500	1	V max	DX	-1689	-13500	-3256
25	3	134,48	78	140,00	81	5,52	90,0	8,717	110,0	8,717	182,6	2,953	med.	1,699	1,500	1	V max	DX	-3567	-28934	-4074
26	4	140,00	82	145,56	85	5,56	90,0	8,698	110,0	8,698	182,6	2,950	med.	1,696	1,500	1	V min	SX	-3567	-28931	4079
27	4	145,56	85	151,12	88	5,56	90,0	5,396	110,0	5,597	189,0	2,399	med.	1,948	1,500	1	V min	SX	-1673	-13385	3254
28	4	151,12	88	156,68	91	5,56	90,0	3,000	110,0	4,000	193,0	2,000	eff.	1,766	1,500	1	V min	SX	-999	-750	2466
29	4	156,68	91	162,24	94	5,56	90,0	3,000	110,0	4,000	193,0	2,000	eff.	2,603	1,500	1	V min	SX	419	5087	1732
30	4	162,24	94	167,80	98	5,56	90,0	3,000	110,0	4,000	193,0	2,000	eff.	3,133	1,500	1	V max	DX	1522	7453	-1032
31	4	167,80	98	173,36	101	5,56	90,0	3,000	110,0	4,000	193,0	2,000	eff.	2,597	1,500	1	V max	DX	361	5048	-1731
32	4	173,36	101	178,92	104	5,56	90,0	3,000	110,0	4,000	193,0	2,000	eff.	1,769	1,500	1	V max	DX	-1020	-842	-2466
33	4	178,92	104	184,48	107	5,56	90,0	5,417	110,0	5,612	189,0	2,403	med.	1,948	1,500	1	V max	DX	-1690	-13479	-3254
34	4	184,48	107	190,00	110	5,52	90,0	8,717	110,0	8,717	182,6	2,953	med.	1,701	1,500	1	V max	DX	-3572	-28899	-4073
35	5	190,00	111	195,56	114	5,56	90,0	8,698	110,0	8,698	182,6	2,950									

Pann. N°	Camp. N°	Ascissa		Ascissa		Lungh. Pannello [m]	Ala superiore		Ala inferiore		Anima		Tipo sezione	s,cr.id s,id	coeff. limite b x v	Cond. Comb.	Pos. sez. car. mob.	Sollecitazioni			
		Iniziale [m]	Sez. N°	Finale [m]	Sez. N°		b3 [cm]	t3 [cm]	b1 [cm]	t1 [cm]	b2 [cm]	t2 [cm]						N ver.	M [kNm]	T [kN]	
66	8	362,24	210	367,80	214	5,56	90,0	3,000	110,0	4,000	193,0	2,000	eff.	3,207	1,500	1	V max	DX	1810	7470	-1021
67	8	367,80	214	373,36	217	5,56	90,0	3,000	110,0	4,000	193,0	2,000	eff.	2,667	1,500	1	V max	DX	705	5018	-1722
68	8	373,36	217	378,92	220	5,56	90,0	3,000	110,0	4,000	193,0	2,000	eff.	1,642	1,500	1	V max	DX	-1630	566	-2457
69	8	378,92	220	384,48	223	5,56	90,0	5,417	110,0	5,612	189,0	2,403	med.	1,970	1,500	1	V max	DX	-1681	-13077	-3246
70	8	384,48	223	390,00	226	5,52	90,0	8,717	110,0	8,717	182,6	2,953	med.	1,716	1,500	1	V max	DX	-3262	-28733	-4064
71	9	390,00	227	395,71	230	5,71	90,0	8,627	110,0	8,627	182,7	2,938	med.	1,661	1,500	1	V min	SX	-3368	-29155	4205
72	9	395,71	230	401,42	233	5,71	90,0	5,254	110,0	5,503	189,2	2,376	med.	1,924	1,500	1	V min	SX	-1664	-12455	3340
73	9	401,42	233	407,13	236	5,71	90,0	3,000	110,0	4,000	193,0	2,000	eff.	1,738	1,500	1	V min	SX	-1537	1709	2514
74	9	407,13	236	412,84	240	5,71	90,0	3,000	110,0	4,000	193,0	2,000	eff.	2,508	1,500	1	V min	SX	725	6430	1745
75	9	412,84	240	418,55	243	5,71	90,0	3,000	110,0	4,000	193,0	2,000	eff.	2,704	1,500	1	V min	SX	1606	8917	1015
76	9	418,55	243	424,26	246	5,71	90,0	3,000	110,0	4,000	193,0	2,000	eff.	2,560	1,500	1	V max	DX	2816	8398	-1651
77	9	424,26	246	430,00	249	5,74	90,0	3,000	110,0	4,000	193,0	2,000	eff.	1,820	1,500	2	V max	DX	1259	1208	-2686

Tabella 4.3 - Verifica sintetica dei pannelli d'anima

4.3 Soletta

La soletta ha una larghezza complessiva di 13,50 m e spessore variabile da 25 cm in campata a 35 cm sugli appoggi in corrispondenza delle travi metalliche. Gli sbalzi, destro e sinistro, hanno lunghezza pari a 350 cm e l'interasse delle travi principali è di 650 cm. Il getto viene eseguito per tratti con l'utilizzo di casseri mobili seguendo uno schema di getto con sequenze ottimizzate che prevedono prima l'esecuzione dei conci in campata, poi quelli sugli appoggi.

4.3.1 Verifica di resistenza della soletta

Per il getto della soletta è previsto l'utilizzo di cls con R_{ck} 40 MPa e di acciaio tipo FeB44k; le caratteristiche meccaniche dei materiali sono le seguenti:

- cls R_{ck} 40: $\sigma_{c\text{ adm}} = 12,25 \text{ MPa}$
- acciaio Fe B 44K: $\sigma_{s\text{ adm}} = 255 \text{ MPa}$

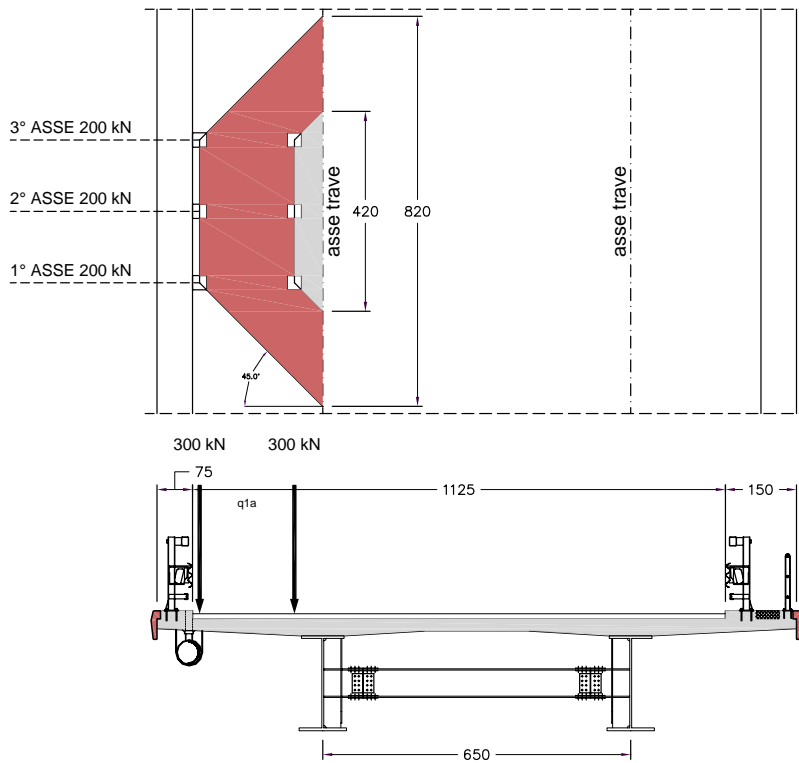
La verifica è condotta su una striscia di soletta di larghezza unitaria, avente schema statico di trave appoggiata sulle due travi metalliche, con due sbalzi laterali. Per i carichi da traffico è stata considerata:

- il carico $q_{1,a}$ posto a 15 cm di distanza dal cordolo, per il calcolo delle sollecitazioni sui due sbalzi;
- il carico $q_{1,a}$ posta a cavallo della mezzeria della soletta, per il calcolo delle sollecitazioni in campata.

Le sollecitazioni dei carichi permanenti sono riferite al metro lineare.

Le sollecitazioni dei carichi da traffico, trattandosi di carichi localizzati, sono state riportate al metro lineare diffondendo il carico a 45° fino all'appoggio. Il coefficiente di amplificazione dinamica per i carichi da traffico è pari ad 1,4.

Verifica dello sbalzo sinistro



----- MOMENTO FLETTENTE IN CORRISPONDENZA DELL'ASSE DELLA TRAVE SINISTRA -----
carichi mobili in posizione 2

Larghezza sbalzo SX [cm]	350
Peso di una fila di ruote del carico mobile q_{1a} [kN]	300
Coefficiente di amplificazione dinamica ϕ	1,4
Posizione della 1 ^a fila di ruote [cm]	260
Lunghezza di diffusione del carico [cm]	820
Posizione della 2 ^a fila di ruote [cm]	60
Lunghezza di diffusione del carico [cm]	420
 MOMENTO dovuto al peso della soletta [kNm/m]	-39,39 +
MOMENTO dovuto al peso della pavimentazione [kNm/m]	-8,32 +
MOMENTO dovuto al peso del cordolo/marciapiede [kNm/m]	-9,96 +
MOMENTO dovuto al peso veletta [kNm/m]	-6,30 +
MOMENTO dovuto al peso della canaletta smaltimento acque [kNm/m]	-1,75 +
MOMENTO dovuto al peso del parapetto [kNm/m]	0,00 +
MOMENTO peso della barriera anti-rumore [kNm/m]	0,00 +
MOMENTO dovuto al peso della rete di protezione [kNm/m]	0,00 +
MOMENTO dovuto al peso sicurvia [kNm/m]	-3,15 +
MOMENTO dovuto alla 1 ^a fila di ruote [kNm/m]	-133,17 +
MOMENTO dovuto alla 2 ^a fila di ruote [kNm/m]	-60,00 =
MOMENTO di progetto [kNm/m]	-262,04

---- TAGLIO IN CORRISPONDENZA DELL'ASSE DELLA TRAVE SINISTRA ----
carichi mobili in posizione 2

TAGLIO dovuto al peso della soletta [kN/m]	-24,91	+
TAGLIO dovuto al peso della pavimentazione [kN/m]	-6,05	+
TAGLIO dovuto al peso del cordolo/marciapiede [kN/m]	-3,19	+
TAGLIO dovuto al peso veletta [kN/m]	-1,80	+
TAGLIO dovuto al peso della canaletta smaltimento acque [kN/m]	-0,50	+
TAGLIO dovuto al peso del parapetto [kN/m]	0,00	+
TAGLIO dovuto peso della barriera anti-rumore [kN/m]	0,00	+
TAGLIO dovuto al peso della rete di protezione [kN/m]	0,00	+
TAGLIO dovuto al peso sicurvia [kN/m]	-1,00	+
TAGLIO dovuto alla 1° fila di ruote [kN/m]	-51,22	+
TAGLIO dovuto alla 2° fila di ruote [kN/m]	-100,00	=
TAGLIO di progetto [kN/m]	-188,66	

Considerando un'armatura superiore di 5φ20 + 5φ26 al metro (area 42,26 cm²), una inferiore di 5φ20 al metro (area 15,71 cm²) si ha la seguente verifica di resistenza della sezione 100 × 35:

```
+-----+
| Viadotto Santuzza II
| Progetto Soletta
| Sezione: ATTACCO SBALZO SINISTRO
+-----+
```

METODO DI CALCOLO: Tensioni Ammissibili;

MATERIALI:

Resistenza caratteristica cubica cls: Rck = 400.00 Kg/cm²
 Tipo acciaio: Fe B 44 k
 Coefficiente di omogeneizzazione Ea/Ec: n = 15.00
 Tensione ammissibile cls: sigma_c amm. = 122.00 Kg/cm²
 Tens. amm. per compres. semplice: sigma_c rid = 85.40 ''
 Tensione ammissibile acciaio: sigma_f amm. = 2600.00 ''

FORMA DELLA SEZIONE: RETTANGOLARE

Base: B = 100.00 cm; Altezza: H = 35.00 cm

Rotazione: rot = 0.00 gradi sess.

Area totale acciaio: Af = 57.96 ''
 Copriferro: c = 3.00 cm

GEOMETRIA DELLE MASSE SEZIONE IN CALCESTRUZZO:

Area: Acls = 3500.00 cm²; Baricentro: XgCls = 0.00 cm; YgCls = 0.00 cm
 Momenti d'inerzia: Jx = 357291.67 cm⁴; Jy = 2916666.67 cm⁴
 Momenti principali d'inerzia: Jcsi = 2916666.67 cm⁴; Jeta = 357291.67 cm⁴
 Angolo tra l'asse principale d'inerzia csi e l'asse x: Theta = -1.57 rad;

COMBINAZIONI DI CARICO:

Azione normale (positiva se di compressione).

Azioni rispetto x e y baricent. paralleli agli assi x e y (unità' Kg, Kg*m).

Combinazioni:

comb.	N	Mx	Tx	My	Ty	Mt
1	0.00	-26200.00	0.00	0.00	18800.00	0.00

VERIFICA PRESSO-TENSOFLESSIONE (comb. di carico N.ro 1):
 Area sezione reagente: Ar = 2202.09 cmq
 Mom. statici della sez. reagente (cm³) : Sx = -9184.10, Sy = -1124.55
 Mom. d'inerzia sezione reagente (cm⁴)...: Jx=331476.98 , Jy=1983417.35
 : Jxy=-6380.56
 Baricentro sezione reagente Br: Xgr = -0.51 cm; Ygr = -4.17 cm
 Equaz. asse neutro ax+by+c=0 : a=-0.049906; b=-8.938574; c=-37.305022

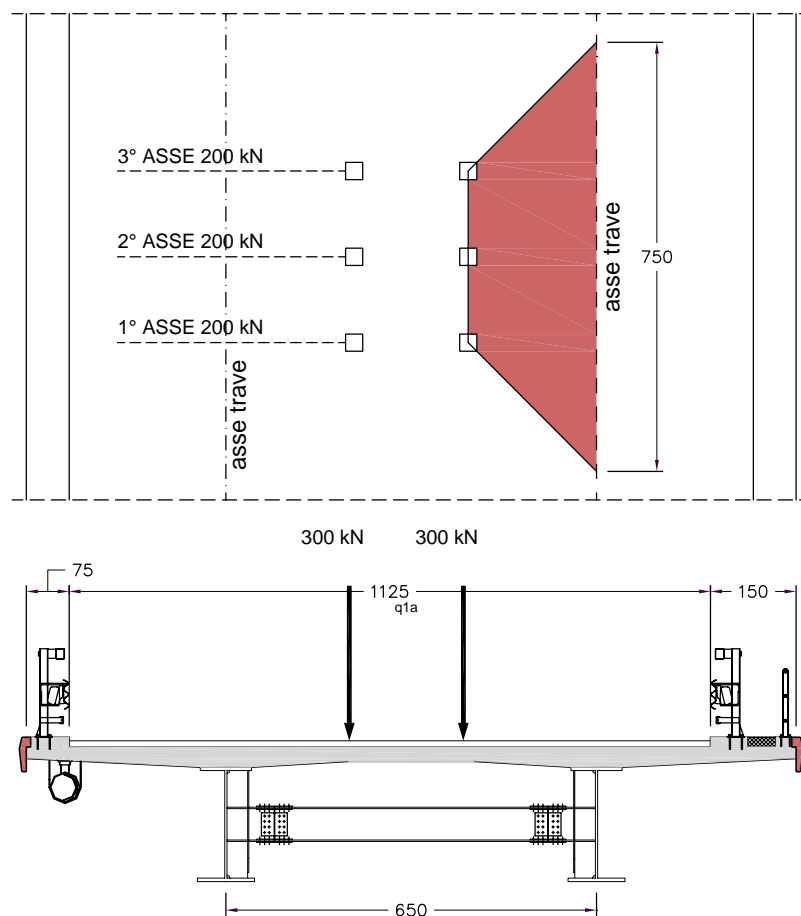
Tensioni (segno positivo se di compressione). Sezione parzializzata
 Tensione massima cls: sigma_c = 121.615 Kg/cmq
 Tensione minima acciaio: sigma_f = -2387.969 ''
 Tensione massima acciaio: sigma_f'= 1284.921 ''
 Valori tutti inferiori a quelli ammissibili: VERIFICA POSITIVA

VERIFICHE TAGLIO

Comb. N.ro: 1; TauMax=Taglio*Sn_TauMax/(Jn*c_TauMax)=7.264 Kg/cmq
 Taglio=18799.71 Kg; Sn_TauMax=11325.13 cm³; corda=c_TauMax=100.00 cm
 Jb=293102.49 cm⁴; Sn_baric=11325.13 cm³; h*=Jb/Sn_baric=25.88 cm;
 b* =c_TauMax*TauMax/TauC0=99.05 cm
 Comb. N.ro: 1; Scorr=72639.81 Kg/m; corda=100.00 cm; tgFi=1.000
 TauMax < Tauc1=21.143 Kg/cmq: VERIFICA POSITIVA
 TauMax=7.264 < Tauc0=7.333 Kg non è necessaria apposita armatura a taglio

ooooooooooooooooooooooo LE VERIFICHE SONO TUTTE POSITIVE oooooooooooooooo

Verifica campata



---- MOMENTO FLETTENTE IN CORRISPONDENZA DELLA MEZZERIA DELLA SOLETTA ----		
carichi mobili in posizione 3		
Peso di una fila di ruote del carico mobile q_{1a} [kN]	300	
Coefficiente di amplificazione dinamica ϕ	1,4	
Posizione fila di ruote [cm]	100	
Lunghezza di diffusione del carico [cm]	750	
 MOMENTO dovuto al peso della soletta [kNm/m]	-161,06	+
MOMENTO dovuto al peso della pavimentazione [kNm/m]	-30,32	+
MOMENTO dovuto al peso del cordolo/marciapiede [kNm/m]	-38,25	+
MOMENTO dovuto al peso veletta [kNm/m]	-12,15	+
MOMENTO dovuto al peso della canaletta smaltimento acque [kNm/m] ...	0,00	+
MOMENTO dovuto al peso del parapetto [kNm/m]	-3,28	+
MOMENTO dovuto peso della barriera anti-rumore [kNm/m]	0,00	+
MOMENTO dovuto al peso della rete di protezione [kNm/m]	0,00	+
MOMENTO dovuto al peso sicurvia [kNm/m]	-5,65	+
MOMENTO dovuto ad una fila di ruote [kNm/m]	-56,00	+
MOMENTO dovuto alla reazione vincolare della trave destra	409,11	=
 MOMENTO di progetto [kNm/m]	102,41	

n.b.

Momento f. positivo tende le fibre inferiori

Momento f. negativo tende le fibre superiori

---- TAGLIO IN CORRISPONDENZA DELLA MEZZERIA DELLA SOLETTA ----		
carichi mobili in posizione 3		
TAGLIO dovuto al peso della soletta [kN/m]	48,22	+
TAGLIO dovuto al peso della pavimentazione [kN/m]	11,55	+
TAGLIO dovuto al peso del cordolo/marciapiede [kN/m]	6,38	+
TAGLIO dovuto al peso veletta [kN/m]	1,80	+
TAGLIO dovuto al peso della canaletta smaltimento acque [kN/m]	0,00	+
TAGLIO dovuto al peso del parapetto [kN/m]	0,50	+
TAGLIO dovuto peso della barriera anti-rumore [kN/m]	0,00	+
TAGLIO dovuto al peso della rete di protezione [kN/m]	0,00	+
TAGLIO dovuto al peso sicurvia [kN/m]	1,00	+
TAGLIO dovuto alla 1° fila di ruote [kN/m]	56,00	+
TAGLIO dovuto alla reazione vincolare della trave destra [kN/m].....	-125,88	=
 TAGLIO di progetto [kN/m]	-0,44	

Considerando un'armatura superiore di 5Ø20 al metro (area 15,71 cm²) e inferiore di 5Ø20 + 2,5Ø26 al metro (area 28,98 cm²) si ha la seguente verifica di resistenza della sezione 120 × 25:

+-----+ Viadotto Santuzza II Progetto Soletta Sezione: CAMPATA +-----+
--

METODO DI CALCOLO: Tensioni Ammissibili;

MATERIALI:

Resistenza caratteristica cubica cls: Rck = 400.00 Kg/cm²
 Tipo acciaio: Fe B 44 k
 Coefficiente di omogeneizzazione Ea/Ec: n = 15.00
 Tensione ammissibile cls: sigma_c amm. = 122.00 Kg/cm²
 Tens. amm. per compres. semplice: sigma_c rid = 85.40 ''
 Tensione ammissibile acciaio: sigma_f amm. = 2600.00 ''

FORMA DELLA SEZIONE: RETTANGOLARE
 Base: B = 120.00 cm; Altezza: H = 25.00 cm
 Rotazione: rot = 0.00 gradi sess.
 Area totale acciaio: Af = 53.63 ''
 Copriferro: c = 3.00 cm

GEOMETRIA DELLE MASSE SEZIONE IN CALCESTRUZZO:
 Area: Acls = 3000.00 cm²; Baricentro: XgCls = 0.00 cm; YgCls = 0.00 cm
 Momenti d'inerzia: Jx = 156250.00 cm⁴; Jy = 3600000.00 cm⁴; Jxy = 0.00 cm⁴
 Momenti principali d'inerzia: Jcsi = 3600000.00 cm⁴; Jeta = 156250.00 cm⁴
 Angolo tra l'asse principale d'inerzia csi e l'asse x: Theta = -1.57 rad;

COMBINAZIONI DI CARICO:
 Azione normale (positiva se di compressione).
 Azioni rispetto x e y baricentri paralleli agli assi x e y (unità Kg, Kg*m).

Combinazioni:	N	Mx	Tx	My	Ty	Mt
comb.						
1	0.00	10200.00	0.00	0.00	0.00	0.00

VERIFICA PRESSO-TENSOFLESSIONE (comb. di carico N.ro 1):
 Area sezione reagente: Ar = 1883.53 cm²
 Mom. statici della sez. reagente (cm³) : Sx = 6606.12, Sy = 0.00
 Mom. d'inerzia sezione reagente (cm⁴) : Jx=134517.47, Jy=2442196.52
 Baricentro sezione reagente Br: Xgr = 0.00 cm; Ygr = 3.51 cm
 Equaz. asse neutro ax+by+c=0 : a=0.000000; b=9.160492; c=-32.128721

Tensioni (segno positivo se di compressione). Sezione parzializzata
 Tensione massima cls: sigma_c = 82.377 Kg/cm²
 Tensione minima acciaio: sigma_f = -1649.894 ''
 Tensione massima acciaio: sigma_f' = 686.032 ''
 Valori tutti inferiori a quelli ammissibili: VERIFICA POSITIVA

4.3.2 Verifica a fessurazione della soletta

Nel presente capitolo si riportano le verifiche a fessurazione per la soletta in c.a. effettuate in direzione longitudinale e trasversale in accordo con le normative:

- D.M. 4-5-1990 Norme tecniche per i ponti stradali
- CNR 10016/85 Travi composte in acciaio calcestruzzo
- D.M. 9-01-1996 Norme tecniche per il calcolo delle strutture in c.a.
- Circolare Ministeriale 15-10-96 n. 252

Il valore caratteristico di apertura delle fessure nell'area di efficacia delle armature non deve superare i seguenti limiti:

- $w_k = 0,2 \text{ mm}$ per la combinazione di carico FII;
- $w_k = 0,1 \text{ mm}$ per la combinazione di carico FIII.

Il valore caratteristico è dato da:

$$w_k = 1,7 w_m$$

in cui w_m , che rappresenta il valor medio dell'apertura calcolata in base alla deformazione media ε_{am} del tratto s_{rm} pari alla distanza media fra le fessure vale:

$$w_m = 1,7 \varepsilon_{am} s_{rm}.$$

La distanza media fra le fessure può essere calcolata attraverso l'espressione:

$$s_{rm} = 2 \left(c + \frac{s}{10} \right) + k_2 k_3 \frac{\phi}{\rho_t}$$

nella quale:

- c è il ricoprimento dell'armatura;
- s è la distanza fra le barre;
- ϕ il diametro delle barre;
- k_2 è il coefficiente che caratterizza l'aderenza del calcestruzzo alle barre che vale 0,4 nel caso di barre ad aderenza migliorata;
- k_3 è il coefficiente della forma del diagramma delle tensioni prima della fessurazione, da assumersi pari a 0,125 nel caso in cui l'asse neutro sia interno alla soletta, $0,125(1+\sigma_1/\sigma_2)$ nel caso in cui l'asse neutro sia esterno, essendo σ_1 e σ_2 le tensioni nominali ai lembi estremi della soletta;
- ρ_t è il rapporto A_a/A_{cef} ;
- A_{cef} è l'area di calcestruzzo entro la quale la barre di acciaio possono effettivamente influenzare l'apertura delle fessure;
- A_a è l'area di acciaio contenuta nell'area A_{cef} .

La deformazione unitaria media ε_{am} può valutarsi invece con la formula:

$$\varepsilon_{am} = \frac{\sigma_o}{E_a} \left[1 - \beta_1 \beta_2 \left(\frac{\sigma_{ar}}{\sigma_0} \right)^2 \right] \quad (\varepsilon_{am} \geq 0,4 \frac{\sigma_o}{E_a})$$

essendo:

- σ_0 la tensione nell'acciaio calcolata nella sezione fessurata per la combinazione di carico considerata, tenuto conto del ritiro;
- σ_{ar} la tensione nell'acciaio calcolata nella sezione fessurata per la sollecitazione corrispondente al raggiungimento della resistenza a trazione f_{ctm} nella fibra di

calcestruzzo più sollecitata in sezione interamente reagente, compresa nell'area efficace;

- β_1 il coefficiente rappresentativo dell'aderenza acciaio calcestruzzo che assume il valore unitario nel caso di barre ad aderenza migliorata;
- β_2 il coefficiente che tiene conto delle condizioni di sollecitazione: 1,0 nel caso di prima applicazione di un'azione di breve durata, 0,5 nel caso di azioni di lunga durata o nel caso di azioni ripetute.

Verifica in direzione longitudinale

La verifica a fessurazione della soletta in direzione longitudinale è stata condotta per le sezioni soggette a momento negativo nelle zone a cavallo degli appoggi interni.

Nella tabella seguente è riportato in dettaglio il calcolo effettuato per la sezione maggiormente sollecitata.

Combinazione FII

Verifica a fessurazione secondo CNR 10016/85 e DM 04/05/90			
	Sezione n.	81	Ascissa (m)
		190	
Combinazione di carico (DM 04/05/90)		F II	
Luce campata		50	m
Coefficienti ψ_1	ψ_1	0,59	
Coefficienti ψ_2	ψ_2	0,39	
Valore limite di apertura fessure $w_{j\text{limite}}$	$w_{j\text{limite}}$	0,3	mm
Ricoprimento armatura c	c	6,3	cm
Diametro barre ϕ	ϕ	26	mm
Interasse barre s	s	20	cm
Larghezza efficace b_{c_ef}	b_{c_ef}	20	cm
Larghezza efficace d_{c_ef}	d_{c_ef}	13,8	cm
Tipo di barre		am	
Coefficiente k_2	k_2	0,4	
Tensione σ_1	σ_1	54,28	kg/cm ²
Tensione σ_2	σ_2	42,27	kg/cm ²
Coefficiente k_3	k_3	0,22	
Area efficace A_{c_ef}	A_{c_ef}	276	cm ²
Area acciaio A_a	A_a	5,31	cm ²
Coefficiente ρ_t	ρ_t	0,02	
Distanza media tra le fessure s_{rm}	s_{rm}	28,62	cm
Tensione σ_0	σ_0	898,6	kg/cm ²
Tensione di trazione media nel cls f_{cfm}	f_{cfm}	37,78	kg/cm ²
Coefficiente β_1	β_1	1	
Coefficiente β_2	β_2	0,5	
Tensione σ_{ar}	σ_{ar}	752,2	kg/cm ²
Deformazione media unitaria ε_{am}	ε_{am}	0,00028	
Distanza media tra le fessure w_m	w_m	0,080	mm
Distanza caratteristica di apertura delle fessure w_k	w_k	0,135	mm
Esito della verifica	Verificato		

Combinazione FIII

Verifica a fessurazione secondo CNR 10016/85 e DM 04/05/90			
Sezione n.	81	Ascissa (m)	190
Combinazione di carico (DM 04/05/90)		F III	
Luce campata		50	m
Coefficienti ψ_1	ψ_1	0,59	
Coefficienti ψ_2	ψ_2	0,39	
Valore limite di apertura fessure w_{limite}	w_{limite}	0,15	mm
<hr/>			
Ricoprimento armatura c	c	6,3	cm
Diametro barre ϕ	ϕ	26	mm
Interasse barre s	s	20	cm
Larghezza efficace b_{c_ef}	b_{c_ef}	20	cm
Larghezza efficace d_{c_ef}	d_{c_ef}	13,8	cm
Tipo di barre		am	
Coefficiente k_2	k_2	0,4	
Tensione σ_1	σ_1	46,22	kg/cm ²
Tensione σ_2	σ_2	37,62	kg/cm ²
Coefficiente k_3	k_3	0,23	
Area efficace A_{c_ef}	A_{c_ef}	276	cm ²
Area acciaio A_a	A_a	5,31	cm ²
Coefficiente ρ_t	ρ_t	0,02	
Distanza media tra le fessure s_{rm}	s_{rm}	28,86	cm
<hr/>			
Tensione σ_0	σ_0	738,1	kg/cm ²
Tensione di trazione media nel cls f_{cfm}	f_{cfm}	37,78	kg/cm ²
Coefficiente β_1	β_1	1	
Coefficiente β_2	β_2	0,5	
Tensione σ_{ar}	σ_{ar}	752,2	kg/cm ²
Deformazione media unitaria ε_{am}	ε_{am}	0,00017	
Distanza media tra le fessure w_m	w_m	0,049	mm
Distanza caratteristica di apertura delle fessure w_k	w_k	0,083	mm
<hr/>			
Esito della verifica	Verificato		

Verifica in direzione trasversale

La verifica a fessurazione della soletta in direzione trasversale è stata effettuata per la zona di appoggio sulle travi metalliche. I carichi considerati sono: il peso della soletta, i carichi permanenti ed i carichi mobili. Nelle tabelle seguenti sono riportate in dettaglio le verifiche relative agli sbalzi, nel caso in cui il carico accidentale q_{la} sia posizionato in modo tale da massimizzare il momento flettente.

Combinazione FII

GEOMETRIA DELLA SEZIONE E CARATTERISTICHE MATERIALI

Calcestruzzo Rck [daNcm ⁻²]	400
Tipo acciaio	FeB44k
Modulo elastico acciaio [daNcm ⁻²]	2100000
Tensione ammissibile cls σ_{camm} [daNcm ⁻²]	122,5
Resistenza a trazione del cls per flessione f_{ckf} [daNcm ⁻²]	26,53
Resistenza media a trazione del cls f_{ctm} [daNcm ⁻²]	31,58
Tensione ammissibile acciaio σ_{samm} [daNcm ⁻²]	2600
Altezza della sezione h [cm]	35
Larghezza della sezione b [cm]	100
Spaziatura verticale delle barre S [cm]	0,30
Spaziatura orizzontale delle barre s [cm]	10,00
Ricoprimento dell'armatura c [cm]	3,00

SOLLECITAZIONI DI PROGETTO

Forza assiale di progetto [daN]	0
Momento flettente di progetto [daN]	26200

CALCOLO DISTANZA MEDIA FRA LE FESSURE

Coefficiente k2	0,4
Coefficiente k3	0,125
Altezza efficace deff [cm]	8,15
Larghezza efficace beff [cm]	100,00
Area efficace $A_{c,eff}$ [cm ²]	814,85
Area delle barre contenute in $A_{c,eff}$, A_s [cm ²]	42,25
Coefficiente ρ_r	0,052
Distanza media fra le fessure srm [cm]	10,24

DEFORMAZIONE MEDIA DELL'ARMATURA

Tensione σ_s [daNcm ⁻²]	2375,30
Tensione σ_r [daNcm ⁻²]	889,32
Coefficiente β_1	1
Coefficiente β_2	0,5
Deformazione unitaria media ϵ_{sm}	1,05E-03

CALCOLO AMPIEZZA FESSURE

Aampiezza delle fessure wk [mm]	0,183
Coefficiente di riduzione	0,67
Aampiezza delle fessure ridotta wrid [mm]	0,122
Aampiezza massima ammissibile w [mm]	0,200

Combinazione FIII

GEOMETRIA DELLA SEZIONE E CARATTERISTICHE MATERIALI

Calcestruzzo Rck [daNcm ⁻²]	400
Tipo acciaio	FeB44k
Modulo elastico acciaio [daNcm ⁻²]	2100000
Tensione ammissibile cls σ_{camm} [daNcm ⁻²]	122,5
Resistenza a trazione del cls per flessione f_{cfk} [daNcm ⁻²]	26,53
Resistenza media a trazione del cls f_{ctm} [daNcm ⁻²]	31,58
Tensione ammissibile acciaio σ_{samm} [daNcm ⁻²]	2600
Altezza della sezione h [cm]	35
Larghezza della sezione b [cm]	100
Spaziatura verticale delle barre S [cm]	0,30
Spaziatura orizzontale delle barre s [cm]	10,00
Ricoprimento dell'armatura c [cm]	3,00

SOLLECITAZIONI DI PROGETTO

Forza assiale di progetto [daN]	0
Momento flettente di progetto [daN]	20400

CALCOLO DISTANZA MEDIA FRA LE FESSURE

Coefficiente k2	0,4
Coefficiente k3	0,125
Altezza efficace deff [cm]	8,15
Larghezza efficace beff [cm]	100,00
Area efficace $A_{c,eff}$ [cm ²]	814,85
Area delle barre contenute in $A_{c,eff}$, A_s [cm ²]	42,25
Coefficiente ρ_r	0,052
Distanza media fra le fessure srm [cm]	10,24

DEFORMAZIONE MEDIA DELL'ARMATURA

Tensione σ_s [daNcm ⁻²]	1849,47
Tensione σ_r [daNcm ⁻²]	889,32
Coefficiente β_1	1
Coefficiente β_2	0,5
Deformazione unitaria media ϵ_{sm}	7,79E-04

CALCOLO AMPIEZZA FESSURE

Aampiezza delle fessure wk [mm]	0,136
Coefficiente di riduzione	0,67
Aampiezza delle fessure ridotta wrid [mm]	0,090
Aampiezza massima ammissibile w [mm]	0,100

PARTE II: - APPOGGI, GIUNTI E RITEGNI SISMICI -

1 Dimensionamento degli appoggi

Nelle tabelle seguenti è riportato il dettaglio delle reazioni verticali per ogni singolo appoggio ed il calcolo dell'azione sismica in direzione trasversale; con queste azioni è stata dimensionata la capacità orizzontale e verticale di ogni appoggio in PTFE (fissi, unidirezionali e multidirezionali), come riportato anche nelle tavole progettuali. Nella determinazione delle reazioni verticali degli appoggi verranno considerate due condizioni di carico:

- 1) P.p. acciaio + p.p. soletta + permanenti + ritiro + vento + ΔT_{neg} + carichi mobili;
- 2) P.p. acciaio + p.p. soletta + permanenti + vento + ΔT_{pos} + carichi mobili.

Tipo Struttura	N°	Peso Proprio Carp.	Soletta	Carichi Permanent i	Ritiro	Vento	Δt Negativa	Δt Positiva	Cedimenti	Carichi Mobili Max (q1)	Luce Campata (m)	Coeff. Dinamico	Carichi Mobili (q1+q2)
Spalla FISSA	A	156	669	281	-86	85	-34	68	0	1338	40,0	1,20	1606
Pila	1	781	2476	973	105	287	41	-81	0	2678	40,0	1,20	3214
Pila	2	766	2398	966	-24	287	-9	17	0	2819	50,0	1,13	3185
Pila	3	769	2415	965	7	286	2	-5	0	2861	50,0	1,13	3233
Pila	4	769	2410	965	-1	287	0	1	0	2874	50,0	1,13	3248
Pila	5	769	2410	965	-1	287	0	1	0	2874	50,0	1,13	3248
Pila	6	769	2415	965	7	286	2	-5	0	2861	50,0	1,13	3233
Pila	7	766	2398	966	-24	287	-9	17	0	2819	50,0	1,13	3185
Pila	8	781	2476	973	105	287	41	-81	0	2678	40,0	1,20	3214
Spalla	B	156	669	281	-86	85	-34	68	0	1338	40,0	1,20	1606

Comb. 1	Comb. 2	% di aumento	V (kN)
2676	2864	10%	3500
7876	7648	0%	8000
7570	7620	0%	8000
7678	7664	0%	8000
7676	7679	0%	8000
7676	7679	0%	8000
7678	7664	0%	8000
7570	7620	0%	8000
7876	7648	0%	8000
2676	2864	10%	3500

Tabella 1.1- Reazioni (Rv) e capacità verticale (V) appoggi

Tipo Struttura	N°	Peso Impalcato (kN)	Coeff. Sismico	Azione orizz. (kN)	% di aumento	HT (kN)	COEFFICIENTI SISMICI	
Spalla FISSA	A	2211	0,12	265	15%	400		
Pila	1	8459	0,12	1015	0%	1100		
Pila	2	8260	0,12	991	10%	1100		
Pila	3	8299	0,12	996	10%	1100		
Pila	4	8287	0,12	994	10%	1100		
Pila	5	8287	0,12	994	10%	1100		
Pila	6	8299	0,12	996	10%	1100		
Pila	7	8260	0,12	991	10%	1100		
Pila	8	8459	0,12	1015	0%	1100		
Spalla	B	2211	0,12	265	15%	400		

Tabella 1.2 – Calcolo della capacità trasversale degli appoggi

TRAVE SINISTRA					TRAVE DESTRA								
V (kN)	HL (kN)	HT (kN)	SL (mm)	ST (mm)	Tipo Struttura	N°	Progressiva Asse appoggi	Luce (*) Campata	V (kN)	HL (kN)	HT (kN)	SL (mm)	ST (mm)
3500	-	400	± 130	-	Spalla FISSA	A	0,00		3500	-	-	± 130	± 15
8000	-	1100	± 130	-	Pila	1	40,00	40,00	8000	-	-	± 130	± 15
8000	-	1100	± 130	-	Pila	2	90,00	50,00	8000	-	-	± 130	± 15
8000	-	1100	± 130	-	Pila	3	140,00	50,00	8000	-	-	± 130	± 15
8000	-	1100	± 160	-	Pila	4	190,00	50,00	8000	-	-	± 160	± 15
8000	-	1100	± 180	-	Pila	5	240,00	50,00	8000	-	-	± 180	± 15
8000	-	1100	± 210	-	Pila	6	290,00	50,00	8000	-	-	± 210	± 15
8000	-	1100	± 230	-	Pila	7	340,00	50,00	8000	-	-	± 230	± 15
8000	-	1100	± 260	-	Pila	8	390,00	50,00	8000	-	-	± 260	± 15
3500	-	400	± 280	-	Spalla	B	430,00	40,00	3500	-	-	± 280	± 15

TABELLA CARICHI E SCORRIMENTI APPOGGI CARREGGIATA DESTRA

Tabella 1.3 Riassunto dei carichi e degli scorrimenti di progetto degli appoggi

2 Ritegni sismici

L'azione sismica longitudinale del viadotto è riportata alla spalla SB mediante dispositivi di ritegno elastico. La forza sul ritegno è stata calcolata schematizzando il viadotto come un oscillatore semplice in cui la massa è rappresentata dall'impalcato e la molla dal ritegno elastico.

Per determinare la forza sismica longitudinale da affidare al ritegno è stato calcolato il periodo proprio di oscillazione mediante la formula $t = 2\pi \cdot \sqrt{\frac{m}{k}}$.

Nella tabella seguente viene riportato il calcolo della forza sismica longitudinale da affidare ad ogni ritegno e il relativo spostamento:

CALCOLO RITEGNI SISMICI VIADOTTO: VIADOTTO 9 (C DX)		
Peso Viadotto	71032	(kN)
Massa	7241	
N° Ritegni	2	
Periodo	1,782	sec
COEFFICIENTI SISMICI		
Categoria zona sismica	3°	
Grado di sismicità S =	6	
Coefficiente di intensità C =	0,04	
Coefficiente di fondazione ε =	1,2	
Coefficiente di protezione I =	1	
Coefficiente di struttura β =	2,5	
Coefficiente di risposta R =	0,586	
Coeff. Sismico totale C • ε • I • β • R =	0,070	
Azione su un ritegno	2500	(kN)
Spostamento	± 60	(mm)

Tabella 2.1 – Calcolo dell'azione agente su un ritegno sismico

3 Giunti di dilatazione

I giunti di dilatazione in gomma armata sono dimensionati considerando, a favore di sicurezza, una variazione termica di ± 40 °C sull'intero impalcato. Con tale valore si intendono inglobati anche gli effetti del ritiro della soletta in calcestruzzo.

L'escursione del giunto sulla spalla SA è stata dimensionata in modo tale da consentire lo spostamento elastico del viadotto sotto l'effetto del sisma.

L'escursione del giunto sulla spalla SB è stata dimensionata in modo tale da consentire lo spostamento elastico del viadotto sotto l'effetto del sisma + una variazione termica di ± 40 °C.

Le caratteristiche geometriche dei giunti adottati sono riportate nelle tavole di progetto.

APPENDICE 1: Sollecitazioni di Calcolo dell’Impalcato

		Carichi mobili + Effetto dinamico												Ritiro: effetti isostatici												Ritiro: eff. iper.												Var.Term.Pos.:eff.iso											
Sez.	Ascissa	Sez.	Acc. + Soletta	Car. Permanent	Tmin	Tmax	Mmin	Mmax	Azione del Vento	Soletta	Strutt.	Composta	Strutt.	Composta	Soletta	Strutt.	Composta	Strutt.	Composta	Soletta	Strutt.	Composta	Strutt.	Composta	Soletta	Strutt.	Composta	Strutt.	Composta	Soletta	Strutt.	Composta	Strutt.	Composta	Soletta	Strutt.	Composta	Strutt.	Composta	Soletta	Strutt.	Composta	Strutt.	Composta					
N°	[m]	Tipo	T [kN]	M [kNm]	T [kN]	M [kNm]	T [kN]	M [kNm]	T [kN]	M [kNm]	T [kN]	M [kNm]	T [kN]	M [kNm]	T [kN]	M [kNm]	T [kN]	M [kNm]	N [kN]	M [kNm]	N [kN]	M [kNm]	N [kN]	M [kNm]	N [kN]	M [kNm]	N [kN]	M [kNm]	N [kN]	M [kNm]	N [kN]	M [kNm]	N [kN]	M [kNm]	N [kN]	M [kNm]	N [kN]	M [kNm]	N [kN]	M [kNm]	N [kN]	M [kNm]	N [kN]	M [kNm]					
1	0,00	1	824	0	281	0	1605	0	-232	0	0	0	85	0	4174	-4174	2726	-86	0	-6626	6626	-2174	68	0	3313	-3313	1087	-34	0	3313	-3313	1087	-34	0	3313	-3313	1087	-34	0	3313	-3313	1087	-34	0					
2	2,50	1	676	1875	233	643	1430	3575	-238	656	-232	-581	1072	3575	71	195	4174	-4174	2726	-86	-216	6626	6626	-2174	68	169	3313	-3313	1087	-34	-85	3313	-3313	1087	-34	-169													
3	5,00	1	528	3380	185	1165	1265	6327	-316	2176	-232	-1162	908	6327	57	354	4174	-4174	2726	-86	-432	6626	6626	-2174	68	338	3313	-3313	1087	-34	-254	3313	-3313	1087	-34	-254													
4	7,50	1	379	4514	137	1567	8337	398	3449	-232	-1742	487	8483	42	478	4174	-4174	2726	-86	-648	6626	6626	-2174	68	508	3313	-3313	1087	-34	-254	3313	-3313	1087	-34	-338														
5	10,00	1	231	5277	88	1848	969	9686	-481	4336	-232	-2323	690	10110	28	566	4174	-4174	2726	-86	-865	6626	6626	-2174	68	677	3313	-3313	1087	-34	-338	3313	-3313	1087	-34	-338													
6	12,50	1	83	5669	40	2009	836	10454	-571	4995	-232	-2904	178	11304	14	618	4174	-4174	2726	-86	-1081	6626	6626	-2174	68	846	3313	-3313	1087	-34	-423	3313	-3313	1087	-34	-423													
7	15,00	1	66	5690	-8	2048	715	10724	-669	5412	-232	-3485	25	12068	-1	634	4174	-4174	2726	-86	-1297	6626	6626	-2174	68	1015	3313	-3313	1087	-34	-508	3313	-3313	1087	-34	-508													
8	17,50	1	-214	5341	-56	1968	604	10574	-776	5529	-232	-4066	229	12409	-15	614	4174	-4174	2726	-86	-1513	6626	6626	-2174	68	1184	3313	-3313	1087	-34	-592	3313	-3313	1087	-34	-592													
9	20,00	1	-362	4621	-105	1766	504	10085	-890	5298	-232	-4647	76	12332	-29	558	4174	-4174	2726	-86	-1729	6626	6626	-2174	68	1354	3313	-3313	1087	-34	-677	3313	-3313	1087	-34	-677													
10	22,50	1	-510	3530	-153	1444	415	9335	-1011	4675	-232	-5228	-433	11847	-44	467	4174	-4174	2726	-86	-1945	6626	6626	-2174	68	1523	3313	-3313	1087	-34	-761	3313	-3313	1087	-34	-761													
11	25,00	1	-659	2069	-201	1001	336	8399	-1138	3623	-232	-5809	-584	10965	-58	340	4174	-4174	2726	-86	-2161	6626	6626	-2174	68	1692	3313	-3313	1087	-34	-846	3313	-3313	1087	-34	-846													
12	27,50	1	-807	237	-249	438	267	7344	-1271	2113	-232	-6390	-376	9696	-72	177	4174	-4174	2726	-86	-2377	6626	6626	-2174	68	1861	3313	-3313	1087	-34	-931	3313	-3313	1087	-34	-931													
13	30,00	1	-967	-1980	-298	-246	207	6220	-1409	119	-232	-6971	-524	8040	-87	22	4174	-4174	2726	-86	-2594	6626	6626	-2174	68	2031	3313	-3313	1087	-34	-1015	3313	-3313	1087	-34	-1015													
14	32,50	3	-1126	-4596	-346	-1050	156	5061	-1553	-2391	-306	-7566	-957	6007	-101	256	4174	-4174	2726	-86	-2810	6626	6626	-2174	68	2200	3313	-3313	1087	-34	-1100	3313	-3313	1087	-34	-1100													
15	35,00	3	-1303	-7632	-394	-1975	110	3837	-1700	-5417	-746	-8901	-308	4273	-115	527	4174	-4174	2726	-86	-3026	6626	6626	-2174	68	2369	3313	-3313	1087	-34	-1184	3313	-3313	1087	-34	-1184													
16	37,50	4	-1479	-11109	-442	-3021	71	2677	-1846	-8827	-118	-11239	-265	2946	-130	833	4174	-4174	2726	-86	-3242	6626	6626	-2174	68	2538	3313	-3313	1087	-34	-1269	3313	-3313	1087	-34	-1269													
17	40,00	4	-1655	-15027	-491	-4188	63	2505	-1991	-12566	-1434	-14442	63	2507	-144	1175	4174	-4174	2726	-86	-3458	6626	6626	-2174	68	2707	3313	-3313	1087	-34	-1354	3313	-3313	1087	-34	-1354													
18	40,00	4	1601	-15027	482	-4188	2005	-11885	-217	2368	1615	-13640	-217	2368	143	-1175	4174	-4174	2726	19	-3458	6626	6626	-2174	-14	2707	3313	-3313	1087	7	-1354	3313	-3313	1087	7	-1354													
19	42,50	4	1425	-11244	434	-3043	1868	-8068	-219	1904	1206	-10105	117	2349	128	-836	4174	-4174	2726	19	-3411	6626	6626	-2174	-14	2674	3313	-3313	1087	7	-1337	3313	-3313	1087	7	-1337													
20	45,00	3	1249	-7902	385	-2019	1730	-4559	-236	2823	904	-7466	78	3157	114	-533	4174	-4174	2726	19	-3364	6626	6626	-2174	-14	2640	3313	-3313	1087	7	-1320	3313	-3313	1087	7	-1320													
21	47,50	3	1072	-5001	337	-1116	1592	-1408	-277	3565	589	-5597	252	4122	100	-266	4174	-4174	2726	19	-3316	6626	6626	-2174	-14	2606	3313	-3313	1087	7	-1303	3313	-3313	1087	7	-1303													
22	50,00	1	913	-2520	289	-333	1457	1269	323	4259	284	-4510	755	5463	85	-35	4174	-4174	2726	19	-3269	6626	6626	-2174	-14	2572	3313	-3313	1087	7	-1286	3313	-3313	1087	7	-1286													
23	52,50	1	753	-438	241	329	1327	3469	-376	4934	-35	-4345	934	7360	71	160	4174	-4174	2726	19	-3222	6626	6626	-2174	-14	2538	3313	-3313	1087	7	-1269	3313	-3313	1087	7	-1269													
24	55,00	1	605	1259	192	1291	1081	6563	-505	6109	-35	-4519	315	10585	42	444	4174	-4174	2726	19	-3128	6626	6626	-2174	-14	2470	3313	-3313	1087	7	-1235	3313	-3313	1087	7	-1235													
25	57,50	1	456	2586	144	1291	1081	6563	-505	6109	-35	-4519	315	10585	42	444	4174	-4174	2726	19	-3127	6626	6626</																										

Sez.	Ascissa	Sez.	Carichi mobili + Effetto dinamico												Ritiro:effetti isostatici												Ritiro: eff.iper		Var.Term.Pos.:eff.iso		V.T.+ : eff.iper		Var.Term.Neg.:eff.iso		V.T.- : eff.iper	
			Acc. + Soletta				Car. Permanentni				Tmin		Tmax		Mmin		Mmax		Azione del Vento		Soletta		Strutt. Composta		Strutt. Composta		Soletta		Strutt. Composta		Strutt. Composta		Soletta		Strutt. Composta	
N°	[m]	Tipo	T [kN]	M [kNm]	T [kN]	M [kNm]	T [kN]	M [kNm]	T [kN]	M [kNm]	T [kN]	M [kNm]	T [kN]	M [kNm]	T [kN]	M [kNm]	N [kN]	M [kNm]	N [kN]	M [kNm]	N [kN]	M [kNm]	N [kN]	M [kNm]	N [kN]	M [kNm]	N [kN]	M [kNm]	N [kN]	M [kNm]	N [kN]	M [kNm]	N [kN]	M [kNm]		
91	215,00	1	0	4494	0	1822	811	7568	-811	7568	-31	-5693	-169	13495	0	592	4174	-4174	2726	0	-2713	-6626	6626	-2174	0	2166	3313	-3313	1087	0	-1083					
92	217,50	1	-148	4308	-48	1762	718	7674	-911	7185	-31	-5769	-311	13308	-14	574	4174	-4174	2726	0	-2713	-6626	6626	-2174	0	2166	3313	-3313	1087	0	-1083					
93	220,00	1	-297	3752	-97	1581	633	7548	-1018	6482	-31	-5846	-453	12750	-29	520	4174	-4174	2726	0	-2713	-6626	6626	-2174	0	2166	3313	-3313	1087	0	-1083					
94	222,50	1	-445	2825	-145	1280	555	7240	-1132	5420	-31	-5922	-595	11822	-43	431	4174	-4174	2726	0	-2713	-6626	6626	-2174	0	2166	3313	-3313	1087	0	-1083					
95	225,00	1	-593	1528	-193	857	486	6804	-1251	3965	-31	-5999	-398	10532	-57	305	4174	-4174	2726	0	-2713	-6626	6626	-2174	0	2166	3313	-3313	1087	0	-1083					
96	227,50	1	-742	-141	-241	315	425	6283	-1377	2092	-31	-6075	-539	8885	-72	144	4174	-4174	2726	0	-2713	-6626	6626	-2174	0	2166	3313	-3313	1087	0	-1083					
97	230,00	1	-901	-2194	-290	-349	371	5712	-1507	-229	-311	-6309	-736	7034	-86	-53	4174	-4174	2726	0	-2713	-6626	6626	-2174	0	2166	3313	-3313	1087	0	-1083					
98	232,50	3	-1061	-4646	-338	-1133	325	5117	-1642	-3029	-619	-7462	-230	5736	-100	-286	4174	-4174	2726	0	-2713	-6626	6626	-2174	0	2166	3313	-3313	1087	0	-1083					
99	235,00	3	-1237	-7518	-386	-2038	282	4464	-1780	-6308	-937	-9407	-390	4818	-115	-554	4174	-4174	2726	0	-2713	-6626	6626	-2174	0	2166	3313	-3313	1087	0	-1083					
100	237,50	4	-1413	-10831	-434	-3063	264	3596	-1918	-9948	-1249	-12142	-408	4093	-129	-859	4174	-4174	2726	0	-2713	-6626	6626	-2174	0	2166	3313	-3313	1087	0	-1083					
101	240,00	4	-1590	-14585	-483	-4209	262	4170	-2055	-13900	-1664	-15622	-237	4170	-143	-1199	4174	-4174	2726	0	-2713	-6626	6626	-2174	0	2166	3313	-3313	1087	0	-1083					
102	240,00	4	1589	-14585	483	-4209	2053	-13900	-259	4170	1526	-15622	-237	4170	143	-1199	4174	-4174	2726	0	-2713	-6626	6626	-2174	1	2166	3313	-3313	1087	0	-1083					
103	242,50	4	1412	-10834	434	-3063	1916	-9953	-261	3603	1247	-12148	73	4099	129	-858	4174	-4174	2726	-1	-2713	-6626	6626	-2174	1	2166	3313	-3313	1087	0	-1084					
104	245,00	3	1236	-7524	386	-2037	1778	-6318	-280	4476	935	-9418	392	4831	115	-554	4174	-4174	2726	-1	-2721	-6626	6626	-2174	1	2171	3313	-3313	1087	0	-1085					
105	247,50	3	1059	-4655	338	-1133	1639	-3044	-322	5136	617	-7478	570	5755	100	-285	4174	-4174	2726	-1	-2724	-6626	6626	-2174	1	2173	3313	-3313	1087	0	-1087					
106	250,00	1	900	-2206	290	-348	1505	-250	-369	5737	309	-6331	401	7059	86	-52	4174	-4174	2726	-1	-2728	-6626	6626	-2174	1	2175	3313	-3313	1087	0	-1088					
107	252,50	1	740	-156	241	315	1375	2065	-422	6314	35	-6090	535	8904	72	145	4174	-4174	2726	-1	-2732	-6626	6626	-2174	1	2178	3313	-3313	1087	0	-1089					
108	255,00	1	592	1510	193	858	1249	3934	-484	6841	35	-6003	394	10541	57	306	4174	-4174	2726	-1	-2735	-6626	6626	-2174	1	2180	3313	-3313	1087	0	-1090					
109	257,50	1	444	2804	145	1280	1130	5382	-553	7284	35	-5916	253	11822	43	431	4174	-4174	2726	-1	-2739	-6626	6626	-2174	1	2182	3313	-3313	1087	0	-1091					
110	260,00	1	295	3728	97	1582	1016	6439	-630	7597	35	-5829	449	12740	29	521	4174	-4174	2726	-1	-2742	-6626	6626	-2174	1	2185	3313	-3313	1087	0	-1092					
111	262,50	1	147	4281	48	1763	909	7137	-715	7229	35	-5742	-31	13289	14	575	4174	-4174	2726	-1	-2746	-6626	6626	-2174	1	2187	3313	-3313	1087	0	-1093					
112	265,00	1	-1																																	

APPENDICE 2: Modelli di Calcolo dell’Impalcato

Generalità

Nella presente appendice si riportano per esteso i listati di input, in formato SAP 2000, per i modelli di calcolo utilizzati:

- *Modello 1*: ottenuto considerando le proprietà inerziali delle sole travi metalliche ed utilizzato per la valutazione degli effetti indotti dal peso proprio della carpenteria metallica e della soletta;
- *Modello 2*: ottenuto considerando le proprietà inerziali ideali della sezione composta con soletta collaborante omogeneizzata all'acciaio mediante coefficiente 6. Il modello è utilizzato per la valutazione degli effetti indotti dalle azioni di breve durata (azione del vento, carichi mobili, variazioni termiche);
- *Modello 3*: ottenuto considerando le proprietà inerziali ideali della sezione mista con soletta collaborante omogeneizzata all'acciaio mediante coefficiente 20. Il modello è utilizzato per la valutazione degli effetti indotti dalle azioni di lunga durata (carichi permanenti, ritiro).

Nei modelli 2 e 3 si tiene conto della riduzione di rigidezza della sezione composta in prossimità degli appoggi interni per la fessurazione della soletta, trascurando il contributo inerziale del calcestruzzo su un tratto di lunghezza pari al 15 % delle luci delle due campate adiacenti e mettendo comunque in conto il contributo inerziale delle armature presenti entro la larghezza collaborante.

Nelle tabelle delle pagine successive tali modelli sono espressi con le seguenti sigle:

- ACC+CLS BT = sezione mista acciaio-calcestruzzo per azioni di breve termine;
- ACC+CLS LT = sezione mista acciaio-calcestruzzo per azioni di lungo termine;
- SOLO ACC = sezione con solo acciaio;
- ACC+ARM = sezione con acciaio ed armature metalliche (per le sezioni d'appoggio).

DESCRIZIONE DEL MODELLO: Viadotto Santuzza II

modello con le proprietà geometriche della sola sezione in acciaio

SYSTEM
DOF=UX,UY,UZ,RX,RY,RZ LENGTH=m FORCE=KN LINES=59

JOINT

1	X=0.00	Y=0.00	Z=0.00
2	X=0.00	Y=10.00	Z=0.00
3	X=0.00	Y=27.50	Z=0.00
4	X=0.00	Y=32.50	Z=0.00
5	X=0.00	Y=35.00	Z=0.00
6	X=0.00	Y=40.00	Z=0.00
7	X=0.00	Y=45.00	Z=0.00
8	X=0.00	Y=47.50	Z=0.00
9	X=0.00	Y=52.50	Z=0.00
10	X=0.00	Y=77.50	Z=0.00
11	X=0.00	Y=82.50	Z=0.00
12	X=0.00	Y=85.00	Z=0.00
13	X=0.00	Y=90.00	Z=0.00
14	X=0.00	Y=95.00	Z=0.00
15	X=0.00	Y=97.50	Z=0.00
16	X=0.00	Y=102.50	Z=0.00
17	X=0.00	Y=127.50	Z=0.00
18	X=0.00	Y=132.50	Z=0.00
19	X=0.00	Y=135.00	Z=0.00
20	X=0.00	Y=140.00	Z=0.00
21	X=0.00	Y=145.00	Z=0.00
22	X=0.00	Y=147.50	Z=0.00
23	X=0.00	Y=152.50	Z=0.00
24	X=0.00	Y=177.50	Z=0.00
25	X=0.00	Y=182.50	Z=0.00
26	X=0.00	Y=185.00	Z=0.00
27	X=0.00	Y=190.00	Z=0.00
28	X=0.00	Y=195.00	Z=0.00
29	X=0.00	Y=197.50	Z=0.00
30	X=0.00	Y=202.50	Z=0.00
31	X=0.00	Y=227.50	Z=0.00
32	X=0.00	Y=232.50	Z=0.00
33	X=0.00	Y=235.00	Z=0.00
34	X=0.00	Y=240.00	Z=0.00
35	X=0.00	Y=245.00	Z=0.00
36	X=0.00	Y=247.50	Z=0.00
37	X=0.00	Y=252.50	Z=0.00
38	X=0.00	Y=277.50	Z=0.00
39	X=0.00	Y=282.50	Z=0.00
40	X=0.00	Y=285.00	Z=0.00
41	X=0.00	Y=290.00	Z=0.00
42	X=0.00	Y=295.00	Z=0.00
43	X=0.00	Y=297.50	Z=0.00
44	X=0.00	Y=302.50	Z=0.00
45	X=0.00	Y=327.50	Z=0.00
46	X=0.00	Y=332.50	Z=0.00
47	X=0.00	Y=335.00	Z=0.00
48	X=0.00	Y=340.00	Z=0.00
49	X=0.00	Y=345.00	Z=0.00
50	X=0.00	Y=347.50	Z=0.00
51	X=0.00	Y=352.50	Z=0.00
52	X=0.00	Y=377.50	Z=0.00
53	X=0.00	Y=382.50	Z=0.00
54	X=0.00	Y=385.00	Z=0.00
55	X=0.00	Y=390.00	Z=0.00
56	X=0.00	Y=395.00	Z=0.00
57	X=0.00	Y=397.50	Z=0.00
58	X=0.00	Y=402.50	Z=0.00
59	X=0.00	Y=420.00	Z=0.00
60	X=0.00	Y=430.00	Z=0.00

RESTRAINT

ADD=1 DOF=U1,U2,U3,R2,R3
ADD=2 DOF=U1,R2,R3

```

ADD=3    DOF=U1 ,R2 ,R3
ADD=4    DOF=U1 ,R2 ,R3
ADD=5    DOF=U1 ,R2 ,R3
ADD=6    DOF=U1 ,U3 ,R2 ,R3
ADD=7    DOF=U1 ,R2 ,R3
ADD=8    DOF=U1 ,R2 ,R3
ADD=9    DOF=U1 ,R2 ,R3
ADD=10   DOF=U1 ,R2 ,R3
ADD=11   DOF=U1 ,R2 ,R3
ADD=12   DOF=U1 ,R2 ,R3
ADD=13   DOF=U1 ,U3 ,R2 ,R3
ADD=14   DOF=U1 ,R2 ,R3
ADD=15   DOF=U1 ,R2 ,R3
ADD=16   DOF=U1 ,R2 ,R3
ADD=17   DOF=U1 ,R2 ,R3
ADD=18   DOF=U1 ,R2 ,R3
ADD=19   DOF=U1 ,R2 ,R3
ADD=20   DOF=U1 ,U3 ,R2 ,R3
ADD=21   DOF=U1 ,R2 ,R3
ADD=22   DOF=U1 ,R2 ,R3
ADD=23   DOF=U1 ,R2 ,R3
ADD=24   DOF=U1 ,R2 ,R3
ADD=25   DOF=U1 ,R2 ,R3
ADD=26   DOF=U1 ,R2 ,R3
ADD=27   DOF=U1 ,U3 ,R2 ,R3
ADD=28   DOF=U1 ,R2 ,R3
ADD=29   DOF=U1 ,R2 ,R3
ADD=30   DOF=U1 ,R2 ,R3
ADD=31   DOF=U1 ,R2 ,R3
ADD=32   DOF=U1 ,R2 ,R3
ADD=33   DOF=U1 ,R2 ,R3
ADD=34   DOF=U1 ,U3 ,R2 ,R3
ADD=35   DOF=U1 ,R2 ,R3
ADD=36   DOF=U1 ,R2 ,R3
ADD=37   DOF=U1 ,R2 ,R3
ADD=38   DOF=U1 ,R2 ,R3
ADD=39   DOF=U1 ,R2 ,R3
ADD=40   DOF=U1 ,R2 ,R3
ADD=41   DOF=U1 ,U3 ,R2 ,R3
ADD=42   DOF=U1 ,R2 ,R3
ADD=43   DOF=U1 ,R2 ,R3
ADD=44   DOF=U1 ,R2 ,R3
ADD=45   DOF=U1 ,R2 ,R3
ADD=46   DOF=U1 ,R2 ,R3
ADD=47   DOF=U1 ,R2 ,R3
ADD=48   DOF=U1 ,U3 ,R2 ,R3
ADD=49   DOF=U1 ,R2 ,R3
ADD=50   DOF=U1 ,R2 ,R3
ADD=51   DOF=U1 ,R2 ,R3
ADD=52   DOF=U1 ,R2 ,R3
ADD=53   DOF=U1 ,R2 ,R3
ADD=54   DOF=U1 ,R2 ,R3
ADD=55   DOF=U1 ,U3 ,R2 ,R3
ADD=56   DOF=U1 ,R2 ,R3
ADD=57   DOF=U1 ,R2 ,R3
ADD=58   DOF=U1 ,R2 ,R3
ADD=59   DOF=U1 ,R2 ,R3
ADD=60   DOF=U1 ,U3 ,R2 ,R3

```

PATTERN
 NAME=TEMP
 NAME=PRES

MATERIAL
 NAME=1FR IDES=N
 T=0 E=206000000 U=0.0 A=0
 NAME=2FR IDES=N
 T=0 E=206000000 U=0.0 A=0
 NAME=3FR IDES=N
 T=0 E=206000000 U=0.0 A=0
 NAME=4FR IDES=N
 T=0 E=206000000 U=0.0 A=0
 NAME=5FR IDES=N
 T=0 E=206000000 U=0.0 A=0

```

NAME=6FR IDES=N
T=0 E=206000000 U=0.0 A=0
NAME=7FR IDES=N
T=0 E=206000000 U=0.0 A=0
NAME=8FR IDES=N
T=0 E=206000000 U=0.0 A=0
NAME=9FR IDES=N
T=0 E=206000000 U=0.0 A=0
NAME=10FR IDES=N
T=0 E=206000000 U=0.0 A=0
NAME=11FR IDES=N
T=0 E=206000000 U=0.0 A=0
NAME=12FR IDES=N
T=0 E=206000000 U=0.0 A=0

FRAME SECTION
; Elenco MATERIALI (ST = Sezione Tipo GEOMETRICA)
NAME=1 MAT=1FR A=0.4524 J=0 I=0.2330369,0 AS=0,0 T=1,1 ; ST=1 (Acc+Cls BT)
NAME=2 MAT=2FR A=0.2273 J=0 I=0.1832238,0 AS=0,0 T=1,1 ; ST=1 (Acc+Cls LT)
NAME=3 MAT=3FR A=0.1308 J=0 I=0.1110875,0 AS=0,0 T=1,1 ; ST=1 (Acc+Arm)
NAME=4 MAT=4FR A=0.1096 J=0 I=0.0780106,0 AS=0,0 T=1,1 ; ST=1 (Solo Acc)
NAME=5 MAT=5FR A=0.5098 J=0 I=0.3112906,0 AS=0,0 T=1,1 ; ST=3 (Acc+Cls BT)
NAME=6 MAT=6FR A=0.2847 J=0 I=0.2393664,0 AS=0,0 T=1,1 ; ST=3 (Acc+Cls LT)
NAME=7 MAT=7FR A=0.1882 J=0 I=0.1570508,0 AS=0,0 T=1,1 ; ST=3 (Acc+Arm)
NAME=8 MAT=8FR A=0.1670 J=0 I=0.1259758,0 AS=0,0 T=1,1 ; ST=3 (Solo Acc)
NAME=9 MAT=9FR A=0.6102 J=0 I=0.4263433,0 AS=0,0 T=1,1 ; ST=4 (Acc+Cls BT)
NAME=10 MAT=10FR A=0.3851 J=0 I=0.3255096,0 AS=0,0 T=1,1 ; ST=4 (Acc+Cls LT)
NAME=11 MAT=11FR A=0.2886 J=0 I=0.2349159,0 AS=0,0 T=1,1 ; ST=4 (Acc+Arm)
NAME=12 MAT=12FR A=0.2528 J=0 I=0.1832123,0 AS=0,0 T=1,1 ; ST=4 (Solo Acc)

FRAME
; Elenco ASTE (L = Lunghezza; ST = Sezione Tipo GEOMETRICA)
1 J=1,2 SEC=4 NSEG=4 ANG=0 ; L=10,00 - ST=1 (Solo Acc) - q=11,1
2 J=2,3 SEC=4 NSEG=7 ANG=0 ; L=17,50 - ST=1 (Solo Acc) - q=11,1
3 J=3,4 SEC=8 NSEG=2 ANG=0 ; L=5,00 - ST=3 (Solo Acc) - q=15,61
4 J=4,5 SEC=12 NSEG=1 ANG=0 ; L=2,50 - ST=4 (Solo Acc) - q=22,34
5 J=5,6 SEC=12 NSEG=2 ANG=0 ; L=5,00 - ST=4 (Solo Acc) - q=22,34
6 J=6,7 SEC=12 NSEG=2 ANG=0 ; L=5,00 - ST=4 (Solo Acc) - q=22,34
7 J=7,8 SEC=12 NSEG=1 ANG=0 ; L=2,50 - ST=4 (Solo Acc) - q=22,34
8 J=8,9 SEC=8 NSEG=2 ANG=0 ; L=5,00 - ST=3 (Solo Acc) - q=15,61
9 J=9,10 SEC=4 NSEG=10 ANG=0 ; L=25,00 - ST=1 (Solo Acc) - q=11,1
10 J=10,11 SEC=8 NSEG=2 ANG=0 ; L=5,00 - ST=3 (Solo Acc) - q=15,61
11 J=11,12 SEC=12 NSEG=1 ANG=0 ; L=2,50 - ST=4 (Solo Acc) - q=22,34
12 J=12,13 SEC=12 NSEG=2 ANG=0 ; L=5,00 - ST=4 (Solo Acc) - q=22,34
13 J=13,14 SEC=12 NSEG=2 ANG=0 ; L=5,00 - ST=4 (Solo Acc) - q=22,34
14 J=14,15 SEC=12 NSEG=1 ANG=0 ; L=2,50 - ST=4 (Solo Acc) - q=22,34
15 J=15,16 SEC=8 NSEG=2 ANG=0 ; L=5,00 - ST=3 (Solo Acc) - q=15,61
16 J=16,17 SEC=4 NSEG=10 ANG=0 ; L=25,00 - ST=1 (Solo Acc) - q=11,1
17 J=17,18 SEC=8 NSEG=2 ANG=0 ; L=5,00 - ST=3 (Solo Acc) - q=15,61
18 J=18,19 SEC=12 NSEG=1 ANG=0 ; L=2,50 - ST=4 (Solo Acc) - q=22,34
19 J=19,20 SEC=12 NSEG=2 ANG=0 ; L=5,00 - ST=4 (Solo Acc) - q=22,34
20 J=20,21 SEC=12 NSEG=2 ANG=0 ; L=5,00 - ST=4 (Solo Acc) - q=22,34
21 J=21,22 SEC=12 NSEG=1 ANG=0 ; L=2,50 - ST=4 (Solo Acc) - q=22,34
22 J=22,23 SEC=8 NSEG=2 ANG=0 ; L=5,00 - ST=3 (Solo Acc) - q=15,61
23 J=23,24 SEC=4 NSEG=10 ANG=0 ; L=25,00 - ST=1 (Solo Acc) - q=11,1
24 J=24,25 SEC=8 NSEG=2 ANG=0 ; L=5,00 - ST=3 (Solo Acc) - q=15,61
25 J=25,26 SEC=12 NSEG=1 ANG=0 ; L=2,50 - ST=4 (Solo Acc) - q=22,34
26 J=26,27 SEC=12 NSEG=2 ANG=0 ; L=5,00 - ST=4 (Solo Acc) - q=22,34
27 J=27,28 SEC=12 NSEG=2 ANG=0 ; L=5,00 - ST=4 (Solo Acc) - q=22,34
28 J=28,29 SEC=12 NSEG=1 ANG=0 ; L=2,50 - ST=4 (Solo Acc) - q=22,34
29 J=29,30 SEC=8 NSEG=2 ANG=0 ; L=5,00 - ST=3 (Solo Acc) - q=15,61
30 J=30,31 SEC=4 NSEG=10 ANG=0 ; L=25,00 - ST=1 (Solo Acc) - q=11,1
31 J=31,32 SEC=8 NSEG=2 ANG=0 ; L=5,00 - ST=3 (Solo Acc) - q=15,61
32 J=32,33 SEC=12 NSEG=1 ANG=0 ; L=2,50 - ST=4 (Solo Acc) - q=22,34
33 J=33,34 SEC=12 NSEG=2 ANG=0 ; L=5,00 - ST=4 (Solo Acc) - q=22,34
34 J=34,35 SEC=12 NSEG=2 ANG=0 ; L=5,00 - ST=4 (Solo Acc) - q=22,34
35 J=35,36 SEC=12 NSEG=1 ANG=0 ; L=2,50 - ST=4 (Solo Acc) - q=22,34
36 J=36,37 SEC=8 NSEG=2 ANG=0 ; L=5,00 - ST=3 (Solo Acc) - q=15,61
37 J=37,38 SEC=4 NSEG=10 ANG=0 ; L=25,00 - ST=1 (Solo Acc) - q=11,1
38 J=38,39 SEC=8 NSEG=2 ANG=0 ; L=5,00 - ST=3 (Solo Acc) - q=15,61
39 J=39,40 SEC=12 NSEG=1 ANG=0 ; L=2,50 - ST=4 (Solo Acc) - q=22,34
40 J=40,41 SEC=12 NSEG=2 ANG=0 ; L=5,00 - ST=4 (Solo Acc) - q=22,34
41 J=41,42 SEC=12 NSEG=2 ANG=0 ; L=5,00 - ST=4 (Solo Acc) - q=22,34
42 J=42,43 SEC=12 NSEG=1 ANG=0 ; L=2,50 - ST=4 (Solo Acc) - q=22,34

```

```

43 J=43,44 SEC=8 NSEG=2 ANG=0 ; L=5,00 - ST=3 (Solo Acc) - q=15,61
44 J=44,45 SEC=4 NSEG=10 ANG=0 ; L=25,00 - ST=1 (Solo Acc) - q=11,1
45 J=45,46 SEC=8 NSEG=2 ANG=0 ; L=5,00 - ST=3 (Solo Acc) - q=15,61
46 J=46,47 SEC=12 NSEG=1 ANG=0 ; L=2,50 - ST=4 (Solo Acc) - q=22,34
47 J=47,48 SEC=12 NSEG=2 ANG=0 ; L=5,00 - ST=4 (Solo Acc) - q=22,34
48 J=48,49 SEC=12 NSEG=2 ANG=0 ; L=5,00 - ST=4 (Solo Acc) - q=22,34
49 J=49,50 SEC=12 NSEG=1 ANG=0 ; L=2,50 - ST=4 (Solo Acc) - q=22,34
50 J=50,51 SEC=8 NSEG=2 ANG=0 ; L=5,00 - ST=3 (Solo Acc) - q=15,61
51 J=51,52 SEC=4 NSEG=10 ANG=0 ; L=25,00 - ST=1 (Solo Acc) - q=11,1
52 J=52,53 SEC=8 NSEG=2 ANG=0 ; L=5,00 - ST=3 (Solo Acc) - q=15,61
53 J=53,54 SEC=12 NSEG=1 ANG=0 ; L=2,50 - ST=4 (Solo Acc) - q=22,34
54 J=54,55 SEC=12 NSEG=2 ANG=0 ; L=5,00 - ST=4 (Solo Acc) - q=22,34
55 J=55,56 SEC=12 NSEG=2 ANG=0 ; L=5,00 - ST=4 (Solo Acc) - q=22,34
56 J=56,57 SEC=12 NSEG=1 ANG=0 ; L=2,50 - ST=4 (Solo Acc) - q=22,34
57 J=57,58 SEC=8 NSEG=2 ANG=0 ; L=5,00 - ST=3 (Solo Acc) - q=15,61
58 J=58,59 SEC=4 NSEG=7 ANG=0 ; L=17,50 - ST=1 (Solo Acc) - q=11,1
59 J=59,60 SEC=4 NSEG=4 ANG=0 ; L=10,00 - ST=1 (Solo Acc) - q=11,1

; Elenco CARICHI
LOAD
NAME=1
TYPE=DISTRIBUTED SPAN
ADD=1 RD=0,1 U2=-11.1,-11.1
ADD=2 RD=0,1 U2=-11.1,-11.1
ADD=3 RD=0,1 U2=-15.61,-15.61
ADD=4 RD=0,1 U2=-22.34,-22.34
ADD=5 RD=0,1 U2=-22.34,-22.34
ADD=6 RD=0,1 U2=-22.34,-22.34
ADD=7 RD=0,1 U2=-22.34,-22.34
ADD=8 RD=0,1 U2=-15.61,-15.61
ADD=9 RD=0,1 U2=-11.1,-11.1
ADD=10 RD=0,1 U2=-15.61,-15.61
ADD=11 RD=0,1 U2=-22.34,-22.34
ADD=12 RD=0,1 U2=-22.34,-22.34
ADD=13 RD=0,1 U2=-22.34,-22.34
ADD=14 RD=0,1 U2=-22.34,-22.34
ADD=15 RD=0,1 U2=-15.61,-15.61
ADD=16 RD=0,1 U2=-11.1,-11.1
ADD=17 RD=0,1 U2=-15.61,-15.61
ADD=18 RD=0,1 U2=-22.34,-22.34
ADD=19 RD=0,1 U2=-22.34,-22.34
ADD=20 RD=0,1 U2=-22.34,-22.34
ADD=21 RD=0,1 U2=-22.34,-22.34
ADD=22 RD=0,1 U2=-15.61,-15.61
ADD=23 RD=0,1 U2=-11.1,-11.1
ADD=24 RD=0,1 U2=-15.61,-15.61
ADD=25 RD=0,1 U2=-22.34,-22.34
ADD=26 RD=0,1 U2=-22.34,-22.34
ADD=27 RD=0,1 U2=-22.34,-22.34
ADD=28 RD=0,1 U2=-22.34,-22.34
ADD=29 RD=0,1 U2=-15.61,-15.61
ADD=30 RD=0,1 U2=-11.1,-11.1
ADD=31 RD=0,1 U2=-15.61,-15.61
ADD=32 RD=0,1 U2=-22.34,-22.34
ADD=33 RD=0,1 U2=-22.34,-22.34
ADD=34 RD=0,1 U2=-22.34,-22.34
ADD=35 RD=0,1 U2=-22.34,-22.34
ADD=36 RD=0,1 U2=-15.61,-15.61
ADD=37 RD=0,1 U2=-11.1,-11.1
ADD=38 RD=0,1 U2=-15.61,-15.61
ADD=39 RD=0,1 U2=-22.34,-22.34
ADD=40 RD=0,1 U2=-22.34,-22.34
ADD=41 RD=0,1 U2=-22.34,-22.34
ADD=42 RD=0,1 U2=-22.34,-22.34
ADD=43 RD=0,1 U2=-15.61,-15.61
ADD=44 RD=0,1 U2=-11.1,-11.1
ADD=45 RD=0,1 U2=-15.61,-15.61
ADD=46 RD=0,1 U2=-22.34,-22.34
ADD=47 RD=0,1 U2=-22.34,-22.34
ADD=48 RD=0,1 U2=-22.34,-22.34
ADD=49 RD=0,1 U2=-22.34,-22.34
ADD=50 RD=0,1 U2=-15.61,-15.61
ADD=51 RD=0,1 U2=-11.1,-11.1
ADD=52 RD=0,1 U2=-15.61,-15.61

```

```

ADD=53 RD=0,1 U2=-22.34,-22.34
ADD=54 RD=0,1 U2=-22.34,-22.34
ADD=55 RD=0,1 U2=-22.34,-22.34
ADD=56 RD=0,1 U2=-22.34,-22.34
ADD=57 RD=0,1 U2=-15.61,-15.61
ADD=58 RD=0,1 U2=-11.1,-11.1
ADD=59 RD=0,1 U2=-11.1,-11.1

```

END

DESCRIZIONE DEL MODELLO: Viadotto Santuzza II

modello con le proprietà geometriche della sezione mista per azioni di lunga durata con soletta fessurata in appoggio

```

SYSTEM
DOF=UX,UY,UZ,RX,RY,RZ LENGTH=m FORCE=KN LINES=59

```

```

JOINT
1 X=0.00 Y=0.00 Z=0.00
2 X=0.00 Y=10.00 Z=0.00
3 X=0.00 Y=27.50 Z=0.00
4 X=0.00 Y=32.50 Z=0.00
5 X=0.00 Y=35.00 Z=0.00
6 X=0.00 Y=40.00 Z=0.00
7 X=0.00 Y=45.00 Z=0.00
8 X=0.00 Y=47.50 Z=0.00
9 X=0.00 Y=52.50 Z=0.00
10 X=0.00 Y=77.50 Z=0.00
11 X=0.00 Y=82.50 Z=0.00
12 X=0.00 Y=85.00 Z=0.00
13 X=0.00 Y=90.00 Z=0.00
14 X=0.00 Y=95.00 Z=0.00
15 X=0.00 Y=97.50 Z=0.00
16 X=0.00 Y=102.50 Z=0.00
17 X=0.00 Y=127.50 Z=0.00
18 X=0.00 Y=132.50 Z=0.00
19 X=0.00 Y=135.00 Z=0.00
20 X=0.00 Y=140.00 Z=0.00
21 X=0.00 Y=145.00 Z=0.00
22 X=0.00 Y=147.50 Z=0.00
23 X=0.00 Y=152.50 Z=0.00
24 X=0.00 Y=177.50 Z=0.00
25 X=0.00 Y=182.50 Z=0.00
26 X=0.00 Y=185.00 Z=0.00
27 X=0.00 Y=190.00 Z=0.00
28 X=0.00 Y=195.00 Z=0.00
29 X=0.00 Y=197.50 Z=0.00
30 X=0.00 Y=202.50 Z=0.00
31 X=0.00 Y=227.50 Z=0.00
32 X=0.00 Y=232.50 Z=0.00
33 X=0.00 Y=235.00 Z=0.00
34 X=0.00 Y=240.00 Z=0.00
35 X=0.00 Y=245.00 Z=0.00
36 X=0.00 Y=247.50 Z=0.00
37 X=0.00 Y=252.50 Z=0.00
38 X=0.00 Y=277.50 Z=0.00
39 X=0.00 Y=282.50 Z=0.00
40 X=0.00 Y=285.00 Z=0.00
41 X=0.00 Y=290.00 Z=0.00
42 X=0.00 Y=295.00 Z=0.00
43 X=0.00 Y=297.50 Z=0.00
44 X=0.00 Y=302.50 Z=0.00
45 X=0.00 Y=327.50 Z=0.00
46 X=0.00 Y=332.50 Z=0.00
47 X=0.00 Y=335.00 Z=0.00
48 X=0.00 Y=340.00 Z=0.00
49 X=0.00 Y=345.00 Z=0.00
50 X=0.00 Y=347.50 Z=0.00
51 X=0.00 Y=352.50 Z=0.00

```

```

52 X=0.00      Y=377.50    Z=0.00
53 X=0.00      Y=382.50    Z=0.00
54 X=0.00      Y=385.00    Z=0.00
55 X=0.00      Y=390.00    Z=0.00
56 X=0.00      Y=395.00    Z=0.00
57 X=0.00      Y=397.50    Z=0.00
58 X=0.00      Y=402.50    Z=0.00
59 X=0.00      Y=420.00    Z=0.00
60 X=0.00      Y=430.00    Z=0.00

```

RESTRAINT

```

ADD=1  DOF=U1,U2,U3,R2,R3
ADD=2  DOF=U1,R2,R3
ADD=3  DOF=U1,R2,R3
ADD=4  DOF=U1,R2,R3
ADD=5  DOF=U1,R2,R3
ADD=6  DOF=U1,U3,R2,R3
ADD=7  DOF=U1,R2,R3
ADD=8  DOF=U1,R2,R3
ADD=9  DOF=U1,R2,R3
ADD=10 DOF=U1,R2,R3
ADD=11 DOF=U1,R2,R3
ADD=12 DOF=U1,R2,R3
ADD=13 DOF=U1,U3,R2,R3
ADD=14 DOF=U1,R2,R3
ADD=15 DOF=U1,R2,R3
ADD=16 DOF=U1,R2,R3
ADD=17 DOF=U1,R2,R3
ADD=18 DOF=U1,R2,R3
ADD=19 DOF=U1,R2,R3
ADD=20 DOF=U1,U3,R2,R3
ADD=21 DOF=U1,R2,R3
ADD=22 DOF=U1,R2,R3
ADD=23 DOF=U1,R2,R3
ADD=24 DOF=U1,R2,R3
ADD=25 DOF=U1,R2,R3
ADD=26 DOF=U1,R2,R3
ADD=27 DOF=U1,U3,R2,R3
ADD=28 DOF=U1,R2,R3
ADD=29 DOF=U1,R2,R3
ADD=30 DOF=U1,R2,R3
ADD=31 DOF=U1,R2,R3
ADD=32 DOF=U1,R2,R3
ADD=33 DOF=U1,R2,R3
ADD=34 DOF=U1,U3,R2,R3
ADD=35 DOF=U1,R2,R3
ADD=36 DOF=U1,R2,R3
ADD=37 DOF=U1,R2,R3
ADD=38 DOF=U1,R2,R3
ADD=39 DOF=U1,R2,R3
ADD=40 DOF=U1,R2,R3
ADD=41 DOF=U1,U3,R2,R3
ADD=42 DOF=U1,R2,R3
ADD=43 DOF=U1,R2,R3
ADD=44 DOF=U1,R2,R3
ADD=45 DOF=U1,R2,R3
ADD=46 DOF=U1,R2,R3
ADD=47 DOF=U1,R2,R3
ADD=48 DOF=U1,U3,R2,R3
ADD=49 DOF=U1,R2,R3
ADD=50 DOF=U1,R2,R3
ADD=51 DOF=U1,R2,R3
ADD=52 DOF=U1,R2,R3
ADD=53 DOF=U1,R2,R3
ADD=54 DOF=U1,R2,R3
ADD=55 DOF=U1,U3,R2,R3
ADD=56 DOF=U1,R2,R3
ADD=57 DOF=U1,R2,R3
ADD=58 DOF=U1,R2,R3
ADD=59 DOF=U1,R2,R3
ADD=60 DOF=U1,U3,R2,R3

```

PATTERN

```

NAME=TEMP
NAME=PRES

```

MATERIAL

```

NAME=1FR  IDES=N
T=0   E=206000000  U=0.0  A=0

```

```

NAME=2FR IDES=N
T=0 E=206000000 U=0.0 A=0
NAME=3FR IDES=N
T=0 E=206000000 U=0.0 A=0
NAME=4FR IDES=N
T=0 E=206000000 U=0.0 A=0
NAME=5FR IDES=N
T=0 E=206000000 U=0.0 A=0
NAME=6FR IDES=N
T=0 E=206000000 U=0.0 A=0
NAME=7FR IDES=N
T=0 E=206000000 U=0.0 A=0
NAME=8FR IDES=N
T=0 E=206000000 U=0.0 A=0
NAME=9FR IDES=N
T=0 E=206000000 U=0.0 A=0
NAME=10FR IDES=N
T=0 E=206000000 U=0.0 A=0
NAME=11FR IDES=N
T=0 E=206000000 U=0.0 A=0
NAME=12FR IDES=N
T=0 E=206000000 U=0.0 A=0

FRAME SECTION
; Elenco MATERIALI (ST = Sezione Tipo GEOMETRICA)
NAME=1 MAT=1FR A=0.4524 J=0 I=0.2330369,0 AS=0,0 T=1,1 ; ST=1 (Acc+Cls BT)
NAME=2 MAT=2FR A=0.2273 J=0 I=0.1832238,0 AS=0,0 T=1,1 ; ST=1 (Acc+Cls LT)
NAME=3 MAT=3FR A=0.1308 J=0 I=0.1110875,0 AS=0,0 T=1,1 ; ST=1 (Acc+Arm)
NAME=4 MAT=4FR A=0.1096 J=0 I=0.0780106,0 AS=0,0 T=1,1 ; ST=1 (Solo Acc)
NAME=5 MAT=5FR A=0.5098 J=0 I=0.3112906,0 AS=0,0 T=1,1 ; ST=3 (Acc+Cls BT)
NAME=6 MAT=6FR A=0.2847 J=0 I=0.2393664,0 AS=0,0 T=1,1 ; ST=3 (Acc+Cls LT)
NAME=7 MAT=7FR A=0.1882 J=0 I=0.1570508,0 AS=0,0 T=1,1 ; ST=3 (Acc+Arm)
NAME=8 MAT=8FR A=0.1670 J=0 I=0.1259758,0 AS=0,0 T=1,1 ; ST=3 (Solo Acc)
NAME=9 MAT=9FR A=0.6102 J=0 I=0.4263433,0 AS=0,0 T=1,1 ; ST=4 (Acc+Cls BT)
NAME=10 MAT=10FR A=0.3851 J=0 I=0.3255096,0 AS=0,0 T=1,1 ; ST=4 (Acc+Cls LT)
NAME=11 MAT=11FR A=0.2886 J=0 I=0.2349159,0 AS=0,0 T=1,1 ; ST=4 (Acc+Arm)
NAME=12 MAT=12FR A=0.2528 J=0 I=0.1832123,0 AS=0,0 T=1,1 ; ST=4 (Solo Acc)

FRAME
; Elenco ASTE (L = Lunghezza; ST = Sezione Tipo GEOMETRICA)
1 J=1,2 SEC=2 NSEG=4 ANG=0 ; L=10,00 - ST=1 (Acc+Cls LT)
2 J=2,3 SEC=2 NSEG=7 ANG=0 ; L=17,50 - ST=1 (Acc+Cls LT)
3 J=3,4 SEC=6 NSEG=2 ANG=0 ; L=5,00 - ST=3 (Acc+Cls LT)
4 J=4,5 SEC=11 NSEG=1 ANG=0 ; L=2,50 - ST=4 (Acc+Arm)
5 J=5,6 SEC=11 NSEG=2 ANG=0 ; L=5,00 - ST=4 (Acc+Arm)
6 J=6,7 SEC=11 NSEG=2 ANG=0 ; L=5,00 - ST=4 (Acc+Arm)
7 J=7,8 SEC=11 NSEG=1 ANG=0 ; L=2,50 - ST=4 (Acc+Arm)
8 J=8,9 SEC=6 NSEG=2 ANG=0 ; L=5,00 - ST=3 (Acc+Cls LT)
9 J=9,10 SEC=2 NSEG=10 ANG=0 ; L=25,00 - ST=1 (Acc+Cls LT)
10 J=10,11 SEC=6 NSEG=2 ANG=0 ; L=5,00 - ST=3 (Acc+Cls LT)
11 J=11,12 SEC=11 NSEG=1 ANG=0 ; L=2,50 - ST=4 (Acc+Arm)
12 J=12,13 SEC=11 NSEG=2 ANG=0 ; L=5,00 - ST=4 (Acc+Arm)
13 J=13,14 SEC=11 NSEG=2 ANG=0 ; L=5,00 - ST=4 (Acc+Arm)
14 J=14,15 SEC=11 NSEG=1 ANG=0 ; L=2,50 - ST=4 (Acc+Arm)
15 J=15,16 SEC=6 NSEG=2 ANG=0 ; L=5,00 - ST=3 (Acc+Cls LT)
16 J=16,17 SEC=2 NSEG=10 ANG=0 ; L=25,00 - ST=1 (Acc+Cls LT)
17 J=17,18 SEC=6 NSEG=2 ANG=0 ; L=5,00 - ST=3 (Acc+Cls LT)
18 J=18,19 SEC=11 NSEG=1 ANG=0 ; L=2,50 - ST=4 (Acc+Arm)
19 J=19,20 SEC=11 NSEG=2 ANG=0 ; L=5,00 - ST=4 (Acc+Arm)
20 J=20,21 SEC=11 NSEG=2 ANG=0 ; L=5,00 - ST=4 (Acc+Arm)
21 J=21,22 SEC=11 NSEG=1 ANG=0 ; L=2,50 - ST=4 (Acc+Arm)
22 J=22,23 SEC=6 NSEG=2 ANG=0 ; L=5,00 - ST=3 (Acc+Cls LT)
23 J=23,24 SEC=2 NSEG=10 ANG=0 ; L=25,00 - ST=1 (Acc+Cls LT)
24 J=24,25 SEC=6 NSEG=2 ANG=0 ; L=5,00 - ST=3 (Acc+Cls LT)
25 J=25,26 SEC=11 NSEG=1 ANG=0 ; L=2,50 - ST=4 (Acc+Arm)
26 J=26,27 SEC=11 NSEG=2 ANG=0 ; L=5,00 - ST=4 (Acc+Arm)
27 J=27,28 SEC=11 NSEG=2 ANG=0 ; L=5,00 - ST=4 (Acc+Arm)
28 J=28,29 SEC=11 NSEG=1 ANG=0 ; L=2,50 - ST=4 (Acc+Arm)
29 J=29,30 SEC=6 NSEG=2 ANG=0 ; L=5,00 - ST=3 (Acc+Cls LT)
30 J=30,31 SEC=2 NSEG=10 ANG=0 ; L=25,00 - ST=1 (Acc+Cls LT)
31 J=31,32 SEC=6 NSEG=2 ANG=0 ; L=5,00 - ST=3 (Acc+Cls LT)
32 J=32,33 SEC=11 NSEG=1 ANG=0 ; L=2,50 - ST=4 (Acc+Arm)
33 J=33,34 SEC=11 NSEG=2 ANG=0 ; L=5,00 - ST=4 (Acc+Arm)
34 J=34,35 SEC=11 NSEG=2 ANG=0 ; L=5,00 - ST=4 (Acc+Arm)
35 J=35,36 SEC=11 NSEG=1 ANG=0 ; L=2,50 - ST=4 (Acc+Arm)
36 J=36,37 SEC=6 NSEG=2 ANG=0 ; L=5,00 - ST=3 (Acc+Cls LT)
37 J=37,38 SEC=2 NSEG=10 ANG=0 ; L=25,00 - ST=1 (Acc+Cls LT)
38 J=38,39 SEC=6 NSEG=2 ANG=0 ; L=5,00 - ST=3 (Acc+Cls LT)
39 J=39,40 SEC=11 NSEG=1 ANG=0 ; L=2,50 - ST=4 (Acc+Arm)

```

```

40 J=40,41 SEC=11 NSEG=2 ANG=0 ; L=5,00 - ST=4 (Acc+Arm)
41 J=41,42 SEC=11 NSEG=2 ANG=0 ; L=5,00 - ST=4 (Acc+Arm)
42 J=42,43 SEC=11 NSEG=1 ANG=0 ; L=2,50 - ST=4 (Acc+Arm)
43 J=43,44 SEC=6 NSEG=2 ANG=0 ; L=5,00 - ST=3 (Acc+Cls LT)
44 J=44,45 SEC=2 NSEG=10 ANG=0 ; L=25,00 - ST=1 (Acc+Cls LT)
45 J=45,46 SEC=6 NSEG=2 ANG=0 ; L=5,00 - ST=3 (Acc+Cls LT)
46 J=46,47 SEC=11 NSEG=1 ANG=0 ; L=2,50 - ST=4 (Acc+Arm)
47 J=47,48 SEC=11 NSEG=2 ANG=0 ; L=5,00 - ST=4 (Acc+Arm)
48 J=48,49 SEC=11 NSEG=2 ANG=0 ; L=5,00 - ST=4 (Acc+Arm)
49 J=49,50 SEC=11 NSEG=1 ANG=0 ; L=2,50 - ST=4 (Acc+Arm)
50 J=50,51 SEC=6 NSEG=2 ANG=0 ; L=5,00 - ST=3 (Acc+Cls LT)
51 J=51,52 SEC=2 NSEG=10 ANG=0 ; L=25,00 - ST=1 (Acc+Cls LT)
52 J=52,53 SEC=6 NSEG=2 ANG=0 ; L=5,00 - ST=3 (Acc+Cls LT)
53 J=53,54 SEC=11 NSEG=1 ANG=0 ; L=2,50 - ST=4 (Acc+Arm)
54 J=54,55 SEC=11 NSEG=2 ANG=0 ; L=5,00 - ST=4 (Acc+Arm)
55 J=55,56 SEC=11 NSEG=2 ANG=0 ; L=5,00 - ST=4 (Acc+Arm)
56 J=56,57 SEC=11 NSEG=1 ANG=0 ; L=2,50 - ST=4 (Acc+Arm)
57 J=57,58 SEC=6 NSEG=2 ANG=0 ; L=5,00 - ST=3 (Acc+Cls LT)
58 J=58,59 SEC=2 NSEG=7 ANG=0 ; L=17,50 - ST=1 (Acc+Cls LT)
59 J=59,60 SEC=2 NSEG=4 ANG=0 ; L=10,00 - ST=1 (Acc+Cls LT)

```

END

DESCRIZIONE DEL MODELLO: Viadotto Santuzza II

modello con le proprietà geometriche della sezione mista per azioni di breve durata con soletta fessurata in appoggio

SYSTEM
DOF=UX,UY,UZ,RX,RY,RZ LENGTH=m FORCE=KN LINES=59

JOINT

```

1 X=0.00 Y=0.00 Z=0.00
2 X=0.00 Y=10.00 Z=0.00
3 X=0.00 Y=27.50 Z=0.00
4 X=0.00 Y=32.50 Z=0.00
5 X=0.00 Y=35.00 Z=0.00
6 X=0.00 Y=40.00 Z=0.00
7 X=0.00 Y=45.00 Z=0.00
8 X=0.00 Y=47.50 Z=0.00
9 X=0.00 Y=52.50 Z=0.00
10 X=0.00 Y=77.50 Z=0.00
11 X=0.00 Y=82.50 Z=0.00
12 X=0.00 Y=85.00 Z=0.00
13 X=0.00 Y=90.00 Z=0.00
14 X=0.00 Y=95.00 Z=0.00
15 X=0.00 Y=97.50 Z=0.00
16 X=0.00 Y=102.50 Z=0.00
17 X=0.00 Y=127.50 Z=0.00
18 X=0.00 Y=132.50 Z=0.00
19 X=0.00 Y=135.00 Z=0.00
20 X=0.00 Y=140.00 Z=0.00
21 X=0.00 Y=145.00 Z=0.00
22 X=0.00 Y=147.50 Z=0.00
23 X=0.00 Y=152.50 Z=0.00
24 X=0.00 Y=177.50 Z=0.00
25 X=0.00 Y=182.50 Z=0.00
26 X=0.00 Y=185.00 Z=0.00
27 X=0.00 Y=190.00 Z=0.00
28 X=0.00 Y=195.00 Z=0.00
29 X=0.00 Y=197.50 Z=0.00
30 X=0.00 Y=202.50 Z=0.00
31 X=0.00 Y=227.50 Z=0.00
32 X=0.00 Y=232.50 Z=0.00
33 X=0.00 Y=235.00 Z=0.00
34 X=0.00 Y=240.00 Z=0.00
35 X=0.00 Y=245.00 Z=0.00
36 X=0.00 Y=247.50 Z=0.00
37 X=0.00 Y=252.50 Z=0.00
38 X=0.00 Y=277.50 Z=0.00
39 X=0.00 Y=282.50 Z=0.00
40 X=0.00 Y=285.00 Z=0.00
41 X=0.00 Y=290.00 Z=0.00
42 X=0.00 Y=295.00 Z=0.00

```

```

43 X=0.00      Y=297.50    Z=0.00
44 X=0.00      Y=302.50    Z=0.00
45 X=0.00      Y=327.50    Z=0.00
46 X=0.00      Y=332.50    Z=0.00
47 X=0.00      Y=335.00    Z=0.00
48 X=0.00      Y=340.00    Z=0.00
49 X=0.00      Y=345.00    Z=0.00
50 X=0.00      Y=347.50    Z=0.00
51 X=0.00      Y=352.50    Z=0.00
52 X=0.00      Y=377.50    Z=0.00
53 X=0.00      Y=382.50    Z=0.00
54 X=0.00      Y=385.00    Z=0.00
55 X=0.00      Y=390.00    Z=0.00
56 X=0.00      Y=395.00    Z=0.00
57 X=0.00      Y=397.50    Z=0.00
58 X=0.00      Y=402.50    Z=0.00
59 X=0.00      Y=420.00    Z=0.00
60 X=0.00      Y=430.00    Z=0.00

```

RESTRAINT

```

ADD=1   DOF=U1,U2,U3,R2,R3
ADD=2   DOF=U1,R2,R3
ADD=3   DOF=U1,R2,R3
ADD=4   DOF=U1,R2,R3
ADD=5   DOF=U1,R2,R3
ADD=6   DOF=U1,U3,R2,R3
ADD=7   DOF=U1,R2,R3
ADD=8   DOF=U1,R2,R3
ADD=9   DOF=U1,R2,R3
ADD=10  DOF=U1,R2,R3
ADD=11  DOF=U1,R2,R3
ADD=12  DOF=U1,R2,R3
ADD=13  DOF=U1,U3,R2,R3
ADD=14  DOF=U1,R2,R3
ADD=15  DOF=U1,R2,R3
ADD=16  DOF=U1,R2,R3
ADD=17  DOF=U1,R2,R3
ADD=18  DOF=U1,R2,R3
ADD=19  DOF=U1,R2,R3
ADD=20  DOF=U1,U3,R2,R3
ADD=21  DOF=U1,R2,R3
ADD=22  DOF=U1,R2,R3
ADD=23  DOF=U1,R2,R3
ADD=24  DOF=U1,R2,R3
ADD=25  DOF=U1,R2,R3
ADD=26  DOF=U1,R2,R3
ADD=27  DOF=U1,U3,R2,R3
ADD=28  DOF=U1,R2,R3
ADD=29  DOF=U1,R2,R3
ADD=30  DOF=U1,R2,R3
ADD=31  DOF=U1,R2,R3
ADD=32  DOF=U1,R2,R3
ADD=33  DOF=U1,R2,R3
ADD=34  DOF=U1,U3,R2,R3
ADD=35  DOF=U1,R2,R3
ADD=36  DOF=U1,R2,R3
ADD=37  DOF=U1,R2,R3
ADD=38  DOF=U1,R2,R3
ADD=39  DOF=U1,R2,R3
ADD=40  DOF=U1,R2,R3
ADD=41  DOF=U1,U3,R2,R3
ADD=42  DOF=U1,R2,R3
ADD=43  DOF=U1,R2,R3
ADD=44  DOF=U1,R2,R3
ADD=45  DOF=U1,R2,R3
ADD=46  DOF=U1,R2,R3
ADD=47  DOF=U1,R2,R3
ADD=48  DOF=U1,U3,R2,R3
ADD=49  DOF=U1,R2,R3
ADD=50  DOF=U1,R2,R3
ADD=51  DOF=U1,R2,R3
ADD=52  DOF=U1,R2,R3
ADD=53  DOF=U1,R2,R3
ADD=54  DOF=U1,R2,R3
ADD=55  DOF=U1,U3,R2,R3
ADD=56  DOF=U1,R2,R3
ADD=57  DOF=U1,R2,R3
ADD=58  DOF=U1,R2,R3
ADD=59  DOF=U1,R2,R3

```

```

ADD=60  DOF=U1,U3,R2,R3

PATTERN
  NAME=TEMP
  NAME=PRES

MATERIAL
  NAME=1FR  IDES=N
    T=0  E=206000000  U=0.0  A=0
  NAME=2FR  IDES=N
    T=0  E=206000000  U=0.0  A=0
  NAME=3FR  IDES=N
    T=0  E=206000000  U=0.0  A=0
  NAME=4FR  IDES=N
    T=0  E=206000000  U=0.0  A=0
  NAME=5FR  IDES=N
    T=0  E=206000000  U=0.0  A=0
  NAME=6FR  IDES=N
    T=0  E=206000000  U=0.0  A=0
  NAME=7FR  IDES=N
    T=0  E=206000000  U=0.0  A=0
  NAME=8FR  IDES=N
    T=0  E=206000000  U=0.0  A=0
  NAME=9FR  IDES=N
    T=0  E=206000000  U=0.0  A=0
  NAME=10FR IDES=N
    T=0  E=206000000  U=0.0  A=0
  NAME=11FR IDES=N
    T=0  E=206000000  U=0.0  A=0
  NAME=12FR IDES=N
    T=0  E=206000000  U=0.0  A=0

FRAME SECTION
; Elenco MATERIALI (ST = Sezione Tipo GEOMETRICA)
NAME=1  MAT=1FR  A=0.4524 J=0 I=0.2330369,0 AS=0,0 T=1,1 ; ST=1 (Acc+Cls BT)
NAME=2  MAT=2FR  A=0.2273 J=0 I=0.1832238,0 AS=0,0 T=1,1 ; ST=1 (Acc+Cls LT)
NAME=3  MAT=3FR  A=0.1308 J=0 I=0.1110875,0 AS=0,0 T=1,1 ; ST=1 (Acc+Arm)
NAME=4  MAT=4FR  A=0.1096 J=0 I=0.0780106,0 AS=0,0 T=1,1 ; ST=1 (Solo Acc)
NAME=5  MAT=5FR  A=0.5098 J=0 I=0.3112906,0 AS=0,0 T=1,1 ; ST=3 (Acc+Cls BT)
NAME=6  MAT=6FR  A=0.2847 J=0 I=0.2393664,0 AS=0,0 T=1,1 ; ST=3 (Acc+Cls LT)
NAME=7  MAT=7FR  A=0.1882 J=0 I=0.1570508,0 AS=0,0 T=1,1 ; ST=3 (Acc+Arm)
NAME=8  MAT=8FR  A=0.1670 J=0 I=0.1259758,0 AS=0,0 T=1,1 ; ST=3 (Solo Acc)
NAME=9  MAT=9FR  A=0.6102 J=0 I=0.4263433,0 AS=0,0 T=1,1 ; ST=4 (Acc+Cls BT)
NAME=10 MAT=10FR A=0.3851 J=0 I=0.3255096,0 AS=0,0 T=1,1 ; ST=4 (Acc+Cls LT)
NAME=11 MAT=11FR A=0.2886 J=0 I=0.2349159,0 AS=0,0 T=1,1 ; ST=4 (Acc+Arm)
NAME=12 MAT=12FR A=0.2528 J=0 I=0.1832123,0 AS=0,0 T=1,1 ; ST=4 (Solo Acc)

FRAME
; Elenco ASTE (L = Lunghezza; ST = Sezione Tipo GEOMETRICA)
1  J=1,2    SEC=1    NSEG=4  ANG=0      ; L=10,00 - ST=1 (Acc+Cls BT)
2  J=2,3    SEC=1    NSEG=7  ANG=0      ; L=17,50 - ST=1 (Acc+Cls BT)
3  J=3,4    SEC=5    NSEG=2  ANG=0      ; L=5,00 - ST=3 (Acc+Cls BT)
4  J=4,5    SEC=11   NSEG=1  ANG=0      ; L=2,50 - ST=4 (Acc+Arm)
5  J=5,6    SEC=11   NSEG=2  ANG=0      ; L=5,00 - ST=4 (Acc+Arm)
6  J=6,7    SEC=11   NSEG=2  ANG=0      ; L=5,00 - ST=4 (Acc+Arm)
7  J=7,8    SEC=11   NSEG=1  ANG=0      ; L=2,50 - ST=4 (Acc+Arm)
8  J=8,9    SEC=5    NSEG=2  ANG=0      ; L=5,00 - ST=3 (Acc+Cls BT)
9  J=9,10   SEC=1    NSEG=10  ANG=0     ; L=25,00 - ST=1 (Acc+Cls BT)
10 J=10,11  SEC=5    NSEG=2  ANG=0      ; L=5,00 - ST=3 (Acc+Cls BT)
11 J=11,12  SEC=11   NSEG=1  ANG=0      ; L=2,50 - ST=4 (Acc+Arm)
12 J=12,13  SEC=11   NSEG=2  ANG=0      ; L=5,00 - ST=4 (Acc+Arm)
13 J=13,14  SEC=11   NSEG=2  ANG=0      ; L=5,00 - ST=4 (Acc+Arm)
14 J=14,15  SEC=11   NSEG=1  ANG=0      ; L=2,50 - ST=4 (Acc+Arm)
15 J=15,16  SEC=5    NSEG=2  ANG=0      ; L=5,00 - ST=3 (Acc+Cls BT)
16 J=16,17  SEC=1    NSEG=10  ANG=0     ; L=25,00 - ST=1 (Acc+Cls BT)
17 J=17,18  SEC=5    NSEG=2  ANG=0      ; L=5,00 - ST=3 (Acc+Cls BT)
18 J=18,19  SEC=11   NSEG=1  ANG=0      ; L=2,50 - ST=4 (Acc+Arm)
19 J=19,20  SEC=11   NSEG=2  ANG=0      ; L=5,00 - ST=4 (Acc+Arm)
20 J=20,21  SEC=11   NSEG=2  ANG=0      ; L=5,00 - ST=4 (Acc+Arm)
21 J=21,22  SEC=11   NSEG=1  ANG=0      ; L=2,50 - ST=4 (Acc+Arm)
22 J=22,23  SEC=5    NSEG=2  ANG=0      ; L=5,00 - ST=3 (Acc+Cls BT)
23 J=23,24  SEC=1    NSEG=10  ANG=0     ; L=25,00 - ST=1 (Acc+Cls BT)
24 J=24,25  SEC=5    NSEG=2  ANG=0      ; L=5,00 - ST=3 (Acc+Cls BT)
25 J=25,26  SEC=11   NSEG=1  ANG=0      ; L=2,50 - ST=4 (Acc+Arm)
26 J=26,27  SEC=11   NSEG=2  ANG=0      ; L=5,00 - ST=4 (Acc+Arm)
27 J=27,28  SEC=11   NSEG=2  ANG=0      ; L=5,00 - ST=4 (Acc+Arm)
28 J=28,29  SEC=11   NSEG=1  ANG=0      ; L=2,50 - ST=4 (Acc+Arm)
29 J=29,30  SEC=5    NSEG=2  ANG=0      ; L=5,00 - ST=3 (Acc+Cls BT)
30 J=30,31  SEC=1    NSEG=10  ANG=0     ; L=25,00 - ST=1 (Acc+Cls BT)

```

```

31 J=31,32 SEC=5 NSEG=2 ANG=0 ; L=5,00 - ST=3 (Acc+Cls BT)
32 J=32,33 SEC=11 NSEG=1 ANG=0 ; L=2,50 - ST=4 (Acc+Arm)
33 J=33,34 SEC=11 NSEG=2 ANG=0 ; L=5,00 - ST=4 (Acc+Arm)
34 J=34,35 SEC=11 NSEG=2 ANG=0 ; L=5,00 - ST=4 (Acc+Arm)
35 J=35,36 SEC=11 NSEG=1 ANG=0 ; L=2,50 - ST=4 (Acc+Arm)
36 J=36,37 SEC=5 NSEG=2 ANG=0 ; L=5,00 - ST=3 (Acc+Cls BT)
37 J=37,38 SEC=1 NSEG=10 ANG=0 ; L=25,00 - ST=1 (Acc+Cls BT)
38 J=38,39 SEC=5 NSEG=2 ANG=0 ; L=5,00 - ST=3 (Acc+Cls BT)
39 J=39,40 SEC=11 NSEG=1 ANG=0 ; L=2,50 - ST=4 (Acc+Arm)
40 J=40,41 SEC=11 NSEG=2 ANG=0 ; L=5,00 - ST=4 (Acc+Arm)
41 J=41,42 SEC=11 NSEG=2 ANG=0 ; L=5,00 - ST=4 (Acc+Arm)
42 J=42,43 SEC=11 NSEG=1 ANG=0 ; L=2,50 - ST=4 (Acc+Arm)
43 J=43,44 SEC=5 NSEG=2 ANG=0 ; L=5,00 - ST=3 (Acc+Cls BT)
44 J=44,45 SEC=1 NSEG=10 ANG=0 ; L=25,00 - ST=1 (Acc+Cls BT)
45 J=45,46 SEC=5 NSEG=2 ANG=0 ; L=5,00 - ST=3 (Acc+Cls BT)
46 J=46,47 SEC=11 NSEG=1 ANG=0 ; L=2,50 - ST=4 (Acc+Arm)
47 J=47,48 SEC=11 NSEG=2 ANG=0 ; L=5,00 - ST=4 (Acc+Arm)
48 J=48,49 SEC=11 NSEG=2 ANG=0 ; L=5,00 - ST=4 (Acc+Arm)
49 J=49,50 SEC=11 NSEG=1 ANG=0 ; L=2,50 - ST=4 (Acc+Arm)
50 J=50,51 SEC=5 NSEG=2 ANG=0 ; L=5,00 - ST=3 (Acc+Cls BT)
51 J=51,52 SEC=1 NSEG=10 ANG=0 ; L=25,00 - ST=1 (Acc+Cls BT)
52 J=52,53 SEC=5 NSEG=2 ANG=0 ; L=5,00 - ST=3 (Acc+Cls BT)
53 J=53,54 SEC=11 NSEG=1 ANG=0 ; L=2,50 - ST=4 (Acc+Arm)
54 J=54,55 SEC=11 NSEG=2 ANG=0 ; L=5,00 - ST=4 (Acc+Arm)
55 J=55,56 SEC=11 NSEG=2 ANG=0 ; L=5,00 - ST=4 (Acc+Arm)
56 J=56,57 SEC=11 NSEG=1 ANG=0 ; L=2,50 - ST=4 (Acc+Arm)
57 J=57,58 SEC=5 NSEG=2 ANG=0 ; L=5,00 - ST=3 (Acc+Cls BT)
58 J=58,59 SEC=1 NSEG=7 ANG=0 ; L=17,50 - ST=1 (Acc+Cls BT)
59 J=59,60 SEC=1 NSEG=4 ANG=0 ; L=10,00 - ST=1 (Acc+Cls BT)

```

END